

П-168

АЗЭРБАЙЧАН ССР ЕЛМЛЭР АКАДЕМИЈАСЫ  
АКАДЕМИЯ НАУК АЗЕРБАЙДЖАНСКОЙ ССР

# МЭРҮЗЭЛЭР ДОКЛАДЫ

ТОМ XXX ЧИЛД

7

„ЕЛМ“ ИШИРИЈАТЫ  
ИЗДАТЕЛЬСТВО „ЭЛМ“  
БАКУ—1974—БАКУ

АЗӘРБАЙЧАН ССР ЕЛМЛӘР АКАДЕМИЯСЫ  
АКАДЕМИЯ НАУК АЗЕРБАЙДЖАНСКОЙ ССР

МҮӘЛЛИФЛӘР ҮЧҮН ГАЈДАЛАР

1. «Азәрбайчан ССР Елмләр Академијасының Мә'рүзәләри»ндә нәзәри вә тәчрүби әһәмијәттә малик елми-тәдгигатларын тамамланыш вә һәлә дәрч едилемәниш иетичаләри нағында гыса мә'лumatlar чап олунур.

«Мә'рүзәләр»дә механики суратдә бир неча айры-айры мә'лumatlar шәклини салыныш ири һәчмиләр мәгаләләр, јени фактики мә'лumatлардан мәһрум мұбабиесе харәтерли мәгаләләр, мүәјҗиси иетичә вә умумиләширмәләрсиз көмәкчи тәчрүбаләрин тәсвириндән ибарат мәгаләләр, гејри-приниси, тәсвири вә ичмал харәтерли ишләр, төвсүжә едилемәни методу приниси чын олмајан сырғ методик мәгаләләр, набелә битки вә һевианларын систематикасына даир (елм үчүн ҳүсуси әһәмијәттә малик тапынтыларын тәсвири истисна олмагла) мәгаләләр дәрч едилемир.

«Мә'рүзәләр»да дәрч олунан мәгаләләр һәмин мә'лumatlарын даңа кениш шәкилдә башта изашылардә чап едилемәси учун мүәллифиң һүргүгүнә элиндән алмыр.

2. «Мә'рүзәләр»ни редаксијасына дахил олган мәгаләләр жалныз ихтисас үзәр бир иефәр академикин тәгдиматында соира редаксија hej'ети тәрафииндән нәзәрдән кечириләр. Ыэр бир академик илдә 5 әдәдән соң олмамаг шәртиләр тәгдим едә биләр.

Азәрбайчан ССР Елмләр Академијасының мүхbir үзүләринин мәгаләләри тәгдиматсыз гәбул олунур.

Редаксија академикләрдән хаңиш едир ки, мәгаләләри тәгдим едәркән онларын мүәллифләрдән алымасы тарихини, набелә мәгаләнин јерләшиләчәни бөлмәнин адыны көстарсинар.

3. «Мә'рүзәләр»да бир мүәллиф илдә 3 мәгала дәрч етдира биләр.

4. «Мә'рүзәләр»да шәкилләр дә дахил олмагла, мүәллиф вәрәгинин дөрддә биринин артыг олмајараг язы макинасында язылыш 6—7 сәнифә һәчмидә (10000 чап ишарасы) мәгаләләр дәрч едилир.

5. Бүтүн мәгаләләрин инициаси дилиндә ҳұласәси олмалыдыр; бундан башга, Азәрбайчан дилиндә язылан мәгаләләре рус дилиндә ҳұласә әлавә едилемәлидир. Рус дилиндә язылан мәгаләләри иса Азәрбайчан дилиндә ҳұласәси олмалыдыр.

6. Мәгаләнин сонунда тәдгигат ишишин јеринә јетирилдижи елми идарәнин ады вә мүәллифин телефон нөмрәси көстәрилмәлидир.

7. Елми идарәләрдә апарылан тәдгигат ишләринин иетичәләринин дәрч олумасы учун елми идарәнин директорлыгуни ичазәси олмалыдыр.

8. Мәгаләләр (ҳұласәләр дә дахил олмагла) вәрәгин бир үзүндә ики хәтт ара бурахылараг язы макинасында чап едилемәли вә ики нұсхә тәгдим едилемәлидир. Дүстурлар дәнгін вә айдын язылмалы, һәм дә бөյүк һәрфләрин алтында, кичникларин исә үстүндән (гара гәләмлә) ики хәтт чәкілмәлидир; јунаи әлифбасы һәрфләрини тырмызы гәләмлә даирәләрдә алмаг лазымдыр.

9. Мәгаләдә ситет кәтирилән әдәбијат сәнифәнин ахырында ғылыми шәклини дејил, әлифба гајдаши илә (мүәллифин фамилијасына көрә) мәгаләнин сонунда мәтиодки исәдән нөмрәси көстәрилмәклә үмуми сијаһы үзәр верилмәлидир. Әдәбијатын сијаһы ашағыдақы шәкилдә тәртиб едилемәлидир:

а) китаблар учун: мүәллифин фамилијасы вә инициалы, китабын бүтөв ады, чилдин нөмрәси, шәһәр, нәшријат вә нәшр или;

б) мәчмуәләрдәки (әсәрләрдәки) мәгаләләр учун: мүәллифин фамилијасы вә инициалы, мәгаләнин ады, мәчмуәнин (әсәрләрин) ады, чилд, бурахылыш, нәшр олундугу јер, нәшријат, ил, сәнифә;

в) журнал мәгаләләри учун: мүәллифин фамилијасы вә инициалы, мәгаләнин ады, журналин ады, ил, чилд, нөмрә (бурахылыш), сәнифә көстәрилмәлидир.

Дәрч едилемәниш әсәрләр (несабатлар вә елми идарәләрдә саҳланан диссертасијалар истисна олмагла) исәдән етмәк олмаз.

10. Шәкилләрин арха тәрәфиnde мүәллифин фамилијасы, мәгаләнин ады вә шәклини нөмрәси көстәрилмәлидир. Макинада язылыш шәкилләт сөзләр айрыча вәрәгдә тәгдим едилир.

11. Мәгаләләрин мүәллифләри Унификасија олунмуш онмиилик тәснифат үзәр мәгаләләрин индексини көстәрмәли вә «Рефератив журнал» учун реферат әлавә етмәлидирләр.

12. Мүәллифләр чәдвәлләрдә, график материалларда вә мәгаләнин мәтиинде бу вә ја дикәр рәгәмләрни тәкрада едилемәснә ѡл бермәмәлидирләр.

Мәгаләләрин һәчми кичик олдугу учун иетичәләр жалныз зәрури һаллarda верилир.

13. Ики вә ја даңа соң мәгалә тәгдим едилилдә онларын дәрчедилмә ардычыллығыны да көстәрмәк лазымдыр.

14. Мәгаләләрин корректурасы, бир гајда олараг, мүәллифләр көндәрилмір. Корректуралар көндәрилдижи тәгдирдә исә жалныз мәтбәә сәнбәләрни дүзәлтмәк олар.

15. Редаксија мүәллифә пулсуз олараг мәгаләнин 15 нұсхә айрыча оттискини верир.

АКАДЕМИЯ НАУК АЗЕРБАЙДЖАНСКОЙ ССР  
ИЗДАТЕЛЬСТВО «ЭЛМ»  
БАКУ — 1974 — БАКУ

# МӘ'РҮЗӘЛӘР ДОКЛАДЫ

## ТОМ XXX ЧИЛД

№ 7

«ЕЛМ» НӘШРИЈАТЫ — ИЗДАТЕЛЬСТВО «ЭЛМ»  
БАКУ — 1974 — БАКУ



МОДАНИЗМАДА ЧАМАЗ ЧЭО НАРГАЗЧСА  
ЧЭО НОЖНАКЕ НАЧИНАЕ ИЧАН ГИМЭДДА

АЗЭРБАЙЧАН ССР ЕЛМЛЭР АКАДЕМИЯСЫНЫН МЭРУЗЭЛЭРИ

ДОКЛАДЫ АКАДЕМИИ НАУК АЗЕРБАЙДЖАНСКОЙ ССР

ТОМ XXX ЧИЛД

№ 7

1974

РЕДАКЦИОННАЯ КОЛЛЕГИЯ:

Г. Б. Абдуллаев (главный редактор), Ш. А. Азибеков,  
Г. А. Алиев, В. Р. Волобуев,  
А. И. Гусейнов, М. А. Дадашзаде (зам. главного редактора),  
М. А. Кашикай, А. С. Сумбатзаде, М. А. Топчибашев,  
Т. Н. Шахтахтинский, Г. Г. Зейналов (ответств. секретарь).

УДК 517. 946

МАТЕМАТИКА

Р. И. АЛИХАНОВА

О ГЛАДКОСТИ СЛАБЫХ РЕШЕНИЙ ОДНОЙ КРАЕВОЙ ЗАДАЧИ  
ДЛЯ НЕЛИНЕЙНОГО ЭЛЛИПТИЧЕСКОГО УРАВНЕНИЯ ВЫСШЕГО  
ПОРЯДКА С РАЗРЫВНЫМИ КОЭФФИЦИЕНТАМИ

(Представлено академиком АН Азербайджанской ССР З. И. Халиловым)

Одним из важных вопросов теории граничных задач является вопрос о гладкости их решений. Этот вопрос хорошо изучен для линейных эллиптических и параболических уравнений (см. [1]—[3]).

Сравнительно мало изучен вопрос о гладкости решений нелинейных дифференциальных уравнений в частных производных (см. [4]—[6]).

В работе автора совместно с Г. Н. Агаевым [7] доказана слабая разрешимость краевой задачи для квазилинейного дифференциального уравнения высшего порядка с разрывными коэффициентами в пространстве типа С. Л. Соболева  $W_p^m(G)$ .

В данной статье исследуется разрешимость краевых задач для квазилинейных уравнений высшего порядка с разрывными коэффициентами в пространствах  $W_p^{m+k}(G)$ , где  $0 < k \leq m$ .

Пусть имеем ограниченную симметрическую область  $G$   $n$ -мерного евклидова пространства  $E_n$  с границей  $\Gamma$ . Область  $G$  состоит из двух областей  $G_1$  и  $G_2$ , разделенных  $n-1$ -мерной псевдоизогиперплоскостью  $\gamma$ , гомеоморфной сфере и не имеющей общих точек с  $\Gamma$  ( $\gamma$ —граница  $G_1$ );  $\Gamma$ —кусочно-гладкая поверхность и  $\gamma$ —непрерывно дифференцируемая.

Рассмотрим прямую сумму соболевских пространств

$$W_p^{(m)}(G_1) + W_p^{(m)}(G_2) = W_p^{(m)}(G).$$

Пространство  $W_p^{(m)}(G)$  получено замыканием в норме

$$\|U\|_{m,p}^p = \sum_{|\alpha| \leq m} \int_G |D^\alpha u|^p dx$$

множества функций, определенных в  $\overline{G}$  и гладких в каждом из  $G_i$ ,  $i = 1, 2$ ;  $P \geq 2$ .

Всякую функцию  $u \in W_p^{(m)}(G)$  можно представить в виде  $U(x) = U_1(x) + U_2(x)$ , где

$$U_i(x) = \begin{cases} U(x), & x \in G_i, \\ 0, & x \in G \setminus \overline{G}_i, i = 1, 2. \end{cases}$$

\* Для простоты изложения. Все результаты верны для конечного числа областей.

© ИЗДАТЕЛЬСТВО „ЭЛМ“, 1974 г.

Адрес: г. Баку, Коммунистическая, 10. Редакция „Докладов Академии наук  
Азербайджанской ССР“



$\overset{0}{W}_p^{(m)}(G)$ —совокупность функций  $u \in W_p^{(m)}(G)$ , обращающихся в нуль на границе  $\Gamma$ .

$W_q^{(-m)}(G)$ —пространство линейных функционалов над  $W_p^{(m)}(G)$  — с обычной нормой,  $\frac{1}{p} + \frac{1}{q} = 1$ .

$W_p^{(m)}(G)$ —пространство гладких функций  $U \in W_p^{(m)}(G)$ , удовлетворяющих условию  $[D^\omega U]_\gamma = D^\omega U_1(x) - D^\omega U_2(x) = 0, x \in \gamma, |\omega| \leq m - 1$ .

В статье используются следующие обозначения

$$\begin{aligned} \int_G u \bar{v} dx &= (u, v), \\ \int_\Gamma \varphi \bar{v} dx &= (\varphi, v)_\Gamma, \\ \int_\Gamma \psi_1 \bar{v}_1 dx - \int_\Gamma \psi_2 \bar{v}_2 dx &= [\psi, v]_\gamma. \end{aligned}$$

Рассмотрим дифференциальный оператор вида

$$A_i u \equiv \sum_{|\alpha| \leq m-\kappa, |\beta| \leq m+\kappa} (-1)^{|\alpha|} D^\alpha (a_{\alpha\beta}^i(x, \delta u, D^{m+\kappa} u) D^\beta u), \quad (1)$$

$$u \in W_p^{(m+\kappa)}(G_1), i = 1, 2, 0 \leq \kappa \leq m.$$

Здесь  $D_j = \partial/\partial x_j, j = 1, 2, \dots, n; D^\alpha = D_1^{\alpha_1} \dots D_n^{\alpha_n}, x = (x_1, \dots, x_n); \alpha = (\alpha_1, \dots, \alpha_n), \beta = (\beta_1, \dots, \beta_n)$

$$|\alpha| = \sum_{j=1}^n \alpha_j, |\beta| = \sum_{j=1}^n \beta_j; x' = (x_1, \dots, x_{n-1}).$$

Будем обозначать через  $\delta u$  — набор всех производных порядка, не превосходящего  $m + \kappa - 1$ , т. е.

$$\delta u = (u, Du, \dots, D^{m+\kappa-1} u).$$

Коэффициенты  $a_{\alpha\beta}^i(x, \delta u, D^{m+\kappa} u)$  удовлетворяют условиям Карапеодори в  $G_1$ , т. е. почти при всех  $x$   $a_{\alpha\beta}^i(x, \delta u, D^{m+\kappa} u)$  непрерывны по  $\delta u, D^{m+\kappa} u$  и при всех  $\delta u, D^{m+\kappa} u$  измеримы по  $x$ . Кроме того, они в  $G_1$  имеют рост

$$|a_{\alpha\beta}^i(x, \delta u, D^{m+\kappa} u)| \leq M^i \left\{ 1 + \sum_{|\omega| \leq m+\kappa} |D^\omega u|^{p-2} \right\}, \quad (2)$$

$p \geq 2; i = 1, 2; 0 \leq \kappa \leq m$  — положительные постоянные.

Рассмотрим уравнения

$$\sum_{\substack{|\alpha| \leq m-\kappa \\ |\beta| \leq m+\kappa}} (-1)^{|\alpha|} D^\alpha (a_{\alpha\beta}^i(x, \delta u, D^{m+\kappa} u) D^\beta u) = f_i(x), \quad (3)$$

$$i = 1, 2,$$

при следующих условиях

$$D^\omega u|_\Gamma = \varphi_\omega(x'), x' \in \Gamma, |\omega| \leq m - 1, \quad (4)$$

$$\left[ \sum_{\substack{|\alpha| \leq m-\kappa \\ |\beta| \leq m+\kappa}} (-1)^{|\alpha|+|\beta|-1} D^{\alpha-\beta} (a_{\alpha\beta}^i(x, \delta u, D^{m+\kappa} u) D^\beta u) v_r \right]_\gamma = 0, \quad (5)$$

$$0 < |r| \leq m - \kappa$$

$$[D^\omega u]_\gamma = 0, |\omega| \leq m + \kappa - 1,$$

где  $v_r$  — компоненты внешней относительно  $G_1(G_2)$  нормали к  $\gamma(\Gamma)$ .

В соответствии с уравнением (3) рассмотрим следующую форму

$$a^i(u, v) = \sum_{\substack{|\alpha| \leq m-\kappa \\ |\beta| \leq m+\kappa}} (a_{\alpha\beta}^i(x, \delta u, D^{m+\kappa} u) D^\beta u, D^\alpha v) \quad (6)$$

при любых  $u \in \overset{0}{W}_p^{(m+\kappa)}(G_1)$  и  $v \in \overset{0}{W}_p^{(m-\kappa)}(G_1)$ .

Очевидно, что при каждом фиксированном  $u$  форма  $a^i(u, v)$  линейна, непрерывна и ограничена по  $v \in \overset{0}{W}_p^{(m-\kappa)}(G_1)$ , поэтому существует элемент  $A_0^i u \in \overset{0}{W}_q^{(-m+\kappa)}(G_1)$ , такой, что

$$a^i(x, v) = (A_0^i u, v).$$

Таким образом, определен оператор, действующий из

$$\overset{0}{W}_p^{(m+\kappa)}(G_1) \text{ в } \overset{0}{W}_q^{(-m+\kappa)}(G_1).$$

Определение. Функцию  $u \in \overset{0}{W}_p^{(m+\kappa)}(G_1)$  будем называть слабым решением задачи (3) — (5), если для любой функции  $\tau \in \overset{0}{W}_p^{(m-\kappa)}(G_1)$  выполняется тождество:

$$\sum_{\substack{|\alpha| \leq m-\kappa \\ |\beta| \leq m+\kappa}} (a_{\alpha\beta}^i(x, \delta u, D^{m+\kappa} u) D^\beta u, L^\alpha \tau) = (f_i, \tau), \quad (7)$$

Докажем следующую теорему.

Теорема 1. Пусть коэффициенты  $a_{\alpha\beta}^i(x, \delta u, D^{m+\kappa} u)$  удовлетворяют условиям Карапеодори и выполняется соотношение (2). Кроме того, пусть

$$\lim_{\|v\|_{m+\kappa, p} \rightarrow \infty} \frac{|a^i(v, \Delta^\kappa v)|}{\|\tau\|_{m+\kappa, p}} = \infty, \quad (8)$$

$$\text{где } \Delta^\kappa = \left[ \sum_{j=1}^n D_j^2 \right]^\kappa.$$

$$\sum_{|\alpha|, |\beta|, |\kappa|} a_{\alpha\beta}^i(x, \delta u, D^{m+\kappa} u) D^\beta u \cdot D^{\alpha+2\kappa} u$$

$$|D^{m+\kappa} u|^{\kappa-1} + |D^{m+\kappa} u| \rightarrow \infty, \text{ когда } D^{m+\kappa} u \rightarrow \infty, \text{ для ограниченных } |\delta u| \text{ и почти для всех } x \in G_1, |\kappa| = \kappa;$$

$$\begin{aligned} &\sum_{|\alpha|, |\beta|, |\kappa|} (a_{\alpha\beta}^i(x, \delta u, D^{m+\kappa} u) D^\beta u - \\ &- a_{\alpha\beta}^i(x, \delta u, D^{m+\kappa} v) D^\beta v, D^{\alpha+2\kappa} (u-v)) \geq 0; \\ &f \in \overset{0}{W}_q^{(-m+\kappa)}(G). \end{aligned} \quad (10)$$

Тогда существует по крайней мере одно слабое решение  $u \in \overset{0}{W}_p^{(m+\kappa)}(G_1)$  краевой задачи (3) — (5).

При доказательстве теоремы I воспользуемся следующей теоремой [6]:

Теорема 2. Пусть  $Au = B(u, u)$ , где  $B(u, v)$  оператор, вообще говоря, нелинейный, ограниченный, действующий из пространства  $V_1 \times V_1$  в пространство  $V_2^*$  и пусть операторы  $B(u, v)$  и  $\Phi$  обладают следующими свойствами:

I (коэрцитивность)

$$\lim_{\|v\|_{V_1} \rightarrow \infty} \frac{(B(u, v), \Phi v)}{\|v\|_{V_1}} = \infty \text{ для любого } v \in V_1. \quad (11)$$

II (монотонность)

$$(B(u, u) - B(u, v), \Phi(u, v)) \geq 0 \quad (12)$$

при всех  $u, v \in V_1$ .

III 1) Оператор  $B(u, v)$  при любом фиксированном  $u$  непрерывен по  $v$  на любом линейном одномерном многообразии пространства  $V_1$  в ослабленной топологии пространства  $V_2^*$ .

III 2) Если  $u_\mu \in V_1$  слабо сходятся к  $u$ , кроме того,

$$(B(u_\mu, u_\mu) - B(u_\mu, u), \Phi(u_\mu - u)) \rightarrow 0, \quad (13)$$



лярно к ней. Положительное направление на ось  $u$  совпадает с направлением скорости удара. В этой системе координат задача симметрична относительно оси  $u$  и можно рассматривать решение только при  $x < 0$ . От точки удара пойдут две волны сильного разрыва: во-первых, продольная волна, распространяющаяся по покоящейся нити, и во-вторых, вслед за ней, поперечная волна, распространяющаяся по возмущенной нити. Продольная волна отражается от конца нити и встретится с поперечной. С этого момента начинается процесс взаимодействия поперечной и отраженной продольной волн. При этом возникают две вторичные продольные волны, одна из которых распространяется к точке удара, другая—к концу нити. За этими волнами от места взаимодействия в разные стороны распространяются две поперечные волны. Вторичные продольные волны отражаются от точки удара и от конца нити и снова встречаются с поперечными волнами и между собой. Таким образом, происходят многократные отражения продольных и поперечных волн, что сильно осложняет изучение картины движения нити. Поэтому для решения поставленной задачи предлагаем следующий способ: нить с непрерывно распределенной массой заменяется системой материальных точек, связанных между собой невесомыми нитями, упругие свойства которых соответствуют упругим свойствам исходной нити.

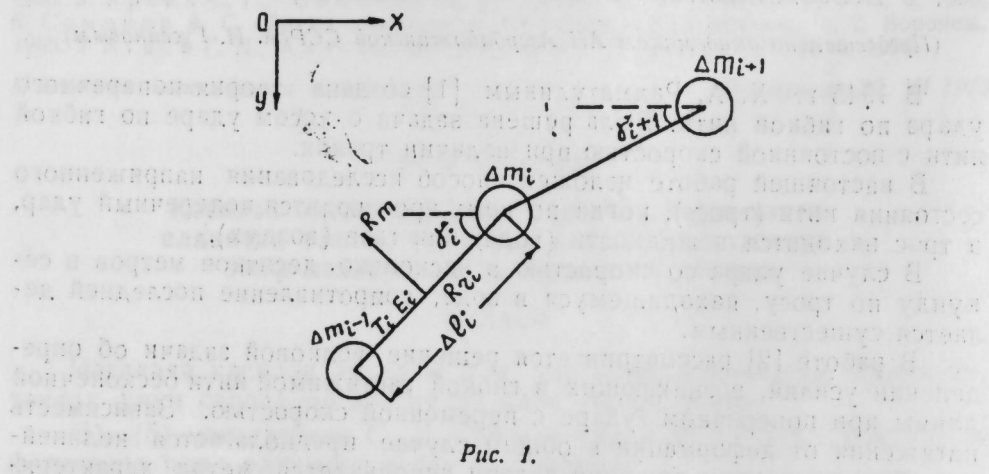


Рис. 1.

Масса каждой материальной точки равна массе соответствующего куска нити. Уравнения движения для построенной таким образом модели представляют собой обыкновенные дифференциальные уравнения вместо уравнений в частных производных исходной механической системы. Первоначальная длина половины нити  $l$  делится на  $n$ -частей. Масса каждой частицы собирается на материальную точку, расположенную, например, на правом конце этой частицы.

Введем следующие обозначения: каждая частица получает номер  $i$  ( $1 \leq i \leq n$ ), ее начальная длина  $\Delta l_i$ , масса  $\Delta m_i$ , натяжение элемента нити, расположенного между  $\Delta m_{i-1}$  и  $\Delta m_i$ , обозначим через  $T_i$ , деформацию  $\epsilon_i$ , угол, образуемый элементом нити с отрицательным направлением оси  $x$ — $\gamma_i$  Эйлерова абсцисса— $x_i$ , ордината— $y_i$ , скорости соответственно  $x_i$ ,  $y_i$ , касательная и нормальная к элементам нити составляющие силы сопротивления  $R_i$ , отнесенные к единице длины нити соответственно— $R_{ii}$ ,  $R_{ni}$ .

На рис. 1 показано положение участка нити в некоторый момент времени после удара.

Очевидно, уравнение движения  $i$ -ой частицы в продольном и поперечном направлениях соответственно будут:

$$\begin{cases} \Delta m_i \frac{d^2 x_i}{dt^2} = T_{i+1} \cos \gamma_{i+1} - T_i \cos \gamma_i - R_{ni} \Delta l_i \sin \gamma_i + R_{ii} \Delta l_i \cos \gamma_i \\ \Delta m_i \frac{d^2 y_i}{dt^2} = T_{i+1} \sin \gamma_{i+1} - T_i \sin \gamma_i - R_{ni} \Delta l_i \cos \gamma_i - R_{ii} \Delta l_i \sin \gamma_i \end{cases} \quad (1)$$

$$i = 1, 2, \dots, n-1$$

Движение ударяющего тела, направленное по оси во все интервалы времени, описывается уравнением:

$$M \frac{d\tau_0}{dt} = -2T_1 \sin \gamma_1, \quad (2)$$

где  $M$ —масса тела.

Деформация  $i$ -ой частицы нити определяется формулой:

$$\epsilon_i = \frac{\sqrt{(x_i - x_{i-1})^2 + (y_i - y_{i-1})^2}}{\Delta l_i} - 1; \quad i = 1, 2, \dots, n \quad (3)$$

Легко видеть, что (см. рис. 1)

$$\tan \gamma_i = \frac{y_{i-1} - y_i}{x - x_{i-1}}; \quad i = 1, 2, \dots, n \quad (4)$$

Предположим, что связь между напряжением и деформацией нити задается соотношением:

$$T_i = \Phi(\epsilon_i), \quad (5)$$

где функция  $\Phi$  описывает свойства материала.

Уравнение движения для  $n$ -й частицы пишется в зависимости от граничных условий. А именно: 1) концы нити прикреплены к массе  $N$ , имеющей одну степень свободы (она может перемещаться только вдоль оси  $x$ ).

Уравнение движения для нее будет иметь вид:

$$(\Delta m_n + N) \frac{d^2 x_n}{dt^2} = -T_n \cos \gamma_n \quad (6)$$

2) Концы нити жестко прикреплены ( $N = \infty$ )

$$\frac{d^2 x_n}{dt^2} = 0$$

3) Концы нити свободные ( $N = 0$ )

$$\Delta m_n \frac{d^2 x_n}{dt^2} = -T_n \cos \gamma_n$$

Нормальные и касательные к нити составляющие силы сопротивления жидкости  $R_i$ , отнесенные к единице длины нити, сопровождаются формулами:

$$R_{ni} = c \beta d \frac{v_i^2}{2} \sin^2 \alpha_i \quad (7)$$

$$R_{ii} = R_{ni} \operatorname{ctg} \alpha_i, \quad (8)$$

где  $\alpha_i$ —угол атаки,  $c$ —коэффициент сопротивления жидкости,  $d$ —плотность жидкости,  $\alpha$ —диаметр нити,  $v_i$ —скорость нити в жидкости и определяется формулой

$$v_i = \sqrt{x_i^2 + y_i^2}$$

$$\sin \alpha_i = \frac{\dot{y}_i \cos \gamma_i + \dot{x}_i \sin \gamma_i}{v_i}; \quad \cos \alpha_i = \frac{\dot{y}_i \sin \gamma_i - \dot{x}_i \cos \gamma_i}{v_i}$$

Совокупность уравнений (1), (2) и (6), учитывая (3), (4), (5), (7), и (8), представляет собой систему  $2n$  обыкновенных дифференциальных уравнений с  $2n$  неизвестными координатами.

Таким образом, решение поставленной задачи приведено к решению этой системы при следующих начальных условиях:

$$x_i = \sum_{k=1}^i \Delta l_k, \dot{x}_i = 0, i = 1, 2, \dots, n, y_i = 0, j = 0, 1, \dots, n-1 \quad (9)$$

$$\dot{y}_j = \begin{cases} V_{00} & \text{при } j=0 \\ 0 & \text{при } j=1, 2, 3, \dots, n-1 \end{cases}$$

В дальнейшем уравнения и начальные условия будут рассматриваться в безразмерной форме [4] (опуская черту над безразмерными величинами).

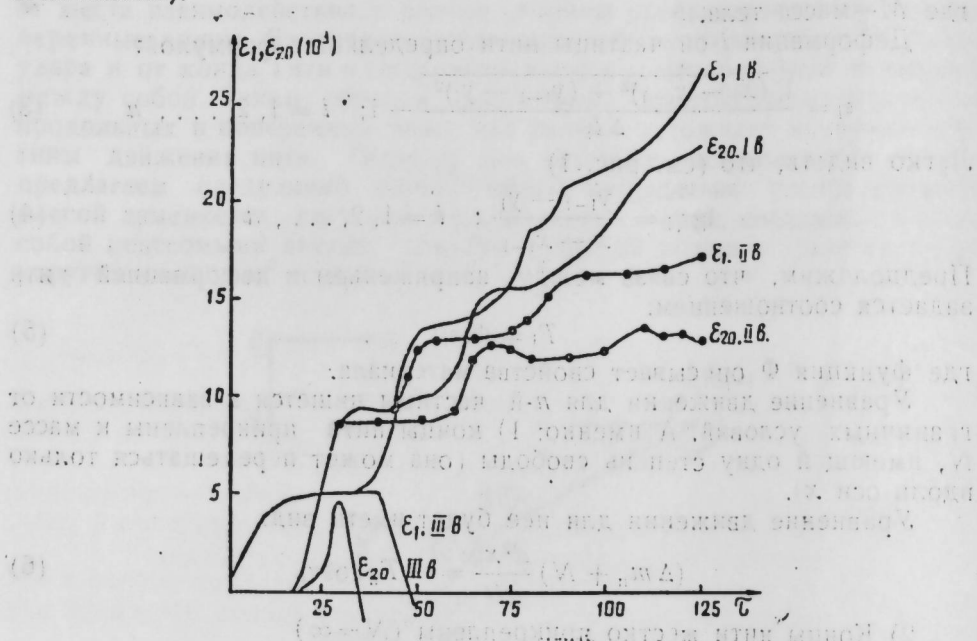


Рис. 2. Изменение деформации первого ( $\epsilon_1$ ) и последнего ( $\epsilon_{20}$ ) элемента нити по времени.

Если разделим полудлину нити  $l$  на  $n$  равных частей, то движение частиц в безразмерном виде при линейной зависимости между напряжениями и деформацией описывается уравнениями:

$$\frac{d^2 x_i}{d \tau^2} = \epsilon_{i+1} \cos \gamma_{i+1} - \epsilon_i \cos \gamma_i - A x_i (\sin \gamma_i + \dot{y}_i \cos \gamma_i)$$

$$\frac{d^2 y_i}{d \tau^2} = \epsilon_i \sin \gamma_i - \epsilon_{i+1} \gamma_i - A y_i (\sin \gamma_i + \dot{y}_i \cos \gamma_i)$$

$$\frac{d^2 y_0}{d \tau^2} = -2 \frac{\Delta m}{M} \epsilon_1 \sin \gamma_1$$

$$\frac{d^2 x_n}{d \tau^2} = -\frac{\Delta m}{N + \Delta m} \epsilon_n \cos \gamma_n$$

где

$$A = \frac{\Delta L}{E F_0} C_1 = \frac{1}{2} C_p d \frac{(\Delta l)^2}{\Delta m}$$

Начальное условие (9) примет вид:

$$x_i = i, x_0 = 0, i = 1, 2, \dots, n, \dot{y}_j = 0, j = 0, 1, 2, \dots, n-1,$$

$$y_j = \begin{cases} V_{00} & \text{при } j=0 \\ 0 & \text{при } j=1, 2, \dots, n-1 \end{cases}$$

Уравнения движения (1), (2) и (6) при начальных условиях (9) для случая линейного закона Гука были интегрированы на электропроизводительной машине „БЭСМ“ методом Рунге-Кутта для интегрирования обыкновенных дифференциальных уравнений.

На рисунке 3 показано распределение деформации по времени для различных случаев движения нити при различных начальных условиях.

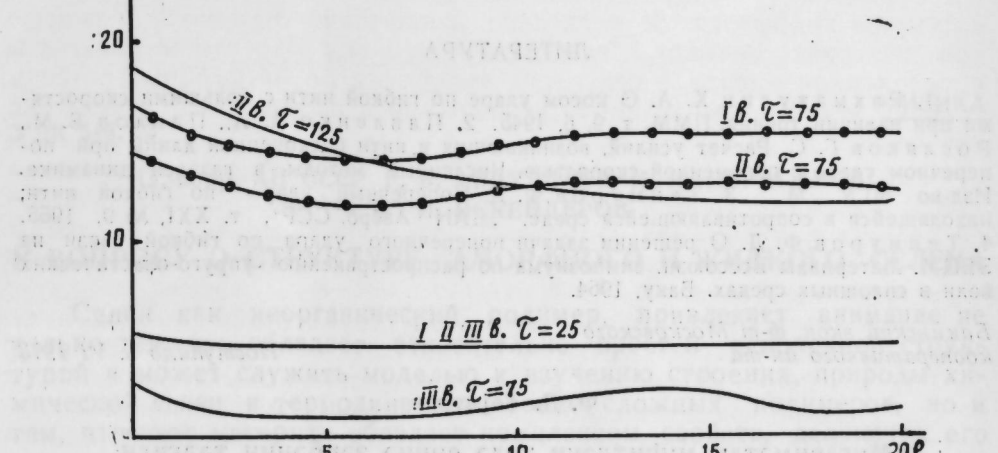


Рис. 3. Распределение деформации по времени.

Рассмотрены три случая движения нити:

- 1) с жестко закрепленными концами ( $N = \infty$ );
- 2) с массами на концах ( $N \neq 0$ );
- 3) со свободными концами ( $N = 0$ ).

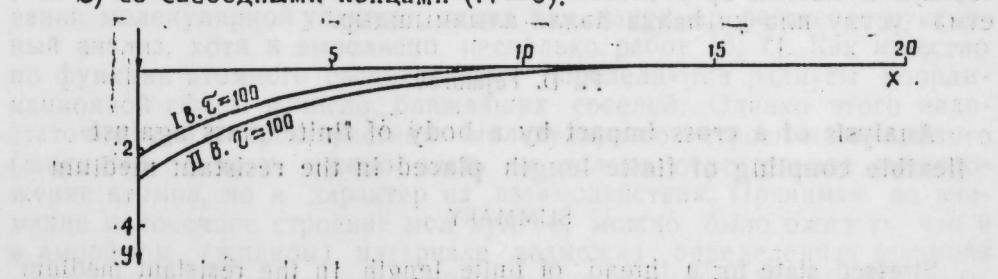


Рис. 4. Положение нити при  $\tau = 10$ .

При всех случаях движения полудлина нити  $l = 40$  м разбивается на 20 равных частей. Начальная скорость ударяющего тела  $V_{00} = 0,0228$ .

Берется гидродинамическая сила сопротивления воды. Расчет произведен в следующих вариантах:

$$I \frac{\Delta m}{M} = 0,0002 \quad N = \infty$$

$$II \frac{\Delta m}{M} = 0,0002 \quad \frac{\Delta m}{N} = 0,00242$$

$$III \frac{\Delta m}{M} = 0,002 \quad N = 0$$

Результаты расчетов представлены в виде графиков.

В произведенных расчетах продольная волна несколько раз отражается от конца нити, в результате чего и происходит взаимодействие между волнами, возникающими в нити при ударе. Сравнивая полученные результаты с результатами работы [4], можно убедиться в том, что силы сопротивления среды значительно уменьшают колебания, сбусовленные предложенным методом. Нужно отметить, что предлагаемый метод расчета значительно проще, чем метод характеристик. Так, например, задачу многократного отражения для сложных граничных условий методом характеристик на сегодняшний день решить невозможно.

## ЛИТЕРАТУРА

1. Рахматуллин Х. А. О косом ударе по гибкой нити с большими скоростями при наличии трения. ПММ, т. 9, б, 1945.
2. Павленко А. А., Павлов Б. М., Розляков Г. С. Расчет усилий, возникающих в нити бесконечной длины при поперечном ударе с переменной скоростью. Численные методы в газовой динамике. Изд-во МГУ. М., 1963.
3. Теймурев Ф. Д. Поперечный удар по гибкой нити, находящейся в сопротивляющейся среде. ДАН Азерб. ССР, т. XXI, № 9, 1965.
4. Теймурев Ф. Д. О решении задачи поперечного удара по гибкой связи на ЭВЦМ. Материалы Всесоюз. симпозиума по распространению упруго-пластических волн в сплошных средах. Баку, 1964.

Бакинский экон. ф-т Московского кооперативного ин-та

Поступило 5. VI 1973

Ф. Д. Теймурев

Мугавимәтли мүнитдәки телә ениңә зәрбәнн тәдгиги

## ХУЛАСӘ

Мәгаләдә мугавимәтли мүнитдәки мүәјҗән узунлуға малик телә сонлу күтләли чесим васитәсилә ениңә зәрбә заманы әмәлә кәлән кәркинилек вәзијәти арашдырылыштыр. Мәсәләнин, електрон не-саблајычы машинар васитәсилә, мүәтилф тәрәфи идән вәрілән һәлләтмә үсулу илә үч налда һәлли алымыштыр.

F. D. Tejmirov

Analysis of a cross impact by a body of finite mass against flexible coupling of finite length placed in the resistant medium

## SUMMARY

Stressed state for a thread of finite length in the resistant medium during the impact produced by a body of finite mass is determined in the given article.

The problem has been solved by the method given by the author with the help of computer.

Numerical solutions for three cases has been obtained..

УДК 546. 23

ФИЗИКА

Институт Чл.-корр. АН СССР Г. Б. АБДУЛЛАЕВ, Н. И. ИБРАГИМОВ,

Институт Чл.-корр. АН СССР Г. И. ИСКЕНДЕРОВ

## К ВОПРОСУ О СТРУКТУРЕ АМОРФНОГО И ЖИДКОГО СЕЛЕНА

Селен как неорганический полимер, привлекает внимание не только тем, что обладает относительно простой цепочечной структурой и может служить моделью к изучению строения, природы химической связи и термодинамики более сложных полимеров, но и тем, что этот материал обладает комплексом свойств, делающих его незаменимым.

Исследование донорно-акцепторных взаимодействий позволило получить важную информацию о структуре аморфного (жидкого) Se и о состоянии и механизме взаимодействия с Se таких примесей, как кислород, галоиды, Tl и Mp на молекулярном уровне [1—5]. Отсутствие в аморфном и жидкокомпримированном Se трехмерного координационного порядка делает малоэффективным применение прямых методов исследования молекулярной упаковки, таких как, например, рентгеноструктурный анализ, хотя и выполнено несколько работ [6, 7]. Как известно по функции атомного распределения определяются радиусы координационной сферы и число ближайших соседей. Однако этого недостаточно для характеристики молекулярного строения аморфного (жидкого) Se, т. к. нужно знать не только относительное расположение атомов, но и характер их взаимодействия. Принимая во внимание цепочечное строение молекул Se, можно было ожидать, что и в аморфном (жидком) материале возможна определенная взаимная упорядоченность в расположении соседних молекул. И действительно, ЭПР-исследования показали, что аморфный и жидкой Se нужно рассматривать не как хаотически перепутанную систему молекулярных цепей, а систему цепей, скомпонованных в спонтанные надмолекулярные образования (НО), которые, будучи независимыми структурными единицами способны в свою очередь составлять морфологические образования более высоких порядков.

Ассоциаты молекул для низкомолекулярных жидкостей с продолжительностью существования  $10^{-10} \div 10^{-15}$  сек известны давно [8]. Для полимерных материалов из-за замедленности процессов перестройки таких ассоциатов продолжительность их существования должна быть много больше, а наличие сильного межмолекулярного взаимодействия должно привести к еще большей их устойчивости. На существование в аморфном и жидкокомпримированном Se спонтанных НО ( $-10^{-2} \div 10^{-4}$  см) указывал характер изменения параметров сигнала

ЭПР с Т. Любопытно, что при изучении поверхности излома аморфного Se при  $T < T_{стек.}$  были обнаружены заусенцы и шаги раскалывания почти постоянного размера  $10^{-4} \text{ см}$  [9]. Это наводит на мысль, что процесс излома (раскалывания) аморфного Se идет по границам НО. Далее, при нагреве хлорированного Se ( $265^\circ\text{C}$ ) вначале наблюдается линейное уменьшение содержания хлора со временем, а после длительной выдержки концентрация устанавливается на уровне 0,025 мол. % [10]. Это является еще одним свидетельством наличия НО в Se—составляется в материале столько хлора, сколько необходимо для связывания выступающих на поверхность концов цепей.

В работах [11—14] методом ИК- и Раман-спектроскопии изучена структура аморфного Se и сделано заключение о наличии в аморфном материале наряду с цепями и колец  $\text{Se}_8$ . Но чтобы высказать определенное мнение о структуре аморфного Se необходимо разработать технику четкого разделения поглощения и рассеяния от различных его форм.

Как известно, вязкость является одной из наиболее чувствительных к структуре характеристик аморфных и жидких систем, особенно обладающих сложной цепочечной структурой молекул, каковыми являются Se. Вязкость пороха дает более полное представление о структуре материала.

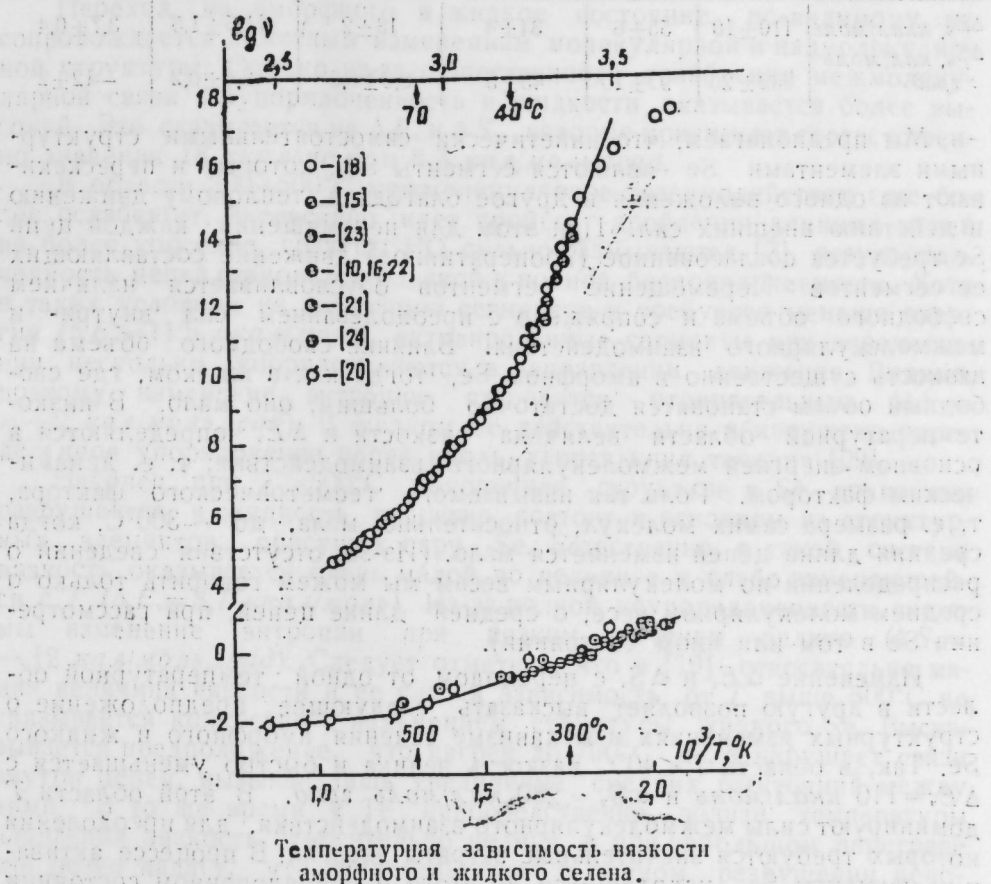
Воспользовавшись полученными нами результатами [3—5] и имеющимися в литературе данными по вязкости аморфного и жидкого Se [10, 15—24], в настоящей работе предпринята попытка рассмотреть структурные изменения, которые происходят в материале в температурном интервале  $0\text{--}900^\circ\text{C}$ . В работах [15, 18, 23] методом растяжения нитей определена вязкость аморфного Se в интервале  $0\text{--}105^\circ\text{C}$ . Результаты [18] и [23] согласуются, а у [15] величины несколько занижены. К сожалению, не удается измерить вязкость в интервале  $105\text{--}220^\circ\text{C}$  из-за кристаллизации аморфного Se. Вязкость жидкого Se измерена многими авторами [10, 16, 17, 19—23] как методом капиллярного истечения, так и методом затухания крутильно-колебательного движения.

Согласно теории Френкеля-Эйринга температурная зависимость вязкости удовлетворяет выражению:

$$\eta = \frac{N \cdot h}{M} \exp(\Delta S_a / R) \exp(\Delta E_a / RT),$$

где  $N$ —число Авогадро,  $h$ —постоянная Планка,  $\Delta E_a$ —активация вязкого течения,  $\Delta S_a$ —изменение энтропии, необходимая для течения одного моля частиц, а  $M$ —молярный вес. Температурная зависимость кинематической вязкости аморфного и жидкого Se приведена на рисунке. Экспериментально измеренную в широком температурном интервале ( $0\text{--}900^\circ\text{C}$ ) различными авторами зависимость от  $T$  достаточно четко удается разделить на отдельные экспоненциальные участки с различными  $\Delta E_a$  и  $\Delta S_a$ , которые, как нам представляется, отвечают определенному структурному состоянию аморфного и жидкого Se, изменяющемуся при переходе от одной температурной области в другую. Отклонение от линейности зависимости  $\lg \eta$  от  $1/T$  вблизи  $0^\circ\text{C}$  вызвано не только трудностью измерений весьма высокой вязкости, но и влиянием временного фактора [26]. В процессе течения цепи подвергаются различным конформационным перегруппировкам. При больших скоростях роста напряжения некоторые формы перегруппировок не успевают осуществиться, рост деформации опережает рост напряжения, и кажущаяся вязкость постепенно падает с увеличением напряжения. Следовательно напряжения должны быть достаточно малы,

чтобы можно было пренебречь отклонениями от ньютоновского течения. Однако приложение малых напряжений сопряжено с необходимостью измерения очень малых деформаций, причем требуется чрезвычайно большое время для достижения измеримых величин деформаций. Думается, именно поэтому данные по вязкости стеклообразного Se [18] оказались сильно заниженными, причем чем ниже  $T$ , тем больше. С увеличением скорости течения вязкость и жидкого Se уменьшается, т. е. наблюдается неニュтоновское поведение. Но для жидкого Se это уменьшение мало [10], тогда как для аморфного и особенно стеклообразного оно может оказаться значительным.



Температурная зависимость вязкости аморфного и жидкого селена.

Вязкость аморфного и жидкого Se очень чувствительна к чистоте исходного материала. Поэтому, естественно, данные различных авторов несколько различаются. В некоторой степени этот разброс может обуславливаться и различием в методике измерения вязкости.

Из наклона линейных участков зависимости  $\lg \eta$  от  $1/T$  были определены  $\Delta E_a$  и  $\Delta S_a$  (см. табл.).

Таким образом, при переходе от одной температурной области к другой обнаруживается уменьшение  $\Delta E_a$  и  $\Delta S_a$ , которые обусловлены теми или иными изменениями характера межмолекулярного взаимодействия и структуры аморфного и жидкого Se.

Существует мнение, что вязкое течение связано со скольжением целых полимерных цепей друг относительно друга. Однако представляется маловероятным движение как целого цепи селена, содержащей  $\sim 10^5$  и более атомов [2, 25]. Вероятнее течение цепи посредством перемещения отдельных ее сегментов. Так, в работе [18] температурная зависимость вязкости интерпретируется введением изменяющейся

с  $T$  величины текущей единицы. Авторы считают, что в области  $0\text{--}340^\circ\text{C}$  этот параметр изменяется от  $\text{Se}_{50}$  до  $\text{Se}_2$  и обусловливает уменьшение  $\Delta E_v$ . При таком подходе остаются неясными причина изменения длины текущей единицы и влияние изменения внутри- и межцепочечного взаимодействия на вязкость. Казалось бы наоборот, в высокотемпературной области из-за высокой подвижности отдельных звеньев способны перемещаться более длинные участки цепей.

$T, ^\circ\text{C}$	40	40–70	70–105	220–300	300–500	> 500
$\Delta E_v, \text{ ккал/моль}$	$110 \pm 10$	$55 \pm 6$	$34 \pm 4$	$18 \pm 2$	$11,5 \pm 1,5$	$3,7 \pm 0,4$
$\Delta S_v, \text{ кал/моль град}$	$282 \pm 20$	$90 \pm 10$	$45 \pm 5$	$8,3 \pm 0,8$	$-2,4 \pm 0,2$	$-12 \pm 2$

Мы предполагаем, что кинетически самостоятельными структурными элементами Se являются сегменты  $\text{Se}_8$ , которые и пересекаются из одного положения в другое благодаря тепловому движению и действию внешних сил. При этом для перемещения каждой цепи Se требуется согласованное (кооперативное) движение составляющих ее сегментов. Перемещение сегментов обусловливается наличием свободного объема и сопряжено с преодолеванием сил внутри- и межмолекулярного взаимодействия. Влияние свободного объема на вязкость существенно в аморфном Se, тогда как в жидким, где свободный объем становится достаточно большим, оно мало. В низкотемпературной области величина вязкости и  $\Delta E_v$  определяются в основном энергией межмолекулярного взаимодействия, т. е. динамическим фактором. Роль так называемого геометрического фактора, т. е. размера самих молекул, относительно, мала, до  $\sim 300^\circ\text{C}$ , когда средняя длина цепей изменяется мало. (Из-за отсутствия сведений о распределении по молекулярным весам мы можем говорить только о среднем молекулярном весе, о средней длине цепей, при рассмотрении Se в том или ином состоянии).

Изменение  $\Delta E_v$  и  $\Delta S_v$  с переходом от одной температурной области в другую позволяет высказать следующее предположение о структурных изменениях и механизме течения аморфного и жидкого Se. Так, в области  $T \leq 40^\circ\text{C}$  вязкость велика и быстро уменьшается с  $\Delta E_v = 110 \text{ ккал/моль}$  и  $\Delta S_v = 280 \text{ кал/моль град}$ . В этой области  $T$  доминируют силы межмолекулярного взаимодействия, для преодоления которых требуются значительные затраты энергии. В процессе активации сегменты  $\text{Se}_8$ , находящиеся до этого в упорядоченном состоянии в составе цепи в HO, временно освободившись от внутри- и межцепочечных связей, оказываются в неупорядоченном состоянии (энтропия растет) и после акта перемещения вновь встраиваются в цепь. Таким образом, элементарный акт вязкого течения сопровождается разупорядочением. Вблизи  $40^\circ\text{C}$  тепловое движение в состоянии частично преодолеть межмолекулярную связь, и в звеньях возникают крутильные колебания придающие цепям гибкость. Упорядоченность цепей в HO несколько падает и при дальнейшем повышении  $T$  четко обнаруживается резкое изменение  $\Delta E_v$  от 110 до 55 ккал/моль и  $\Delta S_v$  от 280 до 90 кал/моль.град., т. к. при активации сегменты  $\text{Se}_8$  переходят уже из относительно менее упорядоченного в более неупорядоченное состояние.

Термографические исследования [27] и изучение температурной зависимости микротвердости аморфного Se [28] также выявили особенность вблизи  $40^\circ\text{C}$  (эндотермический эффект и резкое падение микротвердости), что, по мнению авторов, вызвано началом процесса разрыва замкнутых колец Se. Скорее всего, эта особенность связана с

резким увеличением податливости аморфного Se при переходе из стеклообразного в высокоэластичное состояние, который как известно, осуществляется не при  $T_{\text{стекл}}$ , а в некотором температурном интервале.

Когда  $T > 70^\circ\text{C}$  упорядоченность цепей в аморфном Se еще более падает, энергия теплового движения становится достаточной и для перегруппировки звеньев, а сами цепи приобретают достаточную подвижность, чтобы при длительной выдержке компоновать в кристаллическую решетку (начало процесса кристаллизации). Вновь происходит уменьшение  $\Delta E_v$  от 55 до 34 ккал/моль и  $\Delta S_v$  от 90 до 45 кал/моль.град.

Переход из аморфного в жидкое состояние, по-видимому, не сопровождается заметным изменением молекулярной и надмолекулярной структуры. Однако из-за существенного слабления межмолекулярной связи разупорядоченность в жидкости оказывается более высокой. Это сказывается на  $\Delta E_v$  и  $\Delta S_v$ , которые принимают соответствующие значения 18 ккал/моль и 8,3 кал/моль.град.

В области  $300\text{--}500^\circ\text{C}$  межмолекулярное взаимодействие еще более ослабевает, интенсивно идет процесс дробления длинных цепей на более короткие, границы HO сильно размыкаются [3], разупорядоченность цепей становится близкой к полной беспорядочности. Хотя в таких условиях на активацию сегментов требуется меньше энергии ( $\Delta E_v = 11,5 \text{ ккал/моль}$ ), активированные сегменты при перемещении несколько упорядочиваются в направлении движения. Вероятно, поэтому изменение энтропии становится отрицательным ( $\Delta S_v = -2 \text{ кал/моль.град}$ ). В жидким Se действительно обнаружено определенное упорядочение цепей вдоль направления течения [29].

Наконец, при  $T > 500^\circ\text{C}$  цепочечная структура в Se полностью разрушается, и жидкость, вероятно, состоит в основном из структурных элементов, присущих пару Se. Естественно, в такой системе вязкость оказывается очень малой по величине и слабо изменяющейся с  $T$  ( $\Delta E_v = 3,7 \text{ ккал/моль}$ ). Из-за полной неупорядоченности системы изменение энтропии при вязком течении велико ( $\Delta S_v = -12 \text{ кал/моль.град}$ ). Следует отметить, что в [19] относительно малая величина вязкости и ее слабая зависимость от  $T$  выше  $500^\circ\text{C}$  не связывается конкретно с изменением структуры жидкого Se. Высказывается предположение, что нагрев до  $700^\circ\text{C}$  мало нарушает связи внутри цепей, вызывая лишь увеличение средних расстояний между ними. В то же время у Te непосредственно вблизи температуры плавления вязкость относительно велика, а при небольшом перегреве она резко падает, что свидетельствует о полном разрушении цепочечной структуры жидкого Te, который переходит в металлическое состояние [20]. При сравнении S, Se и Te в жидким состоянии оказывается, что Se, как и следовало ожидать, присущи черты и того и другого. Так, подобно Te,  $T_{\text{Se}}$  утрачивает цепочечное строение, но остается, как и S, молекулярной жидкостью и, по-видимому, не переходит в металлическое состояние даже при очень высоких  $T$ . Из-за многообразия составляющих Se структурных элементов, естественно, структурные изменения осуществляются не сразу при какой-то  $T$ , а в определенном температурном интервале, т. е. имеет место переход от преобладания одного характера взаимодействия над другим, одних структурных элементов на другими.

Анализ изменения  $\Delta E_v$  с  $T$  показывает, что межмолекулярное взаимодействие начинает сказываться ниже  $300^\circ\text{C}$ , быстро растет с понижением  $T$  и становится максимальной после перехода Se в стеклообразное состояние. Была оценена энергия связи между атомами в соседних цепях, максимальное значение которой оказалось  $\sim 0,07$  эв, что близко к общепринятой величине энергии связи типа Ван-дер-Ваальса.

## ЛИТЕРАТУРА

1. Абдуллаев Г. Б., Ибраимов Н. И., Мамедов Ш. В., Джуварлы Т. Ч., Алиев Г. М. ДАН Азерб. ССР\*, 20, 10, 13, 1964.
2. Abdullaev G. B., Ibragimov N. I., Mamedov Sh. V., Zhuvarly T. Ch., Phys. St. Sol., 16, K113, 1966.
3. Abdullaev G. B., Ibragimov N. I., Mamedov Sh. V., Phys. Selenium & Tellurium, 321, Perg. Press, N-Y, 1969.
4. Абдуллаев Г. Б., Ибраимов Н. И., Мамедов Ш. В., Абуталыбова З. М. Изв. АН Азерб. ССР, серия фТМН\*, 6, 76, 1968.
5. Abdullaev G. B., Ibragimov N. I., Mamedov Sh. V. and Ibadov A. Kh. Soviet Phys. semicond., 4, 1, 76, 1970.
6. Richter H. von, Kulicke W. and Sprecht H. Zs. Naturf., 7a, 511 1952.
7. Карлов R., Rowe T. A. and Averbach B. L. Phys. Rev., 168, 3, 1068, 1968.
8. Френкель Я. И. Кинетическая теория жидкостей. Изд-во АН СССР, 1945.
9. Andersen A. L. and Dahle B. J. Appl. Phys., 37, 1, 262, 1966.
10. Hamada Sh., Joshiida N. and Shirai T. Bull. Chem. Soc. Japan, 42, 1025, 1969.
11. Lucovsky G., Phys. Selenium & Tellurium, 255, Perg. Press, N-Y, 1969.
12. Lucovsky G., Mooradian A., Taylor W., Wright B. and Keezer R. C. Solid St. Comm., 5, 113, 1967.
13. Lucovsky G., Keezer R. C. and Burstein E. Solid St. Comm., 5, 439, 1967.
14. Srb J. and Vasko A. Czech. J. Phys., B13, 827, 1963.
15. Jenkel E. Zs. Elektrochem. u. angew. phys. chem., 43, 796, 1937.
16. Dobinski S., Weselowski J. Bull. Acad. Polon. Sci. letters, ser. A, 8, 1935; C. B. 1, 2655, 1937.
17. Krebs H. von Morsch W. Zs. Anorg. Chem., 263, 5-6, 305, 1950.
18. Uebelreiter K. und Orthmann H. J. Kolloid Zeit., B, 123, 2/3, 92, 1951.
19. Блюм А. И., Регель А. Р. ЖТФ, 23, 6, 964, 1953.
20. Регель А. Р. Сб. Строение и физ. свойства веществ в жидк. сост., Изд-во Киев Гос. Ун-та, 117, 1954.
21. Халилов Х. М. Изв. АН Азерб. ССР\*, фТМН, 6, 67, 1959.
22. Harrison D. E. Recent Adv. Selen. Phys., Perg. Press, 1964.
23. Халилов Х. М., Кулиев Б. Б. ФТТ, 7, 9, 2847, 1965.
24. Глазов В. М., Чижевская С. Н., Глаголова Н. Н. Жидкие полупроводники. Изд-во "Наука", М., 228, 1967.
25. Keezer R. C., Ballay M. W. Mat. Res. Bull., 2, 185, 1967.
26. Ферри Дж. Вязкоупругие свойства полимеров. ИЛ, 1663.
27. Гальвидис Н. М., Стронгина Б. Г., Парасничук Н. С. Сб. Физич. основы электрофотографии, Вильнюс, 130, 1969.
28. Андреевский А. И., Набитович И. Д., Оsipova B. B., Музыка М. А. Стецив Я. И., Волошук Я. В. Сб. Электроноография и магнитография\*. Изд-во "Минтис", Вильнюс, 91, 1972.
29. Глазов В. М., Щеликов О. Д. ФТП, 5, 3, 494, 1971.

Институт физики

Поступило 30. XII 1973

h. Б. Абдуллаев, Н. И. Ибраимов, h. И. Искендеров

Аморф вә маје селенин гурулушуна даир

ХУЛАСӘ

Мәгаләдә 0—900°C температур интервалында аморф вә маје селенде баш берән гурулуш дәјишилмәләриңе бахылыш вә өзлү ахынын механизми тәһлил едилмишdir. Температурдан асылы олараг, өзлүлүүн активасија енержисинин дәјишмәснин арашдырылмасындан мүәјјәнләшдирилмишdir ки, зәнчирләр арасындакы гарышылыглы тәсир 300°C-дән ашағы температурларда өзүнү көстәрир, температур азалдыгча кәскин артыр вә селен шүшәвары һала кечикдә максимал олур. Гоншу зәнчирләрдә јерләшән атомлар арасындакы работә енержиси дә гијметләндирилмиш вә эн бөյүк гијмети  $\sim 0,07 \text{ eV}$  тәртибиндә алымышыр. Бу да Ван-дер-Ваалс типли работә енержисинә уйғун кәлир.

G. B. Abdullaev, N. I. Ibragimov, G. I. Iskenderov

On structure of amorphous and liquid selenium

SUMMARY

The paper concerns with the structural changes occurring both in amorphous and liquid selenium over the temperature range from 0 to 900°C and discusses its viscous flow mechanism. From the analysis of

the viscously activation energy change with T the interchain interaction has been established to manifest itself below 300°C, then it rapidly increase with the temperature reduce and when selenium passes to a glass-like state, it reaches the maximum value. The binding energy between the atoms of the neighbouring chains, has been estimated. The maximum value of the said energy, which corresponds to the generally accepted magnitude of the Van der Waals binding energy, accured to amount to  $\sim 0,07 \text{ eV}$ .

УДК 678.01(53+54):678.746.

### ФИЗИКА ДИЭЛЕКТРИКОВ И ПОЛУПРОВОДНИКОВ

М. А. БАГИРОВ, З. Г. СУЛЕЙМАНОВА, Е. Я. ВОЛЧЕНКОВ,  
В. П. МАЛИН, Ж. Л. ПЕЩАНСКАЯ, Ю. Н. ГАЗАРЯН

### ВЛИЯНИЕ ОПЫТНЫХ СТАБИЛИЗАТОРОВ НА ИЗМЕНЕНИЕ СТРУКТУРЫ ПОЛИЭТИЛЕНА ПОД ДЕЙСТВИЕМ ЭЛЕКТРИЧЕСКИХ РАЗРЯДОВ

(Представлено академиком АН Азербайджанской ССР Ч. М. Джеварлы)

Основной причиной ухудшения электрических свойств полимерной высоковольтной изоляции, приводящей в конечном счете к ее пробою, является действие электрических разрядов в воздушных порах и включениях внутри изоляции. В работах [1—3] установлено, что ухудшение электрических свойств полимеров под действием разрядов обусловлено изменением их структуры в результате процессов деструкции, сшивки и окисления полимерных цепей. Сшивка при этом, в основном, осуществляется через кислородные мостики, а деструкция, вызывающая разрушение (эррозию) полимера, также наиболее интенсивно протекает в присутствии кислорода [2, 3].

Таким образом, для ослабления изменений свойств полимеров под действием разрядов необходимо, в первую очередь, затруднить процесс окисления полимерных цепей, что возможно осуществить введением в полимер специальных добавок—стабилизаторов. В настоящей работе исследовано влияние некоторых опытных стабилизаторов, синтезированных в Ин-те физики на изменение структуры полиэтилена под действием разрядов в воздухе.

#### МЕТОДИКА ЭКСПЕРИМЕНТА

Объектом исследования служили плоские образцы (толщиной 100 мк) стабилизированного полиэтилена высокого давления (ПЭ), изготовленные методом прессования. Нами применялись опытные стабилизаторы на основе гиппурила (ГП) и анилина (АН) [4—6]. Воздействие электрических разрядов проводили в испытательной ячейке плоскостного типа [1] при напряжении на ячейке 9 кв промышленной частоты.

ИК-спектры образцов снимали на спектрофотометре UR-20 в диапазоне 700—3 600 см<sup>-1</sup>. Для изучения изменений ИК-спектров со временем действия разрядов образец периодически извлекали из испытательной ячейки и снимали спектр одного и того же участка.

Под действием разрядов происходит разрушение образца, в результате чего сильно возрастает фоновое поглощение, за меру интенсивности полос ИК-поглощения принимали  $D = \lg I_{\phi}/I$ , где  $I$ —пропускание в максимуме полосы, а  $I_{\phi}$ —фоновое пропускание, отсчитываемое от базисной линии, проведенной между двумя крайними участками спектра, в которых нет заметных полос поглощения.

#### РЕЗУЛЬТАТЫ И ИХ ОБСУЖДЕНИЕ

Изменения, наблюдаемые в ИК-спектре стабилизированного ПЭ после действия разрядов в воздухе, аналогичны изменениям спектра нестабилизированного ПЭ [7]: появляются полосы поглощения карбонильных (680—1 750 см<sup>-1</sup>) и гидроксильных групп (3 200—3 600 см<sup>-1</sup>), двойных углеродных связей (1 640, 970 см<sup>-1</sup>) озонидов (1 075 и 1 120 см<sup>-1</sup>) и эфирных групп (1 280 см<sup>-1</sup>) и т. д. Однако наблюдаются существенные различия в кинетике изменения интенсивностей поглощения новых групп у стабилизированного и нестабилизированного образцов.

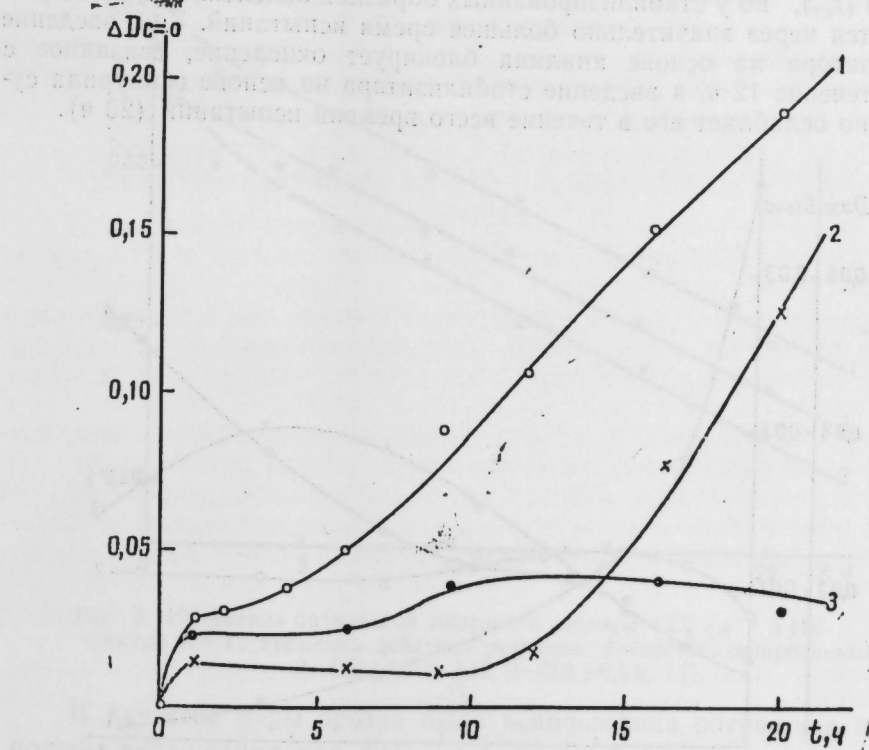
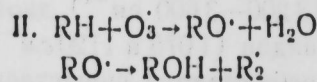
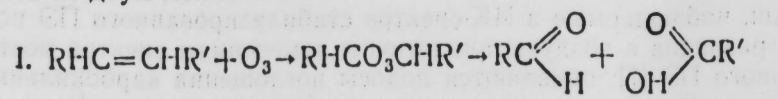


Рис. 1. Изменение оптической плотности C=O-групп в пленке ПЭ со временем действия разрядов: 1—нестабилизированный ПЭ; 2—ПЭ+0,5% АН; 3—ПЭ+0,5% ГП

В [8] было показано, что действие разрядов на полимеры можно представить состоящим из непосредственного действия разрядов (НДР) и действия газообразных продуктов разряда (ДГП), в основном, озона и окислов азота. НДР вызывает изменение структуры в тонком (3 мк для ПЭ) поверхностном слое и приводит к образованию C-C-связей кетонов, альдегидов и т. п., а также к эрозии образца. ДГП ведет к образованию озонидов, карбоксильных групп, нитросоединений и охватывает более значительную (до глубины 15 мк) часть образца. Рассмотрим, как влияет введение стабилизаторов на каждый из этих процессов действия разряда:

Из рис. 1, видно, что зависимость оптической плотности ИК-поглощения карбонильных групп для нестабилизированного образца ПЭ изображается кривой, типичной для окисления под действием разряда, начальный участок быстрого роста, затем участок «насыщения», соответствующий охвату окислением, инициированным НДР, всей доступной поверхности, и участок дальнейшего возрастания, связанный с окислением в результате ДГП. При этом окисление полимерных цепей может протекать по двум механизмам:



и т. д. с образованием карбонилсодержащих групп.

Введение стабилизатора не изменяет характера зависимости  $D_{c=0} = f(t_c)$ , но у стабилизированных образцов окисление за счет ДГП начинается через значительно большее время испытаний. Так, введение стабилизатора на основе анилина блокирует окисление, связанное с ДГП в течение 12 ч, а введение стабилизатора на основе гиппурила существенно ослабляет его в течение всего времени испытаний (20 ч).

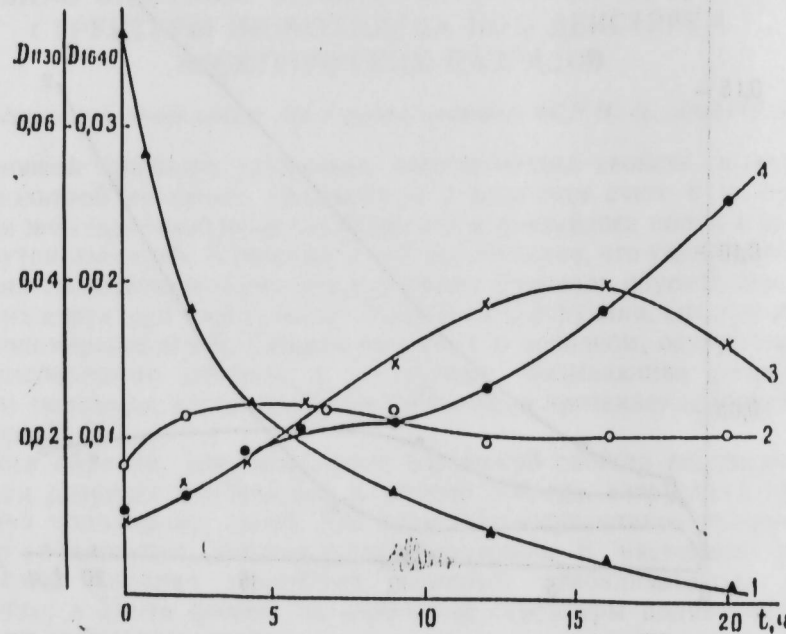


Рис. 2. Изменение оптической плотности полосы при  $1130 \text{ см}^{-1}$  (1) в ИК-спектре ПЭ+0,5% АН и полосы при  $1640 \text{ см}^{-1}$  (2-4); 2—стабилизированный; 3—ПЭ+0,5% АН; 4—ПЭ+0,5% ГП.

На рис. 2 приведена зависимость оптической плотности полосы  $1130 \text{ см}^{-1}$  ИК-спектра образца ПЭ с АН, относящейся к молекулам АН, от времени действия разрядов. Эта зависимость указывает на быстрый расход стабилизатора со временем испытаний. Можно предположить, что причиной расхода стабилизатора является его взаимодействие с озоном, диффундирующими вглубь образца: из-за своей большей реакционной способности и из-за большей доступности (вероятно, введение стабилизатора ухудшает упаковку полимерных цепей и приводит к локальному разрыхлению материала) молекулы стабилизатора скорее реагируют с озоном, чем макромолекулы полимера, и тем самым пред-

отвращают окисление полимера. После исчерпания молекул стабилизатора в реакцию с озоном начинают вступать макромолекулы ПЭ, что и приводит к возобновлению роста числа С-О-групп.

В пользу данного предположения свидетельствует и изменение оптической плотности  $1640 \text{ см}^{-1}$  (С—С-связи). У нестабилизированного ПЭ она после начального увеличения практически не меняется с дальнейшим течением времени действия разрядов (рис. 2), что можно объяснить динамическим равновесием между процессами образования С-С-связей в результате НДР и их убыли вследствие реакции с озоном по механизму I. У стабилизированного же ПЭ наблюдается ее заметное возрастание в результате отвлечения озона на реакцию с молекулами стабилизатора. Действительно, у ПЭ, стабилизированного АН, после 15 ч действия разряда, когда стабилизатор практически был израсходован, рост  $D_{1640}$  прекратился и началось ее уменьшение за счет реакции с озоном (рис. 2).

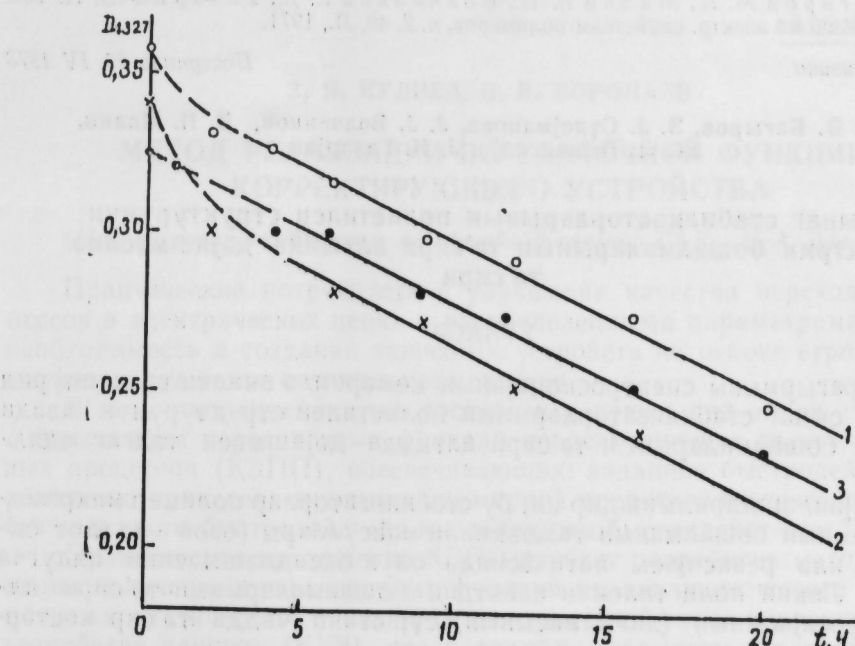


Рис. 3. Изменение оптической плотности полосы  $4327 \text{ см}^{-1}$  в ИК-спектре ПЭ со временем действия разрядов: 1—нестабилизированный ПЭ; 2—ПЭ+0,5% АН; 3—ПЭ+0,5% ГП.

В качестве меры эрозии была использована оптическая плотность полосы поглощения при  $4327 \text{ см}^{-1}$ , относящейся к колебаниям  $\text{CH}_2$ -групп. Введение данных стабилизаторов не нарушает линейного характера эрозии и не изменяет ее скорости (рис. 3). Это подтверждает предположение о поверхностной локализации процессов, вызывающих эрозию [8]. Действительно, существенное ослабление объемного окисления, связанного с ДГП, не препятствует эрозии полимеров и не изменяет ее параметров.

Таким образом, опытные стабилизаторы на основе анилина и гиппурила в значительной степени ослабляют процесс объемного окисления ПЭ, обусловленный ДГП, но не оказывают влияния на его эрозию, вызываемую НДР.

#### Выводы

- Методом ИК-спектроскопии исследовано влияние некоторых опытных стабилизаторов на основе анилина и гиппурила на изменение структуры полиэтилена под действием электрических разрядов в воздухе.

2. Установлено, что данные стабилизаторы существенно ослабляют окисление полиэтилена в результате реакции его макромолекул с озоном, образующимся при действии разрядов, но не оказывают существенного влияния на эрозию полимеров.

## ЛИТЕРАТУРА

1. Багиров М. А., Малин В. П. «Известия АН Азерб. ССР, серия физ.-техн. и матем. наук», № 1—2, 171, 1970.
2. Багиров М. А., Малин В. П., Волченков Е. Я., Газарян Ю. Н. Высокомолек. соед., II, 2323, 1969.
3. Койков С. Н., Цинкин А. Н. Электрическое старение твердых диэлектриков. «Энергия», М., 1968.
4. Сулейманова З. Г., Пешанская Ж. Л., Султанов А. А. Ж. АНХ, № 11, М., 1969.
5. Кулиев А. М., Сулейманова З. Г. и др. Сб. «Синтез и исследование эффективности химических добавок к полимерным материалам», вып. 3, 1969.
6. Ахмедзаде Д. А., Сулейманова З. Г. и др. Сб. «Синтез и исследование эффективности химических добавок к полимерным материалам», вып. 2, 1968.
7. Багиров М. А., Малин В. П., Газарян Ю. Н., Волченков Е. Я. «Пластмассы», № 2, 44, М., 1970.
8. Багиров М. А., Малин В. П., Волченков Е. Я., Газарян Ю. Н. Тез. III Всес. совещ. по электр. свойствам полимеров, ч. 2, 49, Л., 1971.

Институт физики

Поступило 25. IV 1973

М. Э. Багиров, З. Г. Сулейманова, І. І. Волченков, В. П. Малин,  
Ж. Л. Пешанскаја, Ј. Н. Газарјан

## Сынағ стабилизаторларының полиэтилен структурунун електрик бошалмаларының тә'сири алтында дәжишмәсінә тә'сири

### ХУЛАСӘ

Инфрагырызы спектроскопијаның көмәji илә анилин вә киппурил әсасында сынағ стабилизаторларының полиэтилен структурунун һавада електрик бошалмаларының тә'сири алтында дәжишмәсі тәдгиг едилмишdir.

Мүәжжәнләшдирилмишdir ки, бу стабилизаторлар полимер макромолекулларының бошалманың газшәкіlli мәһсуллары (озон вә азот оксидләри) илә реаксијасы нәтичәсіндә онуң оксидләшмәсінің олдуғача азалдыр. Лакин полистиленин електрик бошалмаларының тә'сири алтында ерозијасының (дағылмасының) сүр'еттінә чидди тә'сир көстәрмір.

M. A. Bagirov, Z. G. Suleimanova, E. Ya. Volchenkov, V. P. Malin,  
G. L. Peschanscaya, Yu. N. Gasarjan

## The effect of experimental stabilizers on the change of polyethylene's structure under the influence of electrical discharges

### SUMMARY

Experimental stabilizers on the basis aniline and gippuril attenuate oxidation of polyethylene under the influence of discharges but don't effect on its erosion.

АЗЭРБАЙЧАН ССР ЕЛМЛӘР АКАДЕМИЈАСЫНЫҢ МӘРУЗӘЛӘРИ  
ДОКЛАДЫ АКАДЕМИИ НАУК АЗЕРБАЙДЖАНСКОЙ ССР  
ТОМ XXX ЧИЛД № 7 1974

УДЕ 621. 311.2.001.24

## АВТОМАТИКА

З. Я. КУЛИЕВ, П. В. ВОРОПАЕВ

## МЕТОД РЕАЛИЗАЦИИ ПЕРЕДАТОЧНОЙ ФУНКЦИИ КОРРЕКТИРУЮЩЕГО УСТРОЙСТВА

(Представлено академиком АН Азербайджанской ССР А. А. Эфендизаде)

Практические потребности в улучшении качества переходных процессов в электрических цепях с распределенными параметрами вызвали необходимость в создании защитных устройств на основе строгих математических методов оптимального синтеза.

В этом направлении уже поставлен и решен ряд задач, связанных с отысканием передаточных функций корректирующих звеньев переходных процессов (КЗПП), обеспечивающих: заданное быстродействие переходного процесса; минимум суммарной среднеквадратической оценки без заданного быстродействия и с заданным быстродействием [1—3].

Практическое воплощение КЗПП требует разработки метода реализации полученных передаточных функций их, заключающегося в переходе от математического описания к электрической схеме корректирующего устройства защиты (КУЗ), что и явилось предметом исследования настоящей работы.

Рассмотрим этот метод на одном из наиболее часто встречающемся в действительных условиях случае коммутации, приводящей к опасным переходным процессам — включение цепи с распределенными параметрами к источнику косинусоидального напряжения  $V_0$  через сосредоточенные сопротивления  $R$  и индуктивности  $L$ . Из уравнений связи передаточной функции КЗПП  $K_k^*(q)$  с исходной системой:

$$U_{\text{вых}}^*(q) = \frac{K_k^*(q) K_0^*(q)}{1 + K_k^*(q) K_0^*(q)} U_0^*(q),$$

где:  $K_0^*(q)$  — передаточная функция неизменной части эквивалентной импульсной системы с последовательной коррекцией; при расположении КУЗ в начале цепи с распределенными параметрами, находим его системную функцию  $T_k^*(q)$  в дискретной форме:

$$T_k^*(q) = Z_1^*(q) \left[ \frac{1}{K_k^*(q)} - 1 \right], \quad (1)$$

где:  $Z_1^*(q)$  — система функция сопротивления предвключенных элементов  $R$  и  $L$ . Как видно из этого выражения, порядок системной функци-

ции КУЗ зависит от порядка передаточной функции КЭПП— $K_k^*(q)$ , а степень последней высока, что существенно усложняет реализацию  $T_k^*(q)$ . В связи с изложенным, выражение  $K_k^*(q)$  приводится к пониженному порядку [4], подстановка которого в (1), дает новую системную функцию КУЗ— $T_k(q)$  также пониженного порядка. Реализация ее может быть осуществлена как в дискретной, так и в непрерывной формах. Учитывая непрерывность процессов в реальной электрической схеме и жесткие условия коммутации естественно использовать последнюю.

Для перехода от импульсной системы к непрерывной заметим следующее. Определение передаточной функции  $K_k^*(q)$  производилось на основе метода, предложенного в [1], сущность которого сводится к приведению процессов, происходящих в непрерывной электрической системе к процессам в адекватной импульсной системе первого типа. Так как из КУЗ воздействуют прямоугольные импульсы длительностью  $\tau=1$ , то в этом случае, с учетом нулевых начальных условий, справедливо соотношение [3]:

$$e^q \approx pT + 1, \quad (2)$$

где:  $p$ —оператор обычного преобразования Лапласа;

$T$ —абсолютный период повторения решетчатой функции, величина которого мала.

Это выражение получено на основе физической интерпретации процессов в импульсной и непрерывной системах. Очевидно, оно может быть получено и путем удержания двух членов в разложении  $e^q$  в экспоненциальный ряд.

Реализация передаточной функции КЭПП— $K_k^*(q)$ , обеспечивающей минимум суммарной среднеквадратической оценки при заданном быстродействии переходного процесса в цепях с распределенными параметрами, не является достаточной в реальных условиях их работы; в нормальном режиме устройства, снижающие максимум переходного процесса, не должны иметь потерь.

Системная функция  $T_k^*(q)$  отвечает минимуму целевой функции и ограничению; для обеспечения же и второго ограничения необходимо составить электрическую схему, которая в простом варианте выглядит как сопротивление  $R_k$ , шунтируемое накоротко в нормальном режиме ( $f_0 = 50$  гц), последовательно включенными индуктивностью  $L_k$  и емкостью  $C_k$ . Считая  $T_k^*(q)$  и  $Z_d^*(q)$  системными функциями общего сопротивления этой цепи и сопротивлением цепи  $L_k$ ,  $C_k$  соответственно, в комплексной форме, используя (2), можно записать:

$$Z_d(j\omega) = \frac{R_k T_k(j\omega)}{R_k - T_k(j\omega)} = \frac{R_k (A_k R_k - A_k^2 - B_k^2) + j B_k R_k^2}{(R_k - A_k)^2 + B_k^2}, \quad (3)$$

где:

$$\bar{T}(j\omega) = A_k + jB_k,$$

$$Z_d(j\omega) = jB_k.$$

Принимая во внимание равенство нулю вещественной части  $Z_d(j\omega)$ , получим:

$$R_k = (A_k^2 + B_k^2)/A_k, \quad (4)$$

$$B_k = (A_k^2 + B_k^2 + B_k^2)/B_k. \quad (5)$$

В нормальном режиме  $L_k$  и  $C_k$  связаны выражением:

$$\omega_0 = 2\pi f_0 = 1/\sqrt{L_k C_k}$$

На частоте  $\omega_0$ :

$$Z_d(j\omega) = j \left( \omega L_k - \frac{1}{\omega C_k} \right).$$

Вследствие этого можно определить:

$$L_k = \omega B_k / (\omega^2 - \omega_0^2), \quad (6)$$

$$C_k = 1/\omega_0^2 L_k. \quad (7)$$

Величина шунтируемого сопротивления находится из (4).

Пример. Реализовать передаточную функцию корректирующего устройства переходных процессов в цепях с распределенными параметрами в виде пассивных элементов, обеспечивающих: 1) минимум суммарных среднеквадратических сценок; 2) заданное быстродействие; 3) равенство нулю потерь в КУЗ в нормальном режиме.

Для конкретных параметров электрической схемы —  $L/Z = 0,5$  т,  $R/Z = 0,2$ ;  $T = 20$  мк, где  $Z$ —волновое сопротивление цепи с распределенными параметрами;  $T$ —время пробега волн в один конец этой цепи, имеем, после понижения порядка  $K_k^*(q)$ :

$$K_k^*(q) = \frac{0,2667 e^{2q} - 0,2 e^q + 0,0667}{e^{2q} - 1,3 e^q + 0,32}. \quad (8)$$

В непрерывной форме:

$$T_k(j\omega) = \frac{(6,25 + 540,476 \omega^2 T^2) + j\omega T (134,76 + 1000,95 \omega^2 T^2)}{(0,02 - \omega^2 T^2) + j0,7 \omega T} \quad (9)$$

Исходя из диапазона частот 0÷500 гц переходного процесса в этой системе получены параметры:  $R_k = (312,5 \div 481,6)$  ом;  $L_k = (3,54 \div 0,14)$  мк;  $C_k = (2,866 \div 72,48) \cdot 10^{-6}$  ф.

Для исследования уровня ограничения переходных процессов (без корректирующего устройства этот уровень составлял ~1,6) эти параметры КУЗ вводились в расчетную схему, с включенным КУЗ в начале цепи с распределенными параметрами. Диапазон изменения максимума переходного процесса в зависимости от получаемых параметров

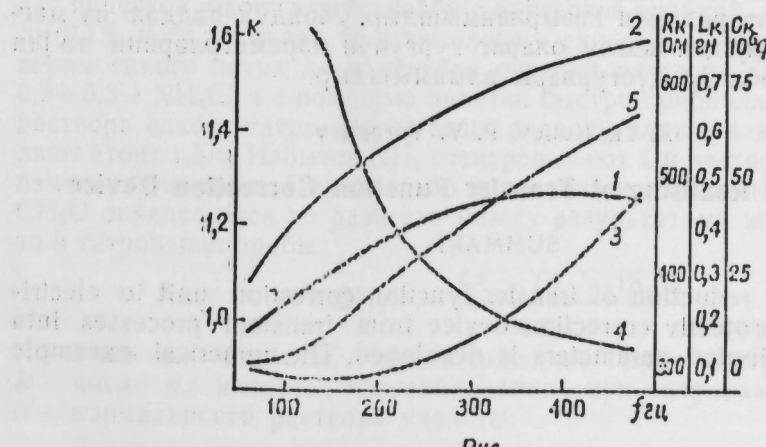


Рис.

составил  $K_{\text{нач}} = (0,982 \div 1,27)$ , связанных с частотой и представлены на рисунке, где: 1—уровень максимума переходного процесса в начале цепи с распределенными параметрами; 2—уровень максимума переходного процесса в конце цепи с распределенными параметрами; 3—сопротивление  $R_k$  (ом); 4—индуктивность  $L_k$  (мк); 5—емкость  $C_k \cdot 10^6$  ф. Имея в виду заданный уровень  $K_{\text{нач}} = 1,25$ , параметры КУЗ определяются по рисунку.  $R_k = 340$  ом,  $L_k = 0,22$  мк,  $C_k = 38 \cdot 10^{-6}$  ф. Из этого же рисунка видно, что изменение максимума переходного процесса в приведенном широком диапазоне частот не превышает 1,27, следова-

тельно, выбор параметров КУЗ можно производить, исходя из экономических или других соображений.

Заметим, что КУЗ ограничивает уровень переходного процесса и на конце цепи с распределенными параметрами; изменение этого уровня в рассматриваемом диапазоне частот составляет  $K_{\text{кон}} = (1,05 \div 1,6)$  по сравнению с 2,13 без корректирующего устройства.

Таким образом, КУЗ позволяет снизить максимальную величину переходного процесса в цепи с распределенными параметрами минимум на 25%.

## ЛИТЕРАТУРА

1. Кадыров Я. Б. Переходные процессы в системах с распределенными параметрами. Физматгиз, 1968. 2. Кадыров Я. Б., Кулиев З. Я., Мамедов А. И. К методу расчета оптимального по быстродействию переходного процесса в линейной системе с распределенными параметрами. «Изв. АН Азерб. ССР, серия физ.-тех. наук», 1969, № 3. 3. Цыпкин Я. З. Теория линейных импульсных систем. Физматгиз, 1963. 4. Chen C. F., Shieh L. S. An algebraic method for control systems design Int. Control. 1970, 11, № 5.

## Институт энергетики им. Н. Г. Есьмана

Поступило 25. IV 1973

З. Ј. Гулијев, П. В. Воропајев

## Коррексија гургусунун өтүрмә функцијасының реализэ методу

ХҮЛАСЭ

Пајланмыш параметрли електрик дөврэләриндэ кечид просесслэрини мұдафиә едән коррексијаедици гурғунун өтүрмә функцијасы вә кечид һалларны оптималлаштыран коррексијаедици манганын електрик схеминә қәтирилмәсі назырланмыштыр. Мәһідуд һәddән: вә мәгсәдәуігүн функцијадан асылы олараг гурғунун параметрләрини тә'жін етмәк үчүн һесаблама дүстурлары алыныштыр.

Z. Ya. Kuliev, P. V. Voropayev

## The Method Realising of Transfer Function Correction Device

## SUMMARY

The method reduction of transfer function correction unit to electrical diagram of protective correction device from transient processes into circuit with distributed parameters is developed. The numerical example is given.

УДК 547-233-547-561

ХИМИЯ НЕФТИ

Н. А. АБАСОВА, И. А. МАМЕДОВ, Л. И. МУСТАФАЕВА

# КИНЕТИЧЕСКОЕ ИССЛЕДОВАНИЕ РЕАКЦИИ ОБРАЗОВАНИЯ АЛКИЛОКСИБЕНЗИЛОВЫХ ЭФИРОВ ТИОСЕРНИСТОЙ КИСЛОТЫ

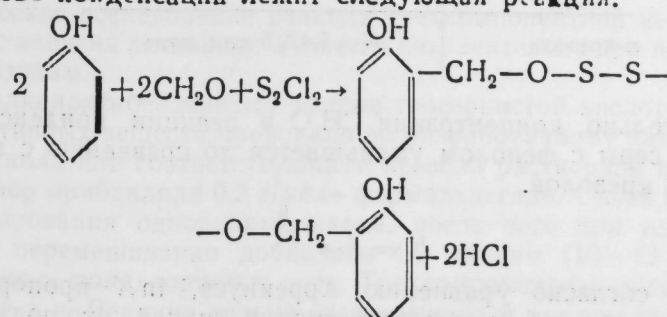
(Представлено академиком АН Азербайджанской ССР А. М. Кулевым)

На основе трехкомпонентной конденсации фенола, формальдегида и полихлористой серы нами получены неизвестные в литературе физиологически-активные вещества. По изменению концентрации формальдегида в процессе реакции проведено кинетическое исследование вышеприведенной конденсации. Методика определения формальдегида в присутствии серы заключается в следующем: около 0,5—1 г препарата (точная на-веска) помещают в мерную колбу емкостью 25 мл, разводят этиловым спиртом до метки и перемешивают. 5 мл полученного раствора переносят пипеткой в коническую колбу с притертой пробкой, добавляют 3 капли 0,1%-ного раствора бромтиолового синего и нейтрализуют 1 н раствором едкого натра до изменения окраски раствора. Затем добавляют 0,2—0,3 г  $\text{NH}_4\text{Cl}$  и с помощью пипетки быстро прибавляют туда 5 мл 1 н раствора едкого натра. После этого склянку плотно закрывают и оставляют стоят 1,5 ч. Избыток  $\text{NH}_3$  оттитровывают 1 н раствором кислотой до изменения окраски. Параллельно проводили контрольные опыты. Расход  $\text{CH}_2\text{O}$  определяется по разности между результатами контрольного опыта и титрования пробы.

$$\% \text{CH}_2\text{O} = \frac{(A - B) \cdot N \cdot 18,02}{\text{нав. 2}}$$

*A*—число мл кислоты, израсходованное при контрольном опыте,  
*B*—число мл кислоты, израсходованное при титровании пробы.  
*N*—нормальность раствора кислоты.

В основе конденсации лежит следующая реакция:



Константа скорости мономолекулярного изменения концентрации формальдегида определяется по следующему выражению:

$$K = \frac{2,3}{t} \log \frac{C_0}{C_t} \quad (1)$$

$C_0$ —начальная концентрация формальдегида в реакции.  
 $C_t$ —концентрация формальдегида через определенные промежутки времени.

Значения вычисленных констант скорости реакции по приведенному уравнению (1), представлены на рис. 1,2.

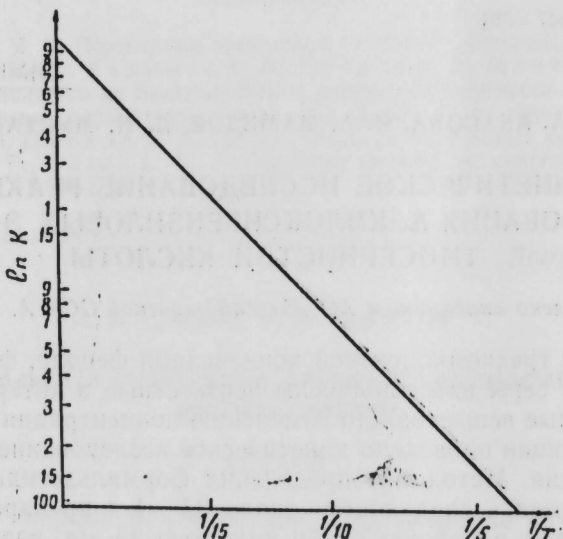


Рис. 1. График зависимости константы скорости реакции от обратной температуры.

На рис. 1 и 2 представленные кривые выражают зависимость константы скорости реакции трехкомпонентной конденсации в зависимости от времени проведения реакции и температуры.

Как следует из графиков, величина  $K$  константы скорости реакции наименьшая, когда в реакцию конденсации вступает фенол, а наибольшая величина  $K$  наблюдается у производных фенола: *n*-крезола, *o*-крезола, *m*-крезола соответственно.

Фенол	$E = 7,283,7$ кал/моль
<i>m</i> -крезол	$E = 4,530,6$ кал/моль
<i>o</i> -крезол	$E = 3,293,1$ кал/моль
<i>n</i> -крезол	$E = 5,422,5$ кал/моль

Действительно, концентрация  $\text{CH}_2\text{O}$  в реакции конденсации полуухлористой серы с фенолом уменьшается по сравнению с аналогичной реакцией крезолов.

$$K = A \cdot e^{-\frac{E}{RT}} \quad (2)$$

Так как, согласно уравнению Аррениуса,  $\ln K$  пропорционален  $1/T$ , то графически это выражается прямой линией, что подтверждает

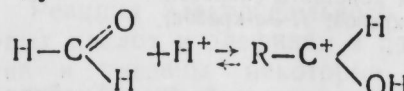
график 3, на котором в полулогарифмической сетке на оси ординат отложены значения  $\ln K$ , а по оси абсцисс—величины, обратные абсолютным температурам. Зависимость от  $1/T$  представляет собой прямую, наклон которой равен  $-E/2,303 R$ , что является доказательством единичности реакции.

Значения энергии активации для реакции трехкомпонентной конденсации фенола и крезолов вычислены по формуле:

$$\lg \frac{K_2}{K_1} = \frac{E}{2,3 R} \cdot \left( \frac{T_2 - T_1}{T_2 \cdot T_1} \right) \quad (3)$$

Как видно из значений величины энергии активации, изменение положения метильной группы в фенольном кольце приводит к существенному изменению течения реакции.

Органический катион образуется в результате присоединения протона бензольного кольца к альдегиду.



Происходит далее обычная реакция электрофильного замещения у насыщенного углеродного атома (связанного с подвижным  $\alpha$ -водородным атомом), в результате образуется новая углерод—углеродная связь.

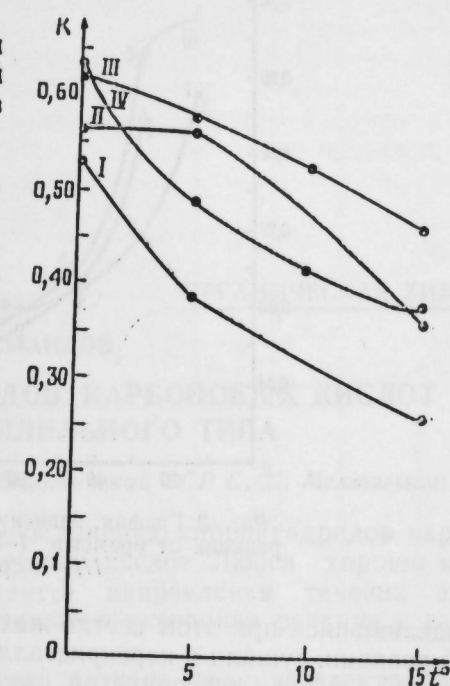
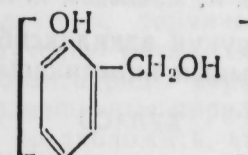


Рис. 2. График зависимости константы скорости реакции от температуры: I—фенол; II—*m*-крезол; III—*o*-крезол; IV—*n*-крезол.



Протон гидроксильной группы алкильного радикала способен, оставаясь, продолжить дальнейшую реакцию. Так как заместители I рода ( $-\text{OH}, \text{CH}_3$ ) в целом повышают электронную плотность связанного с ним бензольного кольца (особенно *o* и *n*-положений), естественно, что реакции электрофильного замещения протекают легче, чем у незамещенного бензола. Поэтому величина энергии активации у *n* и *o*-крезолов ниже по сравнению с фенолом.

Кинетическое исследование реакции трехкомпонентной конденсации показало, что энергия активации меняется незначительно при переходе от фенола к крезолам.

Синтез алкилоксибензиловых эфиров тиосернистой кислоты—физиологически-активных веществ проводили по разработанному нами методу: 0,2 г/моль фенола или соответствующего крезола растворяли в спирте, а затем в раствор прибавляли 0,2 г/моль формальдегида. Смесь перемешивали до образования однородной массы, после чего при охлаждении (5–10°C) и перемешивании добавляли по каплям (10–12 капель в 1 мин) 0,1 г/моль полуухлористую серу. Трехкомпонентная смесь перемешивалась еще 1 ч. Реакция сильно экзотермична и протекала с выделе-

шием хлористого водорода. Для удаления непрореагировавших фенолов, формальдегида и полуухлористой серы спиртовый раствор продукта конденсации переливали в дистиллированную воду, нагретую до 40—50°C.

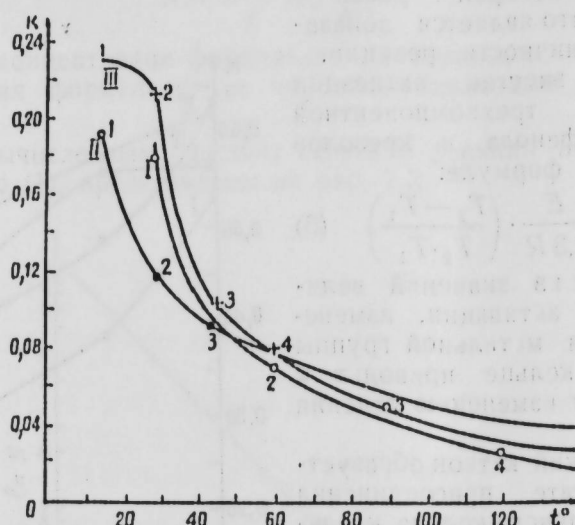


Рис. 3. График зависимости константы скорости реакции от времени I—m-крезол; II—o-крезол; III—n-крезол.

Выделившийся при этом светло-желтый осадок промывали до нейтральной реакции, сушили и перекристаллизацией (бензол) получали оксибензиловый эфир тиосеринстой кислоты. Соотношение компонентов  $S_2Cl_2 : CH_2O$  фенола 1:2:2; спирт (20 мл), время реакции 1,5—2 ч, выход составляет 85—95% от теоретического.

АМИ им. И. Нариманова  
Кафедра общей химии

Н. А. Абасова, И. А. Мамедов, Л. И. Мустафаева

Тиосулфат туршусуну алкилоксибензил ефириниң алымна реаксијасынын кинетикасынын ојрәнилмәси

#### ХУЛАСӘ

Фенол, формалдеинид та полихлоркурудуң иштиракы иле үч компонентли конденсасија өсасында әдәбијатда мә’лум олмајан физиологи актив маддәләр синтез едилмишdir.

Процесдә формалдеинидин гатылығынын дәжишмәсінә көрә конденсасијасын кинетик тәдгиги аларымышды.

Активләшмә енергиясинин несабланмыш гијметләри көстәрир ки, фенол һәлгәсендә метил группуның јеринин дәжишмәси реаксија кедишини өссле сурәтдә дәжишир.

N. A. Abasova, A. I. Mustafaeva, I. A. Mamedov]

Kinetic study of reaction of Alkyloxybenzoyl esters of thiosulfurous acid

#### SUMMARY

The new physiological-active compounds were obtained on the basis of ternary condensation of phenols, formaldehyde and sulfur monochloride. The kinetic study of condensation was carried out over change of concentration of formaldehyde in the course of reaction.

The calculated values of activation energy indicated the position change of methyl group in phenol ring which leads to the significant change of the reaction route.

УДК 547. 72+547. 74

ОРГАНИЧЕСКАЯ ХИМИЯ

А. Г. ИСМАИЛОВ

## О РЕАКЦИИ ХЛОРАНГИДРИДОВ КАРБОНОВЫХ КИСЛОТ С ХЛОРИДАМИ АЛЛИЛЬНОГО ТИПА

(Представлено академиком АН Азербайджанской ССР С. Д. Мехтиевым)

Реакция электрофильного присоединения хлорангидридов карбоновых кислот к олефинам в присутствии кислот Люиса хорошо изучена и указаны некоторые аспекты направления течения этой реакции [1—8]. Также достаточно изучена указанная реакция с галогенипроизводными этилена [9—10].

До наших исследований не была изучена реакция электрофильного присоединения хлорангидридов карбоновых кислот к галогенидам аллильного типа. В работе [11] указано, что реакция ацетилхлорида с хлористым аллилом приводит в конечном итоге к получению производного метилизопропенилкетона, строение которого строго не доказано. Однако установлено [12], что при этой реакции получается метил- $\beta$ ,  $\gamma$ -дихлорипропенилкетон, термическое дегидрохлорирование которого приводит к получению метил- $\gamma$ -хлорипропенилкетона.

Как известно [6], хлорангидриды карбоновых кислот с пропиленом образуют и 2,6-дизамещенные пирилиевые соли, и аналогично пропилену, можно было предположить, что хлористый аллил также будет образовывать хлорзамещенные пирилиевые соли.

Однако в работе [13] указывается, что при реакции хлорангидридов карбоновых кислот с хлористым аллилом не могли выделить индивидуальное вещество, в частности пирилиевые соли, а получается смола.

Нами в течение ряда лет изучается реакция электрофильного присоединения хлорангидридов алифатических и нафтеновых кислот к галогенидам аллильного типа. И установлено, что при этой реакции получается термически неустойчивый продукт 2,3-дихлорипропенилкетоны, в зависимости от строения хлорангидридов кислот, которые при перегонке циклизуются в производные фурана. Некоторые характеристики синтезированных нами фуранов по этой реакции приведены в табл. 1.

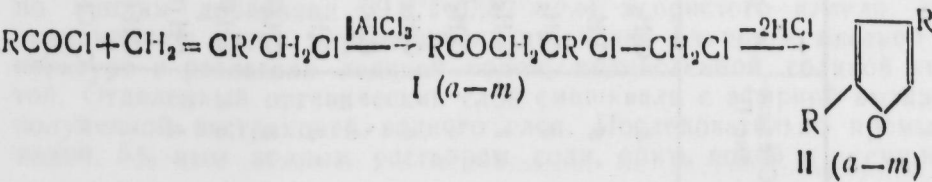
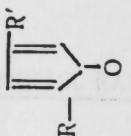


Таблица 1

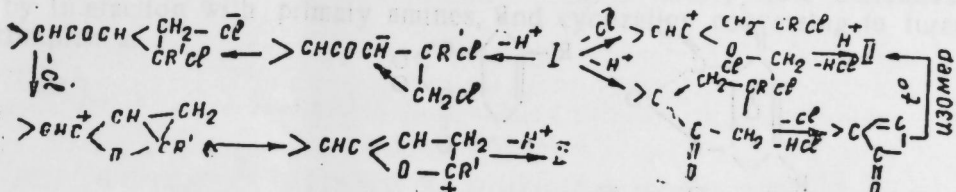
Некоторые константы синтезированных производных фурана



Соединение II.	R	R'	$T_{\text{кип.}}, ^\circ\text{C}$ (давлек.)	$n_{\text{D}}^{20}$	$d_4^{20}$	$M/R_D$	Брутто-формула			Найдено			Вычислено			Выход, %
							найдено	вычисле-но	С	Н	С	Н	И			
a	C <sub>2</sub> H <sub>5</sub>	H	40—42/50	1,4408	0,9080	27,85	C <sub>6</sub> H <sub>8</sub> O	75,32	8,21	75,0	8,38	38				
b	C <sub>3</sub> H <sub>9</sub> (n)	H	45—48/50	1,4465	0,9100	32,48	C <sub>7</sub> H <sub>10</sub> O	76,12	8,95	76,3	9,09	51				
c	C <sub>3</sub> H <sub>7</sub> (t)	H	43—45/50	1,4383	0,8900	32,50	C <sub>7</sub> H <sub>10</sub> O	76,05	9,15	76,3	9,09	65				
d	C <sub>4</sub> H <sub>9</sub>	H	49—52/40	1,4520	0,888	37,47	C <sub>8</sub> H <sub>12</sub> O	77,23	9,75	77,42	9,68	72				
e	C <sub>2</sub> H <sub>5</sub>	CH <sub>3</sub>	48—51/50	1,4400	0,884	32,71	C <sub>7</sub> H <sub>10</sub> O	76,14	9,00	76,03	9,09	41				
f	C <sub>3</sub> H <sub>7</sub> (n)	CH <sub>3</sub>	54—56/50	1,4458	0,880	37,54	C <sub>8</sub> H <sub>11</sub> O	77,18	9,59	77,42	9,68	50				
g	C <sub>3</sub> H <sub>7</sub> (t)	CH <sub>3</sub>	49—51/50	1,4375	0,876	38,0	C <sub>8</sub> H <sub>11</sub> O	77,27	9,63	77,42	9,68	63				
h	C <sub>4</sub> H <sub>9</sub>	CH <sub>3</sub>	65—68/50	1,4525	0,872	42,76	C <sub>9</sub> H <sub>11</sub> O	78,12	10,05	78,26	10,14	85				
i	CH(CH <sub>3</sub> ) <sub>4</sub>	H	53—55/12	1,4839	0,9704	40,07	C <sub>9</sub> H <sub>12</sub> O	76,53	8,71	79,40	8,82	88				
j	CH(CH <sub>3</sub> ) <sub>3</sub>	H	60—64/13	1,4860	0,9680	44,35	C <sub>10</sub> H <sub>11</sub> O	80,16	9,21	80,00	9,33	92				
k	CH(CH <sub>3</sub> ) <sub>4</sub>	CH <sub>3</sub>	63—65/15	1,4840	0,9675	44,40	C <sub>10</sub> H <sub>11</sub> O	80,21	9,25	80,00	9,33	84				
l	CH <sub>2</sub> CH(CH <sub>3</sub> ) <sub>3</sub>	CH <sub>3</sub>	72—74/15	1,4855	0,9604	49,00	C <sub>11</sub> H <sub>16</sub> O	80,14	9,60	80,50	9,75	84				
m	C(CH <sub>3</sub> ) <sub>3</sub>	H		1,5105	1,1328	48,75	C <sub>10</sub> H <sub>13</sub> ClO	65,08	7,75	65,21	7,70	63				

Строение промежуточных продуктов реакции I (a—m) доказано на примере I "и" взаимодействием на него металлическим цинком, при котором образуется циклогексилпропенил-, аллил-, пропил- и метилкетоны, и все указанные продукты идентифицированы газ-жидкостной хроматографией.

При реакции присоединения хлористого ацетила к хлоргидрам алильного типа, продукты реакции во время перегонки не циклизуются в фурановые соединения. Вероятно, с увеличением молекулярного веса хлорангидридов, облегчается возможность циклизации, из-за устойчивости конформации алильного радикала хлорангидрида. Образование фурановых соединений из хлоркетонов I можно предположить по следующей схеме:



Исследование ИК-спектров, полученных по вышеприведенным реакциям фурановых соединений, показывает, что на спектре соединения I "l", кроме полосы поглощения, характерной для фуранового кольца, имеются интенсивные полосы поглощения в области  $1745 \text{ см}^{-1}$ . Однако примененными нами методами анализа: ЯМР, хроматографии, массспектрометрии, кроме ИК-спектроскопии, не могли подтвердить присутствие примесей в фурановых соединениях, также выделено 2,4-ДНФ-он неизвестного карбонильного соединения. Нами пока эта примесь не идентифицирована. Проведенные нами реакции с  $\alpha$ -хлорхлорангидридом циклогексан карбоновой кислоты и хлористого аллила показали, что при этом также получаются производные фурана и в ИК-спектре этого соединения также имеются полосы в области  $1710—1720 \text{ см}^{-1}$ .

Полученные фурановые соединения с малеиновым ангидридом образуют с количественными выходами аддукты диенового синтеза. Некоторые константы аддуктов приведены в табл. 2. Продукты конденсации хлорангидридов карбоновых кислот с хлоридами алильного типа при обработке с первичными аминами образуют соответствующие производные пиррола с высокими выходами.

### ЭКСПЕРИМЕНТАЛЬНАЯ ЧАСТЬ

Получение 2-( $\alpha$ -хлорциклогексил)-фурана. В трехгорную колбу, снаженную механической мешалкой, ртутным затвором с термометром и капельной воронкой, наливали 150 мл дихлорэтана и охлаждали до температуры  $-20—25^\circ\text{C}$ . После этого в реакционную колбу при непрерывном помешивании вносили 68,8 г (0,52 мол) хлористого алюминия и 90,5 г (0,5 мол) хлорангидрида-хлорциклогексанкарбоновой кислоты. При поддерживании температуры до  $-20^\circ\text{C}$  по каплям добавляли 39,8 г (0,52 мол) хлористого аллила. Затем реакционную массу перемешивали в течение 1 ч при комнатной температуре и разлагали ледяной водой, подкисленной соляной кислотой. Отделенный органический слой смешивали с эфирной вытяжкой, полученной экстракцией водного раствора соли, опять водой и высушивали

над безводным кальцием. Растворители удаляли водоструйным насосом. При этом полученный продукт смешивали равным количеством по объему ДМФА-ом, наливали в одногорлую колбу, снабженную обратным холодильником и нагревали на водяной бане в течение 2 ч при температуре 90°C. Охлажденный продукт растворяли в 150 мл воды, органический слой отделяли, смешивали с эфирной вытяжкой, полученной экстракцией водного слоя, промывали водой и высушивали на безводном  $\text{CaCl}_2$ . Эфир отгоняли на водяной бане, а остаток медленно перегоняли под вакуумом. Получено 59 г 2-( $\alpha$ -хлорциклогексил)-фурана (выход 64% от теории), некоторые физико-химические константы которого приведены в табл. 1.

Таблица 2



Соединение Ш.	R	R'	Т. плав., °C	Формула	Найдено		Вычислено	
					C	H	C	H
a	$\text{CH}(\text{CH}_2)_4$	H	92—93	$\text{C}_{13}\text{H}_{14}\text{O}_4$	62,28	6,07	62,39	5,98
b	$\text{CH}(\text{CH}_2)_5$	H	96—97	$\text{C}_{14}\text{H}_{16}\text{O}_4$	67,83	6,38	67,74	6,45
c	$\text{C}(\text{CH}_2)_6$	H	98	$\text{C}_{14}\text{C}_{15}\text{ClO}_4$	59,63	5,40	59,57	5,32
d	Cl							
e	$\text{CH}(\text{CH}_2)_4$	$\text{CH}_3$	95—96	$\text{C}_{14}\text{H}_{16}\text{O}_4$	67,68	6,52	67,74	6,45
f	$\text{CH}(\text{CH}_2)_5$	$\text{CH}_3$	101—102	$\text{C}_{15}\text{H}_{18}\text{O}_4$	68,75	6,92	68,70	6,87

#### ЛИТЕРАТУРА

- Кондаков Н. Л. О синтезах под влиянием хлористого цинка в ряде жирных соединений. Варшава, 1941. 2. Белов В. Н., Рудольфи Т. А. Сб. статей по общей химии, т. I, стр. 263, 1953. 3. Jones N., Taughton H. T. J. chem. Soc., № 12, 4017, 1959. 4. Мехтиев С. Д., Исмаилов А. Г., Сафаров Г. И. Азерб. хим. журн., № 5, 17, 1953. 5. Валабан А. Т., Wentzies C. D. Liebigs Ann. Chem. 625, 74, 1959. 6. Исмаилов А. Г., Атакишиева М. Р. ХГС, № 5, 1967. 7. Исмаилов А. Г., Атакишиева М. Р. Азерб. хим. журн., № 6, 1967. 8. Raith P. F., Whinsteag A. L. Proc. Chem. Soc., London, 312, 74, 1959. 9. Кунуянц И. Л., Стернин Р. Н., Пикинина Л. Н., Цяткин П. Л. Изв. АН СССР, ОНХ, № 3, стр. 296, 1958. 10. Несмеянов А. Н., Ряутов О. А., Гудкова А. С. Изв. АН СССР, ОХН, № 2, стр. 260, 1961. 11. Мушкин Н. Н., Мушкин Л. К. Укр. хим. журн., т. 36, вып. 9, 1970. 12. Ибрагимов Н. Н., Исмаилов А. Г., Гаджиев Р. А. Авт. свид. СССР, № 35533. 13. Дорофеенко Г. Н., Дулепин В. И., Крикун С. В. Тез. докл. 2-ой международной конференции по химии, технологии и применению производных хинолина и пиридина. Черновцы, 1962, стр. 38, 39.

АзИИ им. Ч. Ильдымова

Поступило 2. VII 1972

Э. Н. Исмаилов

#### Карбон туршулары хлоранидрилдеринин аллил типли хлоридлерле реаксијасы

#### ХУЛАС

Мәғиләдә алифатик және циклоалифатик карбон туршулары хлоранидрилдеринин аллил типли хлоридтерле электрофил бирләшмә

реаксијалары өјрәнүләрәк мүәжжән еди. Мишdir ки, реаксија мәңсүләрү бирли аминнеләрэ ишләнүлдикдә пиррол төгәмәләри, термики тә'сирдән исә фуран төрәмәләри әмәлә кәтирир.

A. G. Ismailov

#### On reaction of carboxylic chloranhydrides with chlorides of allyl type

#### SUMMARY

Electrophilic addition reaction of aliphatic and cycloaliphatic carboxylic chloranhydrides to halides of allyl type has been studied.

Reaction products have been established to form pyrrole derivatives by interaction with primary amines, and cyclization converting to furan complexes.

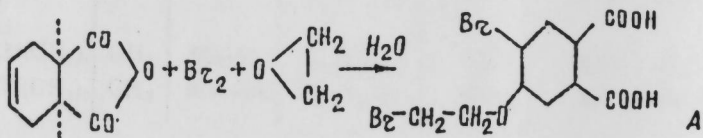
БИБЛIOГРАФИЧЕСКАЯ ЧАСТЬ  
СОВМЕСТНОЕ БРОМИРОВАНИЕ ТГФА С ОКСИРАНАМИ  
И. А. АСАДОВА, А. Л. ШАБАНОВА, А. С. КЯЗИМОВА,  
УДК. 547. 46:541. 124, 2

## ОРГАНИЧЕСКАЯ ХИМИЯ

Член-корр. М. М. МОВСУМЗАДЕ, А. Л. ШАБАНОВ, А. С. КЯЗИМОВ,  
З. А. САФАРОВА

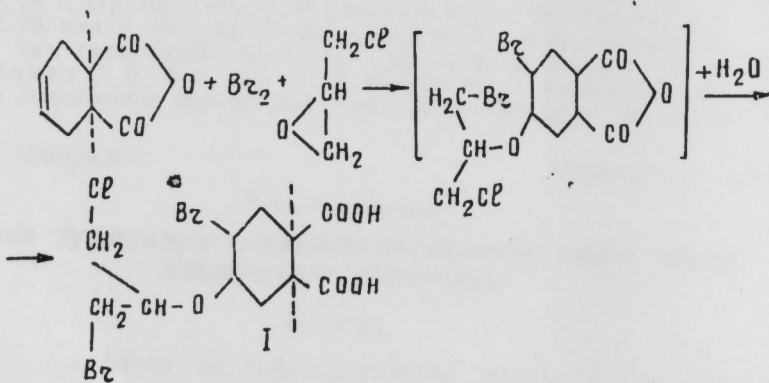
СОПРЯЖЕННОЕ БРОМИРОВАНИЕ  $\Delta^4$ -ЦИС-ТЕТРАГИДРОФТАЛЕВОГО И 4 МЕТИЛ- $\Delta^4$ -ЦИС-ТЕТРАГИДРОФТАЛЕВОГО АНГИДРИДОВ С ОКСИРАНАМИ

Ранее изучено сопряженное бромирование  $\Delta^4$ -цис-тетрагидрофталевого ангидрида с оксираном [1]. Установлено, что при этом бромэтоксилование двойной связи ангидрида протекает стереоспецифично. Атом брома, как правило, присоединяется со стороны ангидридного кольца, а  $\beta$ -бром-этоксигруппа — с противоположной

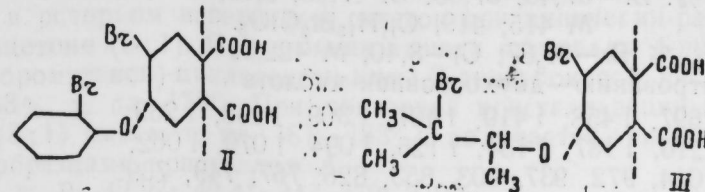


Такая же стерическая закономерность сохраняется при сопряженном бромировании  $\Delta^4$ -цис-тетрагидрофталевой кислоты с оксираном [1]. В связи с этим представляло интерес изучить сопряженное бромирование  $\Delta^4$ -цис-тетрагидрофталевого и 4-метил- $\Delta^4$ -цис-тетрагидрофталевого ангидридов с оксиранами. Продукты сопряженных реакций были выделены в виде дикарбоновых кислот.

Установлено, что при совместном бромировании  $\Delta^4$ -цис-тетрагидрофталевого ангидрида (ТГФА) с эпихлоридином с выходом ~75% образует продукт (I)



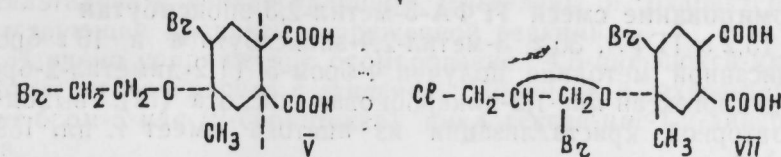
В отличие от эпихлоридина при совместном бромировании ТГФА с 1,2-эпоксициклогексаном выход продукта сопряженной реакции (II) значительно меньше



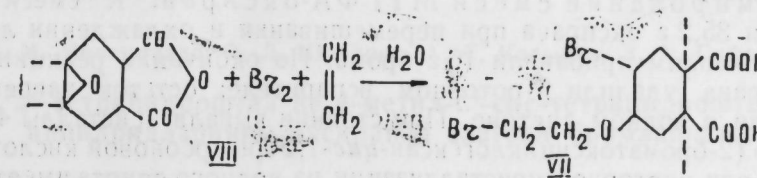
Такой же низкий выход продукта сопряженной реакции (III) получается при бромировании смеси ТГФА-3-метил-2,3-эпоксибутан.

В отличие от ТГФА 4-метил- $\Delta^4$ -цис-тетрагидрофталевый ангидрид (МТГФА) гладко вступает в реакцию сопряженного бромирования с оксиранами.

Установлено, что при бромировании смесей МТГФА-оксиран и МТГФА-эпихлоридин с хорошим выходом образуются продукты сопряженной реакции V и VI соответственно



С целью установления цис-расположения брома в (A) нами проведено сопряженное бромирование 4,5-эпокси-цис-тетрагидрофталевого ангидрида [2] с этиленом и получен геометрический изомер (VII)



Структуры синтезированных соединений установлены на основании данных элементарного анализа, потенциометрического титрования и изучением их ИК-спектров. При установлении структуры также учтены закономерности размыкания оксиранового кольца и порядок присоединения по двойной связи при сопряженном бромировании олефинов с оксиранами [3].

## ЭКСПЕРИМЕНТАЛЬНАЯ ЧАСТЬ

ИК-спектры сняты на спектрофотометре ИКС-14А, призмахлористый натрий. Молекулярный вес и основность синтезированных соединений определены титрованием их водноспиртовых растворов 0,01 н раствором щелочи.

**Бромирование смеси ТГФА-эпихлоридина.** К смеси 15,2 г (0,1 моль) ТГФА 74 г (0,8 моль) эпихлоридина при перемешивании и температуре 0–2° по каплям прибавили 16 г (0,1 моль) брома. По окончании реакции избыток эпихлоридина удалили в роторном испарителе; остаток растворили в минимальном количестве ацетона и прибавили воду до помутнения. При стоянии выпадают кристаллы 4-бром-5-(1-бромметил-2-хлорэтокси)-циклогексан-цис-1,2-

дикарбоновой кислоты (I), выход 75%. При повторной кристаллизации из водного ацетона имеет т. пл. 197—190° (разлаг.).

Найдено, %: Br—37,43; 37,38; Cl—7,95, 8,09;

M 415; 419,  $C_{11}H_{15}Br_2ClO_5$ .

Вычислено, % Br—37,87; Cl—8,40; M 422,5.

По титрованию—двуосновная кислота

$\nu, \text{см}^{-1}$ : 1697, 1458, 1419, 1407, 1309, 1298, 1269, 1216, 1187, 1154, 1126, 1094, 1079, 1062, 1014, 972, 937, 903, 853, 826, 767, 749, 739.

Бромирование смеси ТГФА-1,2-эпоксициклогексан

Из 15,2 г ТГФА, 30 г 1,2-эпоксициклогексана и 16 г брома по вышеописанной методике получен 4-бром-5 (2-бром-циклогексилокси)-циклогексан-*cis*-1,2-дикарбоновая кислота (II); выход—50%. При повторной кристаллизации из ацетона имеет т. пл. 166—167°.

Найдено, % Br 36,91; 37,02; M—425;  $C_{14}H_{20}Br_2O_5$

Вычислено, % Br 37,38; M—428.

По титрованию—двуосновная кислота.

$\nu, \text{см}^{-1}$ : 1698 (карбоксильные группы).

Бромирование смеси ТГФА-3-метил-2,3-эпоксибутан

Из 15,2 г ТГФА, 30 г 3-метил-2,4-эпоксибутана и 16 г брома по вышеописанной методике получен 4-бром-5 (1,2-диметил-2-бромпропокси)-циклогексан-*cis*-1,2-дикарбоновая кислота (III); выход—25%. При повторной кристаллизации из ацетона имеет т. пл. 159—161° (разлаг.).

По титрованию—двуосновная кислота.

$\nu, \text{см}^{-1}$ : 1695, 1700 (карбоксильные группы).

Найдено, % Br 37,99; 38,06; M 421;  $C_{13}H_{20}Br_2O_5$

Вычислено для  $C_{13}H_{20}Br_2O_5$ , %: Br 38,46; M 416.

Бромирование смеси МТГФА-оксиран. К смеси 16,6 г МТГФА и 35,2 г оксирана при перемешивании и охлаждении ледяной водой по каплям прибавили 16 г брома. По окончании реакции избыток оксирана удалили в роторном испарителе; остаток нагревали в растворите в водном ацетоне. При стоянии выпали кристаллы 4-бром-5-метил-5 (2-бромэтоксициклогексан-*cis*-1,2-дикарбоновой кислоты (V), которая при повторной кристаллизации из водного спирта имеет т. пл. 168—170° (разлаг.); выход 85—90%.

Найдено, % Br 41,35; 41,01; M 379, 389.

Вычислено для  $C_{11}H_{16}Br_2O_5$ , %: Br 41,24; M 388.

По титрованию—двуосновная кислота.

$\nu, \text{см}^{-1}$ : 1700, 1696, 1456, 1435, 1417, 1386, 1366, 1280, 1220, 1137, 1099, 1058, 997, 954, 927, 778, 695.

Бромирование смеси МТГФА-эпихлоргидрин. Аналогично из 16,6 г МТГФА и 74 г эпихлоргидрина и 16 г брома получен 4-бром-5-метил-5 (1-бром-метал-2-хлортокси)-циклогексан-*cis*-1,2-дикарбоновая кислота (VI), которая при повторной кристаллизации из водного ацетона (3:1) имеет т. пл. 193—195° (разлаг.); выход 80—82%.

Найдено, % Br 36,15; 36,21; Cl 7,85; 7,91; M 429, 438.

Вычислено для  $C_{12}H_{17}Br_2ClO_5$ , %: Br 36,65; Cl 8,13; M 436,5.

По титрованию—двуосновная кислота.

$\nu, \text{см}^{-1}$ : 1699, 1691, 1431, 1418, 1378, 1357, 1340, 1263, 1246, 1224, 1199, 1127, 1089, 1042,

993, 949, 921, 855, 776, 754, 718, 689.

перемешивании одновременно пропустили этилен и приkapывали 16 г брома в течение 1 ч.

По окончании реакции растворитель и образующийся дибромэтан удалили в роторном испарителе; остаток при кипячении растворили в водном ацетоне (3:1). При стоянии выпали кристаллы 4-*транс*-бром-5-*cis*-(2-бромэтокси)-циклогексан-*cis*-1,2-дикарбоновой кислоты (VII); выход—43%, т. пл. 178°. При повторной кристаллизации из водного ацетона (3:1) имеем т. пл. 181—183° и получается депрессия с заведомыми образцами кристаллов A.

Найдено, % Br 42,27; 42,41; M—379; 372.

Вычислено для  $C_{10}H_{14}Br_2O_5$ , %: Br 42,78; M 374.

По титрованию—двуосновная кислота.

$\nu, \text{см}^{-1}$ : 1701, 1694 (карбоксильные группы).

## Выводы

1. Изучено сопряженное бромирование  $\Delta^4$ -тетрагидрофталевого и 4-метил- $\Delta^4$ -тетрагидрофталевого ангидридов с окисями циклогексена, trimetilэтилена и эпихло гидрином. Выделены и охарактеризованы соответствующие продукты сопряженной реакции.

2. Изучено сопряженное бромирование 4,5-*cis*-эпокси-*cis*-тетрагидрофталевого ангидрида с этиленом. Получена и охарактеризована 4-*транс*-бром-5-*cis*-(2-бромэтокси) циклогексан-*cis*-1,2-дикарбоновая кислота.

## ЛИТЕРАТУРА

1. Мовсумзаде С. М. Автореф. канд. дисс. Баку, 1971. 2. Онищенко А. С., Шабанов А. Л., Кучеров В. Ф. Изв. АН ССР, т. 52, 1963. АзИНХ им. Азизбекова

Поступило 5. X 1973

М. М. Мөвсүмзадә, Э. Л. Шабанов, А. С. Қазымов, З. А. Сәфәрова

$\Delta^4$ -тетраидрофтал вә 4-метил- $\Delta^4$ -сис-тетраидрофтал  
ангиридләринин оксиранла әлагәли бромлашмасы

## ХУЛАСЭ

$\Delta^4$ -т. траидрофтал вә 4-метил- $\Delta^4$ -тетраидрофтал ангиридләринин  
тиси өнексен trimetilэтилен оксид, әри вә епихлоридринлә әлагәли  
бромлашмасы өјрәнилмишdir.

M. M. Movsumzade, A. L. Shabanov, A. S. Kyazimov, Z. A. Safarova

Conjugative of bromination of cis- $\Delta^4$ -cyclotetrahydrofthalic and  
4-metil- $\Delta^4$ -terrahdrofthalic anhydrides with oxiranes

## SUMMARY

It has been investigated of bromination of cis- $\Delta^4$ -cyclotetrahydrofthalic and 4-metil- $\Delta^4$ -terrahdrofthalic with ethylene oxide, cyclohexene oxide, propylene oxide and epichlorehydrine.

It was shown, that atoms of Sорom in products of reactions has  
cis-position.

РУДНЫЕ МЕСТОРОЖДЕНИЯ

Академик М. А. КАШКАЙ, Дж. А. АЗАДАЛИЕВ,  
М. М. САМЕДОВ, Г. И. АЛИЕВ

**О РТУТНОМ ОРУДЕНЕНИИ В ОРДУБАДСКОМ СИНКЛИНОРИИ  
И НЕКОТОРЫХ ОСОБЕННОСТЯХ ЕГО РАЗМЕЩЕНИЯ  
(ЮГ МАЛОГО КАВКАЗА)**

Ордубадский синклиниорий общеевразийского простираания со сложным его геологическим строением и тектоническим развитием характеризуется, наряду с осадочными и вулканогенно-осадочными образованиями, широким проявлением эфузивного и интрузивного магматизма, сопровождающегося орогенным различными рудными инерудными полезными ископаемыми, в числе которых раньше было лишь упомянутое нахождение киновари в шлихах аллювия.

За последнее десятилетие А. С. Касимов (1963), А. Н. Мусаев, Г. И. Алиев, Ш. Г. Гаджиев (1964) и А. Г. Раев (1972) в геологических отчетах отметили наличие ртути в среднем и верхнем течениях рр. Алинджачай и Гиланчай.

В настоящей же статье приводятся некоторые данные о проявлениях ртути, выявленные нами в районах Дарыдагского поднятия (горы Дикдаш и Кесандаг), нижнего течения р. Гиланчай (горы Карагулхана и Джадзур, с. Бехрут), с. Гяль, р. Башкенчай, сс. Кюки, Ремешен, Зыриель и Кишлак. Наряду с этими нами ртуть установлена в термальных и субтермальных минеральных водах Дарыдага, Вайхыра, Нагеджира и др. В этих водах также были установлены  $B_2O_3$  соответственно 650—1240, 150—165 и 214 мг/л. В Бадамлинской группе минеральных вод  $B_2O_3$  составляет 6,5—51,8 мг/л, Сирабской группе—18,7 мг/л, Лякялагской—17,8—19,4 мг/л, Казанчинской группе—29,2—32,4, Хошкешинской—34—160 мг/л, Аразинском источнике—17,8, Дараликском—29,2 мг/л. Спектральными же анализами выявлено повышенное аномальное содержание (0,02—0,05%) борного ангидрида по многочисленным пробам из различных литологических разновидностей и пачек вулканогенных, вулканогенно-осадочных образований верхнеолигоцен-нижнемиоценового возраста, развитых в районе с. Хачапараг—г. Каширдаг—г. Асалкяф.

На участках проявлений ртутной минерализации развиты отложения палеоценена, эоцена, олигоцена, миоцена и плиоцена, представленные известняками, известковистыми песчаниками, мергелями, аргиллитами, туфопесчаниками, туфогравелитами, туфобрекчиями, покровами андезито-базальтов и их пирокластолитами и слагающие синклинальные и анти-

клинальные складки северо-западного направления второго порядка, которые усложнены крупными и относительно мелкими разрывными нарушениями различных направлений. Роль этих разрывов в отношении ртутного оруденения велика, особенно в районах развития субвулканических андезито-дацитов, с которыми, по-видимому, генетически связана ртутная минерализация. Проявления ртути приурочены к тем разрывным нарушениям, вдоль которых гидротермально-измененные зоны размещаются именно в антиклинальных и брахиантеклинальных структурах. Так, Дарыдагское ртутно-сульфурно-мышьяковое проявление приурочено к Дарыдаг-Хандживаарской антиклинали; Кюкинская группа (сс. Кюки, Ремешен, Зыриель, Кишлак и др.)—к Колачайской; Башкендское—к Карагуш—Башкендской; Гиланчайское (гг. Карагулхана и Джадзур, с. Бехрут и др.)—к Дастан-Кутанкдагской; Гяльское—к Корухлар-Ханагинской антиклиналям и т. д.

В ядре Дарыдаг-Хандживаарской антиклинали северо-западного направления выступают сильно перемятые разрывными нарушениями терригенно-осадочные отложения палеоценена, а на крыльях—породы эоцена, которые усложнены дополнительной мелкой, быстrozатухающей складчатостью последнего порядка. К сводовой части антиклинали приурочен крупный Дарыдагский разлом глубокого заложения СЗ направления (падение на СВ  $\angle 60-75^\circ$ ), прослеженный на 20 км и состоящий из нескольких параллельных, иногда сочленяющихся разрывов и зон дробления. От основного разлома ответвляются многочисленные оперяющие разрывы того же направления, а на него наложены более поздние попечевые разрывные нарушения с углами падения их на юго- и северо-запад.

В пределах Ордубадского синклиниория, в частности Дарыдагской брахиантеклинали по возрасту и направлению выделяются главным образом две системы разрывных нарушений, представляющих определенный интерес с точки зрения участия их в мышьяково-сульфурном оруденении.

1. Разрывы северо-западного направления (падение на СВ и ЮЗ  $\angle 60-70^\circ$ ) вдоль Дарыдагского разлома в сводовой и периферийной частях брахиантеклинали, антиклинали в полосе пос. Союзмышияк—горы Кесандаг—горы Дарыдаг, имеющей наибольшую протяженность с резко выраженными нарушениями.

2. Разрывы северо-восточного, субширотного и субмеридионального направлений сбросового, сбросово-сдвигового характера, пересекающие вышеуказанные складчатые структуры, проявляющиеся преимущественно на участках дарыдагских минеральных источников, пос. Союзмышияк, южнее горы Дарыдаг и др. К пересечению северо-западных разрывов с северо-восточными и субширотными приурочены ныне действующие мышьяковистые бороносные термальные минеральные источники.

Эти две системы разрывных нарушений, выделенные на примере Дарыдагского поднятия, развиты в той или иной степени в пределах всех вышеперечисленных ртутоносных антиклиналей. Кроме того, на всех минерализованных участках срудение приурочено в большинстве случаев к узлам пересечения указанных двух направлений разломов. Вдоль указанных тектонических линий разломов оруденение распределено весьма неравномерно; причем обогащенные участки приурочены к местам сближения и узлам пересечения систем трещин. В Дарыдагском месторождении нами установлены четыре рудных тела (ранее было известно лишь одно, в котором не отмечалась, а теперь обнаружена). Протяженность их от 90 до 200 м, мощность—1,5—2 м и содержание полезных компонентов: сульфиды—5,5—8—10%, ртуть—0,002—0,4%, иногда больше. Рудные тела, имеющие форму линзообразных жил, представлены гидротермально измененными

зоны—осветленными, кальцитизированными, хлоритизированными, каолинизированными, скремиенными, брекчированными слабо пиритизированными породами, сцементированными глинистыми материалами и с оруденением в виде прожилков мощностью до 2–3 км, вкрапленников, гнезд и примазок. В минералогическом составе руды принимают участие антимонит, рефельгар, ауропигмент, пирит, киноварь, незначительно сфалерит, арсенопирит, сидерит, из нерудных минералов кальцит, гипс, арагонит, кварц, каолинит, ивакрит, диккит из гипогенных—гидроокислы железа, сложный комплекс минералов сурьмы (валентинит, серванит, стибиконит)—всё таков неполный перечень минерального состава рудных тел.

Интересно отметить вертикальную зональность оруденения в Дарыдагском ртутно-сурьмяно-мышьяковом месторождении, где в верхних горизонтах подавляющим развитием пользуется мышьяковое оруденение с сурьмой, а с глубиной содержание мышьяка, уменьшаясь, исчезает, появляется ртутно-сурьмяная минерализация. По видимому, еще ниже содержание ртути увеличивается.

При исследовании дарыдагских бороносных мышьяковистых минеральных и термальных источников, приуроченных так же, как и ртутное оруденение к пересечению Дарыдагского разлома с северо-восточными и субширотными разрывами, нами установлено наличие повышенных содержаний ртути во всех 49 пробах вод—0,01–0,05 мг/л. Она была установлена нами также и в водах минеральных источников участков Веххыр и Нагаджир (0,01–0,02 мг/л). Ртуть на других участках распределена следующим образом.

Башкендское проявление ртути расположено в 7–8 км к северо-востоку от с. Ханага в бассейне р. Башкендчай. Здесь субвуликаны андезито-дацитов приурочены к ядру Каравгуш-Башкендской антиклинали.

Поле пересечения различных направлений разрывов образует зоны раздробленных гидротермально измененных пород с сульфидной минерализацией. На одной мощной рудной зоне северо-западного направления мощностью 15–18 м, где сульфидная минерализация представлена прожилками и мелкими вкрапленниками рефельгара, содержание же ртути до 0,027%, сурьмы—0,02% и мышьяка до 1%. Эта зона изучена слабо.

Кюкунское проявление ртути в верховье р. Кюки располагается между с. Кюки, Зыриель и Ремешен. Здесь широко развиты зоны гидротермально-измененных пород, приуроченные к двум системам разломов. Одна из них северо-восточного направления мощностью 6–6 м и протяженностью 600–700 м. На участке между с. Арындж и Аниги Ремешен у левого берега р. Кюки содержание ртути в четырех геохимических пробах, взятых из этой зоны, равно 0,15–0,2%, и в пяти—0,001–0,03%. Другая зона (окварцованием, пиритизированная) с юго-западного направления шириной 125 м расположена среди андезито-дацитов, где в районе с. Зыриель содержание ртути достигает 0,001%. Вдоль разломов этого направления в районе с. Кюки андезито-дациты на протяжении 30–50 м сильно изменены—осветлены и лимонитизированы. Анигиз отобранных здесь 12 гидрохимических проб показали содержание ртути до 0,018%.

Гиланчайское проявление в среднем течении одноименной реки в 2 км к северу от с. Башдза расположено в сводовой части Цисто-Кутандагской антиклинали (районы Гиланчай, горы Каравулхана, Джиддур и с. Вехрут). Здесь обнаружено несколько гидротермально измененных зон. В частности, на участках Каравулхана, где эти зоны прослежены до 300 м, содержание ртути достигает 0,02%, и в остальных—0,008%.

## Выводы

1. В Ордубадском синклиниории выявлено высокое, местами промышленное содержание ртути, что заслуживает серьезного внимания. Все выявленные ртутные проявления находятся почти в пределах антиклинальной синклиниории.

2. Ртутные минерализации размещены в полосе развития разломов и субвуликанических тел андезито-дацитового состава, с которыми, возможно, генетически связано ртутное оруденение.

3. Оруденение строго приурочено к разрывным нарушениям северо-западных и северо-восточных направлений, а также к узлам их пересечения в виде отдельных гидротермально-измененных зон. Среди дизъюнктивных нарушений особое место занимает Дарыдагский глубинный разлом северо-западного направления протяженностью около 20 км, состоящий из нескольких параллельных, иногда сочленяющихся разрывов и зон дробления.

4. Установлена высокая концентрация ртути в водах бороносных минеральных источников, что позволяет ставить вопрос о комплексном извлечении из них бора, ртути и мышьяка.

5. Наличие высоких содержаний ртути в гидротермально-измененных зонах и минеральных источниках позволяет уверенно говорить о широкой зараженности Ордубадского синклиниория этим металлом и дает основание считать регион перспективным в отношении поисков на ртуть.

Институт геологии

Поступило 23. II 1974

М. А. Гашкај, Ч. А. Азадалиев, М. М. Самедов, Н. И. Аллыев

Ордубад синклиниоринидэ чивә филизләшмәсн вә онун  
јөрләшмәснин бә'зи хүсусијәтләрни һагыйда

(Кичик Гафгазын чәнубу)

## ХУЛАСӘ

Ордубад синклиниоринидэ чивә филизләшмәснин илк дәфа мүәллифләр мүәјҗән «тмишләр». Мәғәләлә аұры-аұры саңәләрда чивәнни мегдары көстәрilmиш вә чивә филизләшмәснин јөрләшмәснин бә'зи хүсусијәтләрниң бә'зе едилемшилдир. Енни заманда көстәрилгән ки, термал вә субтермал минерал сularында чивәнни вә борын олмасыны илк дәфа мүәллифләр мүәјҗән «тмишләр».

М. А. Kashkaï, J. A. Azadallyev, M. M. Samedov, N. I. Allyev

On the quicksilver mineralization in Ordubad synclinorium  
and some peculiarities of its distribution (south of  
smaller caucasus)

## SUMMARY

The occurrence of quicksilver mineralization in Ordubad synclinorium was primarily discovered by the authors. The quicksilver content of different parts of the area and the distribution pattern of mineralization are discussed in the present paper. It is also shown that the presence of quicksilver and boron in thermal and subthermal waters was primarily discovered by the authors.

УДК 551. 491

ГИДРОГЕОЛОГИЯ:

д. м. СУЛЕЙМАНОВ, в. л. ЛИСТЕНГАРТЕН

**О МИНЕРАЛИЗОВАННЫХ ПОДЗЕМНЫХ ВОДАХ ЧЕТВЕРТИЧНЫХ  
ОТЛОЖЕНИЙ КУРИНСКОЙ ДЕПРЕССИИ**

(Представлено академиком АН Азербайджанской ССР А. А. Якубовыи)

Водоснабжение многих районов, испытывающих сейчас острый дефицит в пресной воде, через несколько десятилетий будет осуществляться за счет опреснения соленых морских, подземных и дренажных вод. Это связано с созданием двухцелевых атомных электростанций, которые позволяют значительно снизить стоимость опресненной воды. Большинство действующих за границей опреснительных установок используют океаническую воду (минерализация 35 г/л). В СССР наиболее перспективным является опреснение вод внутренних морей (в том числе Каспийского), соленых, а особенно солоноватых подземных вод.

В Азербайджане основным районом, где будет целесообразно использовать для опреснения минерализованные подземные воды, явится территория Куринской депрессии. Однако, если распространение и условия залегания пресных и слабосолоноватых вод на этой площади изучены достаточно детально [2,3 и др.], то данные о соленых водах и рассолах разбросаны в большом количестве литературных, фондовых и архивных источников. В этой связи выполненная авторами систематизация материалов о данных водах, определение горизонтов минерализованных подземных вод, эксплуатация которых будет наиболее целесообразна с гидрогеологической и экономической точек зрения, а также проведенное районирование территории депрессии представляют несомненный интерес.

Куринская депрессия является равниной с хорошо выраженным уклоном местности от предгорий к р. Кура и слабым уклоном на юго-восток, в сторону моря. Прибрежные части депрессии сложены отложениями слившихся между собой конусов выноса, центральную зону занимает аллювиальная низменность р. Куры. Неоднократные трансгрессии и регрессии Каспийского моря обусловили чередование на низменности морских и континентальных отложений, а смена крупнообломочных пород глинистыми создала условия для образования в верхнеплиоценовых и четвертичных отложениях, помимо грунтовых, три горизонта напорных вод [3]. Грунтовые воды на большей части низменности залегают на глубинах до 5—10, а часто лишь до 1—3 м и менее. Общая минерализация их возрастает от предгорий к морскому побережью, доходя до 100—140 г/л.

Напорные водоносные горизонты на территории депрессии распространены очень широко. Водосодержащие породы к центру низменности и с северо-запада на юго-восток значительно уменьшают свою зернистость и проницаемость. В соответствии с этим уменьшаются коэффициенты фильтрации пород, дебиты скважин при самоизливе и удельные дебиты. Общая минерализация напорных вод колеблется от 0,2 до 60—70 г/л, изредка более.

Особенностью бассейна подземных вод Куринской депрессии является его практическая бессточность. Напорные воды, пьезометры которых лежат часто намного выше поверхности земли, в центральной и юго-восточной частях депрессии разгружаются преимущественно путем вертикального протекания в вышележащие горизонты, а грунтовые воды — путем интенсивного испарения с их зеркала. Это явление приводит к сильному засолению почвогрунтов, которое часто еще осложняется вторичным их засолением в процессе орошения. Улучшение мелиоративного состояния земель в таких районах может быть достигнуто лишь путем применения вертикального дренажа (обычно в комбинации с горизонтальным), который может быть осуществлен откачкой из напорных вод с дебитами столь значительными, что они позволили заметно снизить пьезометрические напоры и прекратить напорное питание грунтовых вод.

Таким образом, использование солоноватых и соленых подземных вод будет иметь двойной эффект: во-первых, резко увеличатся ресурсы вод, пригодных для водоснабжения и орошения — к пресным и слабосолоноватым водам добавятся воды опресненные, во-вторых, в связи с интенсивной добычей высоконапорных вод, произойдет вертикальное дренирование грунтового горизонта, что приведет к значительному улучшению мелиоративного состояния территории.

Таблица 1  
Расчетные максимально возможные дебиты водозаборов минерализованных подземных вод

Водоносные горизонты	Расчетные максимально возможные дебиты, л/сек			
	одиночных водозаборов групповых водозаборов		От—до	Преобладаю- щие по площа- ди значения
	От—до	Преобладаю- щие по площа- ди значения	От—до	Преобладаю- щие по площа- ди значения
Грунтовые воды				
I напорный горизонт	0,0—4	Менее 1	0,1—76	1—10
II напорный горизонт	0,1—148	1—10	0,4—623	10—100
III напорный горизонт	0,6—146	10—50	3—614	10—500
	1,9—490	10—50	8—2057	10—200

Возможности использования солоноватых и соленых вод тех или иных водоносных горизонтов определяются, наряду с величиной сухого остатка, типом химического состава и, особенно, их ресурсами. Последние подсчитывались [1] в виде возможных дебитов эксплуатационных водозаборов — одиночных и групповых, по формуле Дюпон. При этом использовались гидрогеологические параметры, полученные по фактически пробуренным и опробованным скважинам. Величина эксплуатационного понижения принималась для грунтовых вод равной половине мощности горизонта, а для напорных — высоте напора над кровлей пласта, но не более 100 м. Расчет водозаборов производился без учета их взаимовлияния и влияния границ фильтрационного потока. Результаты подсчетов сведены в табл. 1. Из нее видно, что расчетные максимально возможные

дебиты водозаборов колеблются по территории депрессии в значительных пределах, причем максимальные значения зарегистрированы для II напорного водоносного горизонта. Суммарные (из всех водоносных горизонтов) расчетные дебиты групповых водозаборов колеблются по площади изменности от 0,2—0,8 (в прибрежной зоне, где напорные воды не изучены) до 1950 л/сек (на Араксинском конусе выноса). На большей части площади они варьируют в пределах 100—500 л/сек.

Таблица 2

Средняя стоимость добычи и опреснения подземных вод разных водоносных горизонтов

Водоносные горизонты	Стоимость 1 м <sup>3</sup> опресненной воды, руб.
Грунтовые воды	0,96—9,68
I напорный горизонт	0,12
II напорный горизонт	0,15
III напорный горизонт	0,17

При определении возможности использования минерализованных подземных вод после их опреснения первоочередное значение приобретает вопрос о стоимости получаемой воды. В связи с этим, по каждому из вскрытых водоносных горизонтов, для 8—10 пунктов, равномерно распределенных по территории, была подсчитана стоимость добычи и опреснения 1 м<sup>3</sup> воды. При этом учитывалась стоимость буровых работ, оборудования скважин и эксплуатационные расходы. Стоимость опреснения воды в зависимости от ее минерализации и производительности установки определялась по литературным материалам. Результаты расчетов приведены в табл. 2, из которой видно, что средняя стоимость добычи и опреснения 1 м<sup>3</sup> воды изменяется от 12 до 96 копеек и более. При этом наибольшая стоимость отмечается для грунтовых вод, что связано с большими (по сравнению с напорными водами) значениями общей минерализации и малой производительностью этого горизонта.

В основу гидрогеологического районирования территории Куриńskiej депрессии с целью оценки возможностей использования подземных вод повышенной минерализации положены два основных параметра— общая минерализация и суммарные (для всех водоносных горизонтов) максимально возможные дебиты групповых водозаборов минерализованных подземных вод. В привершинных и центральных частях конусов выноса Кировабад-Казахского массива, Карабахской, западной части Мильской степей и в привершинных частях Геокчайского конуса выноса развиты преимущественно только пресные воды. На остальной части Куринской депрессии выделено пять гидрогеологических районов (табл. 3, рисунок). Первый и второй районы, охватывающие соответственно прикуринскую зону Карабахской, противолежащую ей часть Ширванской степи, центральные части Араксинского конуса выноса, характеризуются развитием как пресных, так и минерализованных вод. Остальные районы, охватывающие преимущественно центральные и восточные части изменности, содержат лишь минерализованные воды, причем суммарная (для всех горизонтов) производительность групповых водозаборов в восточном направлении уменьшается в основном за счет сокращения количества разведанных в этом районе водоносных горизонтов.

Выполненная работа показала, что минерализованные подземные воды Куринской депрессии в недалеком будущем могут стать важным дополнительным источником водоснабжения населенных пунктов и сельского хозяйства этой территории. При этом основным эксплуатационным

Таблица 3.

Гидрогеологическое районирование Куринской депрессии по возможностям использования подземных вод четвертичных отложений

Районы	Суммарная (для всех горизонтов) производительность групповых водозаборов минерализованных подземных вод	Грунтовые воды			Напорные воды			Оценка районов по возможностям использования минерализованных вод
		I в. г.	II в. г.	III в. г.	I в. г.	II в. г.	III в. г.	
I	1—500, чаще 10—500	1—35 и более	До 5 1—10	До 1 10—500	До 1 1—100	3—15 10—500	До 1 100—500	При недостаточности ресурсов пресных вод грунтового и напорного горизонтов, целесообразно использование солоноватых и соленых вод II и III горизонтов.
II	10—200	До 35 До 1 До 1	До 10 1—50 10—200	До 10 1—50 10—200	3—15 10—500	1—3 10—500 100—500	До 1 10—100	Целесообразно использование всех водоподъемных горизонтов.
III	До 100	1—35 До 1 1—10	10—15 1—10	До 15 1—50 До 100	До 15 1—50 До 100	1—35 1—100	До 1 10—100	При недостаточности ресурсов пресных вод грунтового и напорного горизонтов, целесообразно использование солоноватых и соленых вод II и III горизонтов.
IV	10—500 и более ч < 100 500	1—35 и более	3—35 и более	3—35 и более	3—35 и более	1—35 1—100	1—35 и более	Целесообразно использование вод всех напорных горизонтов с минерализацией до 12—13 г/л, т.е. меньшей, чем вод Каспийского моря
V	До 100	1—35 и более	3—35 и более	3—35 и более	3—35 и более	1—35 и более	1—35 и более	
		До 1 До 10	До 50 До 200	До 50 До 200	До 50 До 200	10—50 10—100	10—50 10—100	

горизонтом будет I напорный водоносный горизонт. Как следствие (немаловажное и само по себе) это приведет к интенсивному вертикальному дренажу грунтовых вод и общему мелиоративному оздоровлению земель депрессии.

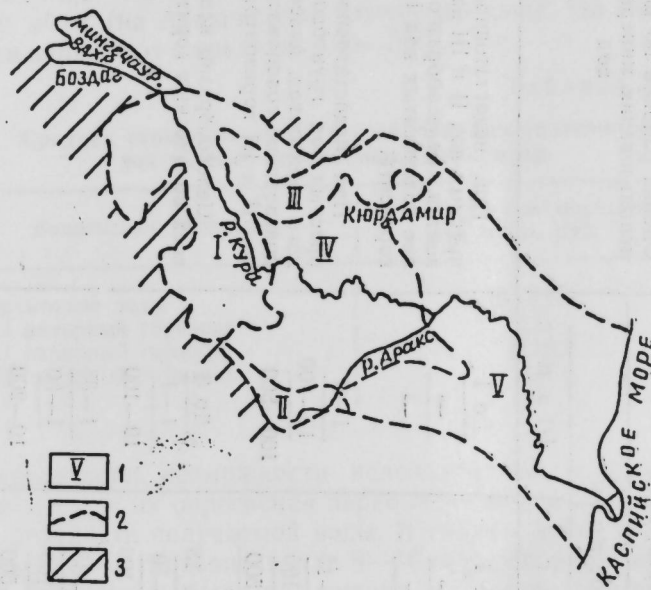


Рис. 1. Районирование Куринской депрессии по возможностям использования минерализованных подземных вод четвертичных отложений; 1—номера гидрогеологических районов; 2—границы между районами; 3—площади на которых распространены только пресные подземные воды.

#### ЛИТЕРАТУРА

- Листенгартен В. А. Объяснительная записка к картам минерализованных подземных вод Кура-Араксинской низменности Азербайджанской ССР. Баку, 1969, Азгеофонд.
- Сулейманов Д. М., Мусаев А. А., Исафилов Г. Ю. Гидрогеологические условия Малого Кавказа и прилегающих к нему районов. Кура-Араксинская низменность. «Геология Азербайджана», т. VII. «Гидрогеология», Изд-во АН Азерб. ССР, Баку, 1961.
- Фиалко Е. Р. Характеристика водоносных горизонтов и комплексов по геологическим структурам. Куринская депрессия. «Гидрогеология СССР», т. XII. «Азербайджанская ССР», «Недра», М., 1969.

Институт геологии  
им. акад. Н. М. Губкина

Поступило 12. V 1971

Ч. М. Сулејманов, В. А. Листенгартен

Күр вадиси Дөрдүнчү дөвр чөкүнгүләринин јералты  
дузлу сулары һагында

#### ХУЛАСЭ

Күр вадисинин өјрәнилмиш јералты дузлу суларынын јенидән ширниләшdirilmәси су тәчhизаты үчүн әлавә су мәнбәji ола биләр. Һидроеколожи вә итисади чәhәтдән биринчи тәэjигли су горизонту кәләчекдә әсас су тәчhизаты үчүн истишмар олунға биләчек мәнбәдир.

D. M. Suleymanov, V.A. Listengarten

#### On the mineralized underground waters from Kura depression quaternary sediments

##### SUMMARY

Mineralized underground waters of Kura depression which might be used as an important additional water supply source after being freshened have been studied here. Hydrogeological and economical perspective estimations of these waters usage showed that the I water-bearing pressure horizon would be the main operating horizon.

Этот метод разработки нефтяных и газовых месторождений предполагает, что в процессе разработки месторождения в каждом пласте оптимально управлять динамикой скважин, находящихся в этом пласте, с учетом их взаимодействия. Для этого вводится определение скважин, находящихся в каждом пласте, и оптимальное управление динамикой скважин в каждом пласте.

УДК 622. 279. 1/4

## РАЗРАБОТКА НЕФТИНЫХ И ГАЗОВЫХ МЕСТОРОЖДЕНИЙ

М. Т. АБАСОВ, Д. А. БАБАЕВ, Э. М. КАРАЕВА,  
Ф. Г. ОРУДЖАЛИЕВ, Е. И. ПЕТРУШЕВСКИЙ

## ОПТИМАЛЬНОЕ УПРАВЛЕНИЕ ДИНАМИКОЙ ДЕЙСТВУЮЩИХ СКВАЖИН В ПЛАСТАХ ПРИ РАЗРАБОТКЕ МНОГОПЛАСТОВОГО ГАЗОВОГО МЕСТОРОЖДЕНИЯ\*

Рациональная разработка многопластовых месторождений нефти и газа — это сложный технологический процесс, связанный с правильным выбором принципов разработки месторождения в целом, методов эксплуатации продуктивных пластов, с обеспечением максимально возможных коэффициентов использования запасов топлива, не необходимых темпов отбора его во времени и наилучших технико-экономических показателей рассматриваемого процесса.

В настоящей работе рассматривается задача об оптимальном управлении процессом разработки многопластового газового месторождения определением динамики фонда действующих скважин в пластах с учетом глубин залегания последних, разновременности ввода скважин из бурения и их возврата в вышележащие пласти. За критерий оптимальности при этом принимались удельные приведенные затраты. Полученное решение предполагало наличие у всех "п" объектов эксплуатации, либо у части из них, совмещенной в плане площади, отсутствие гидродинамической связи между горизонтами.

## МАТЕМАТИЧЕСКАЯ МОДЕЛЬ

В рассматриваемых условиях отбор газа из пласта является функцией накопленного с начала разработки количества скважино-лет эксплуатации [1].

$$Q_i = f(x_i), \quad (1)$$

где  $Q$  — добыча с пласта  $i$ ,

$x_i$  — число скважино-лет эксплуатации в пласте  $i$ .

Теоретические исследования, а также [изучение материалов эксплуатации реальных месторождений показывают, что зависимость (1) является вогнутой функцией.

В соответствии с вышеприведенным, управляющими функциями в настоящей работе принимаются

\* Основные положения настоящей работы были доложены на III Всесоюзном совещании по оптимальному управлению многосвязными системами М., 1973.

$U_{it}(t)$  — количество скважин, пробуренных в  $i$ -й пласт в момент времени  $t$ ,

$U_{ij}(t)$  — количество скважин, возвращенных с  $i$ -го пласта в  $j$ -й в момент времени  $t$ .

Величины  $x$ , которые представляют собой фазовые переменные, выражаются через  $U_{it}(t)$  и  $U_{ij}(t)$ .

Рассматривается задача оптимального управления разработкой месторождения в промежутке времени  $[0, t]$ , обеспечивающая минимум приведенных затрат на единицу суммарной добычи газа. Эксплуатационные и капитальные затраты состоят из слагаемых, пропорциональных количеству скважин, количеству скважино-лет эксплуатации и объему добычи.

В целях построения модели, позволяющей применение эффективных численных методов, вводится дискретное время: промежуток  $[0, t]$  разбивается на  $T$  периодов ( $k = 1, \dots, T$ ), продолжительностью  $\Delta t_k$ . Тогда любая функция  $\varphi(t)$  заменяется на ступенчатую функцию, которая характеризуется совокупностью  $T$  неизвестных  $\varphi_k$ , представляющих собой функции в периоды  $k$ . Величины  $T$  и  $\Delta t_k$  выбираются из требования к точности и ограничений на размерность модели при поиске численного решения.

При построении дискретной модели предполагается, что а) вновь пробуренные скважины вступают в строй в середине периода, б) возврат осуществляется в начале периода, при этом время, потребное для осуществления возврата, пренебрежимо мало.

Тогда математическая модель задачи имеет вид:

$$\frac{1}{\sum_{i=1}^n Q_{it}} \left[ \alpha_1 \sum_{i=1}^n x_{it} + \alpha_2 \sum_{i=1}^n \sum_{k=1}^T U_{ik} + \alpha_3 \sum_{i=1}^n Q_{it} \right] \rightarrow \min \quad (2)$$

$$Q_{ik} = f_i(x_{ik}); i, k \sim, \quad (3)$$

$$x_{ik} = x_{i0} + \tau_i U_{i0} t_{ik} + \tau_i \sum_{q=1}^k U_{iq} \left( t_{qk} - \frac{1}{2} \Delta t_q \right) + \\ + \tau_i \sum_{l=i+1}^n \sum_{q=1}^{k-1} U_{elq} t_{qk} + \tau_i \sum_{j=1}^{i-1} \sum_{q=1}^k U_{ljq} t_{qk}; i, k \sim, \quad (4)$$

$$\sum_{i=1}^n Q_{ik} \geq \Pi_k, k \in I_k \subset \{1, \dots, T\}, \quad (5)$$

$$\left. \begin{array}{l} \sum_{i=1}^n \tau_i U_{ik} - w_{k-1} + w_k < \beta n_k \Delta t_k \\ w_k < n_k \min_i (\max \tau_i, \Delta t_k) \end{array} \right\}, k \sim, \quad (6)$$

$$\sum_{q=0}^{k-1} U_{iq} + \sum_{i=1}^n \sum_{q=1}^{k-1} U_{elq} - \sum_{j=1}^{i-1} \sum_{q=1}^k U_{ljq} \geq 0, \quad (7)$$

$$i \geq 2, k \sim, \quad (8)$$

$$U_{ik}, U_{ljk}, w_k \geq 0,$$

$$i, j, k \sim.$$

Здесь  $\alpha_1, \alpha_2, \alpha_3$  — постоянные;  
 $U_{i0}$  — количество скважин, действующих в пласте  $i$  к началу разработки;  
 $x_{i0}$  — количество скважино-лет, накопленных в пласте  $i$  к началу разработки;

$t_i$ —средний коэффициент эксплуатации;  
 $\tau_i$ —время бурения скважин в пласте  $i$ ;  
 $n_k$ —располагаемое количество станков для бурения в  
 $k$ -й период;  
 $\theta$ —коэффициент использования станков.

Соотношение (4) записано для наиболее часто встречающегося на практике случая, когда возврат скважин осуществляется лишь на вышележащие пласти. Условия (5)–(7) выражают следующие требования: (5)—объем добычи с месторождения к концу некоторых заданных периодов должен быть не менее установленного плана  $P_k$ ; (6)—ограничения на объем бурения; (7)—в каждый период  $k$  число возвращаемых с пласта скважин не должно превышать число имеющихся.

### МЕТОДЫ РЕШЕНИЯ

В силу вогнутости функций  $f_i(x_i)$  и линейности (4) величины  $C_{ik}$  представляют собой вогнутые функции управляющих переменных  $U_{ik}$  и  $U_{ijk}$ , а область допустимых решений (3)–(8) является выпуклой. Целевая функция с точностью до постоянного слагаемого  $a_3$  представляет собой отношение линейной и выпуклой функции

$$\frac{1}{\sum_{i=1}^n Q_{iT}} \left[ a_1 \sum_{i=1}^n x_{iT} + a_2 \sum_{i=1}^n \sum_{k=1}^T U_{ik} \right] \rightarrow \min$$

Из (2) и (5) видно, что вогнутые функции, представляющие собой левые части условий (5) и знаменатель целевой функции являются сепарабельными по  $i$ . Учитывая это, каждую вогнутую функцию  $Q_{ik} = f_i(x_{ik})$  в интервале  $[0, \bar{x}_{ik}]$ , где  $\bar{x}_{ik}$  максимально возможное значение  $x_{ik}$ , полученное предварительной оценкой, можно заменить вписанной ломаной.

После этой замены задача (2)–(8) превращается в задачу дробно-линейного программирования, часть переменных которой должны удовлетворять дополнительному условию [3]. Можно показать, что задачу (2)–(8) можно решать как обычную задачу дробно-линейного программирования. Это следует понимать в том смысле, что среди оптимальных решений указанной задачи дробно-линейного программирования имеется хотя бы одно, которое удовлетворяет указанному дополнительному условию. Поставленная задача может быть решена одним из методов дробно-линейного программирования, например, прямым методом [4], сведением к задаче линейного программирования [5] или одним из методов решения общей задачи дробного программирования [2].

Приведенная здесь постановка была опробирована на одном из многопластовых газовых месторождений, состоящем из пяти продуктивных пластов с различными запасами газа и геолого-эксплуатационными характеристиками. Для простоты пласти считались однородными, а газ идеальным. Режим эксплуатации скважин в течение всего срока разработки делился на две части: на работу их с обеспечением постоянного перепада давления в скважинах каждого пласта вначале и с постоянным устьевым давлением с момента падения его до некоторого минимально допустимого уровня. Срок разработки  $t = 25$  лет был разбит на 13 периодов. Модель (2)–(8) содержала 321 неизвестную и 87 ограничений. Решение для различных вариантов было получено сведением к задаче линейного программирования [5] и методом работы [2].

### ЛИТЕРАТУРА

- Абасов М. Т. Гидродинамические исследования разработки газонефтяных и газоконденсатных месторождений. Теория и практика добычи нефти (Ежегодник), Изд-во "Недра", 1968.
- Бабаев Д. А. Об общей задаче дробного программирования. Труды VI всесоюзной зимней школы по математическому программированию. Дрогобыч, 1973.
- Хедли Дж. Нелинейное и динамическое программирование. "Мир", М., 1967.
- Шварцман А. П. Об одном алгоритме дробно-линейного программирования. Экономика и математические методы, № 4, 1965.
- Degman R. On sequential decisions and Markov chains. Management science, vol. 9, № 1, 1961.

Институт проблем глубинных  
нефтегазовых месторождений

Поступило 27. VII 1973

М. Т. Абасов, Д. А. Бабаев, Е. М. Гараева,  
Ф. Г. Оруджалиев, Е. И. Петрушевский

### Чохлајлы газ јатагларында истисмар гүјулары фондуунун динамикасынын оптимал идарә едилмәси

#### ХУЛАСЭ

Мәгәләдә истисмар гүјулары фондуунун динамикасыны (бу гүјуларын јухары лајларда көчүрүлмәси вә газмадан мұхтәлиф вахтларда тәннил алынmasы несаба алынмагла) тә'жин етмәкәлә чохлајлы јатагларын ишләнмә просесинин оптимал идарә олунмасына даир мәсәләје бағыты.

Хүсуси кәтирилмиш хәрчләр просесин оптималлыг критеријасы кими гәбул олунмуштур.

Лајлар түкәнмә режиминде ишләмиш вә бунун үчүн ашағыдағы мәңдудијәтләр нәзәрәт тутулмуштур:

а) јатагын ишләнмә мүддәти бурахылз билән мүддәтдән чох олмамалыдыр;

б) һәр һансы аралыг дәвр үчүн јатагдан чыхырылмыш газын үмуми һәчми верилән һәвидән аз олмалыдыр.

Мәсәлә хәтти кәср програмашырма жолу илә һәлл едилмишdir

M. T. Abasov, D. A. Babaev, E. M. Karaeva, F. G. Orudjaliev,  
E. I. Petrushevsky

### Optimal han lñw of dynamics of acting wells iñ layers under development of a multilayered gas deposit

#### SUMMARY

The present article deals with the task of optimal handling of the process of development of a multilayered gas deposit by the determination of the dynamics of a fund of acting wells taking into account different times of the introduction of wells from drilling and their returning into the above lying layers. Specific given expenditures are taken for a criterion of optimization of the process.

Layers on the depletion drive are being developed under the following restrictions: a) continuation of development of a deposit should not exceed the permissible one; b) total volume of the produced gas should not be less than the given one.

The task is solved by the methods of fraction-linear programming.

УДК 628. 394

ГИДРОДИНАМИКА

Ю. А. ИБАД-ЗАДЕ, С. Г. ГУРБАНОВ, А. Н. РУСТАМОВ

**ОПРЕДЕЛЕНИЕ КОНЦЕНТРАЦИИ ВЕЩЕСТВА ЗАГРЯЗНЕНИЯ  
В РЕКАХ И КАНАЛАХ ПРИ РАЗЛИЧНЫХ ЭПЮРАХ ВЫПУСКА  
СТОЧНЫХ ВОД**

(Представлено академиком АН Азербайджанской ССР Г. А. Алиевым.)

Точное гидродинамическое решение данной задачи очень затруднительно. Поэтому во всех теоретических работах принимаются различные упрощения [1].

Для приближенного решения задачи принимаем, что концентрация вещества по сечению распределена равномерно, коэффициент продольной турбулентной диффузии постоянен и средняя скорость по длине водотока не изменяется.

При указанных предположениях задача сводится к нахождению решения уравнения:

$$\frac{dS}{dt} + v \frac{dS}{dx} - D \frac{\partial^2 S}{\partial x^2} + KS = 0 \quad (1)$$

в интервале

$$0 < x < \infty \quad 0 < t < \infty$$

удовлетворяющее начальному условию:

$$S(x, 0) = S_u \quad (2)$$

и граничным условиям

$$S(t, 0) = f(t) \quad (3)$$

$$S(x, t) \neq \infty, \quad (4)$$

где:  $t$ —время, сек, $V$ —средняя скорость, м/сек, $x$ —координата, м, $S_u$ —средняя концентрация естественного загрязнения реки (канала) до выпуска сточных вод, $D$ —коэффициент продольной турбулентной диффузии, м<sup>2</sup>/сек, $K$ —коэффициент неконсервативности, 1/сек.Рассмотрим решение задачи при различных  $f(t)$ , т. е. при различных эпюрах выпуска сточных вод.

1. Допустим, что

$$S(t) = S_0, \quad (5)$$

где:  $S_0$ —средняя концентрация загрязнения в начальном створе при  $t > 0$ .

Применим к (1)–(5) интегральное преобразование Лапласа [2]

$$S^{-x}(x, P) = \int_0^\infty S(x, t) e^{-Pt} dt,$$

где:  $P$ —параметр преобразования.Подвергая преобразование Лапласа по  $t$ , можем применять теорему дифференцирования для оригинала, т. е.

$$F'(t) \rightarrow Pf(P) - F(+0),$$

где:  $F(+0)$ —начальные значения оригинала.

При этом:

$$\int_0^\infty \frac{ds}{dt} e^{-Pt} dt = PS^{-x}(P, x) - S_u$$

Для частных производных по  $x$  нужно иметь в виду, что операции составления таких производных и операции составления интеграла Лапласа могут меняться местами, т. е.

$$\int_0^\infty \frac{dS}{dx} e^{-Pt} dt = \frac{\partial}{\partial x} \int_0^\infty Se^{-Pt} dt = \frac{dS^{-x}}{dx}$$

При этом изображающее уравнение при наличии условий (2) записывается в виде:

$$\frac{d^2 S^{-x}}{dx^2} - \frac{V}{D} \frac{dS^{-x}}{dx} - \frac{P+K}{D} S^{-x} + \frac{S_u}{D} = 0 \quad (6)$$

Тогда для изображения необходимо найти решение уравнения (6) в интервале  $0 < x < \infty$ , удовлетворяющее граничным условиям:

$$\begin{cases} S^{-x}(0, P) = \frac{S_0}{P} \\ S^{-x}(\infty, P) = 0 \end{cases} \quad (7)$$

$$S^{-x}(x, P) \neq \infty \quad (8)$$

Уравнение (6)—есть неоднородное обыкновенное дифференциальное уравнение второго порядка. Как известно, для нахождения общего интеграла этого уравнения достаточно найти его частное решение и сложить с общим интегралом соответствующего однородного уравнения.

Поэтому решение будет в виде:

$$S^{-x} = S_1^{-x} + B, \quad (9)$$

где:  $B$ —любое частное решение уравнения (6), $S_1^{-x}$ —общее решение соответствующего однородного уравнения.

Подставляя (9) в (6) получим:

$$\frac{d^2 S_1^{-x}}{dx^2} - \frac{V}{D} \frac{dS_1^{-x}}{dx} - \frac{P+K}{D} S_1^{-x} - \frac{P+K}{D} B + \frac{S_u}{D} = 0 \quad (10)$$

Для приведения уравнения (10) к однородному, принимая

$$\frac{P+K}{D} B = \frac{S_u}{D},$$

находим

$$B = \frac{S_u}{P+K} \quad (11)$$

Тогда уравнение (10) перепишется так:

$$\frac{d^2 S_1^{-x}}{dx^2} - \frac{V}{D} \frac{dS_1^{-x}}{dx} - \frac{P+K}{D} S_1^{-x} = 0 \quad (12)$$

Ищем решение (12) в виде:

$$S_1^{-x} = e^{kx}$$

Тогда характеристическое уравнение будет:

$$\xi^2 - \frac{V}{D} \xi - \frac{P+K}{D} = 0 \quad (13)$$

Откуда

$$\xi_{1,2} = \frac{V}{2D} \pm \sqrt{\frac{V^2}{4D^2} + \frac{P+K}{D}} \quad (14)$$

Исходя из вышеприведенного, общий интеграл уравнения (2) будет иметь вид:

$$S^{-x} = C_1 e^{\left(\frac{V}{2D} + \sqrt{\frac{V^2}{4D^2} + \frac{P+K}{D}}\right)x} + C_2 e^{\left(\frac{V}{2D} - \sqrt{\frac{V^2}{4D^2} + \frac{P+K}{D}}\right)x} \quad (15)$$

Подставляя значение  $S_1$  в (9) с учетом (11) будем иметь:

$$S^{-x} = C_1 e^{\left(\frac{V}{2D} + \sqrt{\frac{V^2}{4D^2} + \frac{P+K}{D}}\right)x} + C_2 e^{\left(\frac{V}{2D} + \sqrt{\frac{V^2}{4D^2} + \frac{P+K}{D}}\right)x} + \frac{S_u}{P+K} \quad (16)$$

Из условия (8)

$$C_1 = 0 \quad (17)$$

$$C_2 = \frac{S_0}{P} - \frac{S_u}{P+K} \quad (18)$$

С учетом (17) и (18)  $S^{-x}(x, P)$  запишется в виде:

$$S^{-x}(x, P) = \left( \frac{S_0}{P} - \frac{S_u}{P+K} \right) \exp \left[ \frac{V}{2D} x - \sqrt{\frac{V^2}{4D^2} + \frac{P+K}{D}} \right] + \frac{S_u}{P+K} \quad (19)$$

Для определения оригиналов  $S^{-x}(x, P)$ , применяя один из приближенных методов, формула перехода которого имеет вид:

$$S(x, t) = [PS^{-x}(x, P)]_{P=\frac{1}{2t}} \quad (20)$$

получим:

$$S(x, t) = \left( S_0 - \frac{S_u}{1+2t_K} \right) e^{\left[ \frac{V}{2D} - \sqrt{\frac{V^2}{4D^2} - \frac{1+2t_K}{D}} \right] x} + \frac{S_u}{1+2t_K} \quad (21)$$

2. Допустим, что:

$$S(t, 0) = S_0(1 - e^{-Mt}) \quad (22)$$

Изображением  $S(t)$  будет

$$S^{-x}(0, P) = S_0 \left( \frac{1}{P} - \frac{1}{P+M} \right) \quad (23)$$

Таким образом задача сводится к решению такого уравнения (6) при условиях (8) и (23).

В результате получим:

$$S^{-x}(x, P) = \left[ S_0 \left( \frac{1}{P} - \frac{1}{P+M} \right) - \frac{S_u}{P+M} \right] \exp \left[ \frac{V}{2D} x - \sqrt{\frac{V^2}{4D^2} + \frac{P+K}{D}} \right] x + \frac{S_u}{P+K} \quad (24)$$

С учетом (20) оригинал (24) получим в виде:

$$S(x, t) = \left[ S_0 \left( 1 - \frac{1}{1+2tM} \right) - \frac{S_u}{1+2tK} \right] \exp \left[ \frac{V}{2D} x - x \sqrt{\frac{V^2}{4D^2} + \frac{1+2tK}{2tP}} \right] + \frac{S_u}{1+2tK} \quad (25)$$

3. Допустим, что

$$S(0, t) = S_0(1 - e^{-Mt}) + A(\sin Wt + \cos Wt) \quad (26)$$

Для нахождения изображения  $S(0, t)$ , применив ранее приведенные формулы, получим:

$$S^{-x}(0, P) = S_0 \left( \frac{1}{P} - \frac{1}{P+M} \right) + A \left( \frac{W}{P^2 + W^2} + \frac{P}{P^2 + W^2} \right) \quad (27)$$

Решив уравнение (6) при условиях (8) и (27) получим:

$$S^{-x}(x, P) = \left[ S_0 \left( \frac{1}{P} - \frac{1}{P+M} \right) + A \left( \frac{W}{P^2 + W^2} + \frac{P}{P^2 + W^2} \right) - \frac{S_u}{P+K} \right] \exp \left[ \frac{V}{2D} x - x \sqrt{\frac{V^2}{4D^2} + \frac{P+K}{D}} \right] + \frac{S_u}{P+K} \quad (28)$$

Оригинал (28) соответственно будет:

$$S(x, t) = \left[ S_0 \left( 1 - \frac{1}{1+2Mt} \right) + A \left( \frac{2Wt}{1+4W^2t^2} + \frac{1}{1+W^2t^2} \right) - \frac{S_u}{1+2tK} \right] \exp \left[ \frac{V}{2D} x - \sqrt{\frac{V^2}{4D^2} + \frac{P+K}{D}} \right] x + \frac{S_u}{1+2tK} \quad (29)$$

4. Допустим, что

$$S(0, t) = S_0 + \sum_{n=1}^{\infty} (a_n \cos Wt + b_n \sin Wt) \quad (30)$$

Изображение  $S(0, t)$  будет:

$$S^{-x}(0, P) = \frac{S_0}{P} + \sum_{n=1}^{\infty} \left( a_n \frac{P}{W^2 + P^2} + b_n \frac{W}{P^2 + W^2} \right) \quad (31)$$

При этом для  $S^{-x}(x, P)$  задача сводится к решению уравнения (6) при условиях (8) и (31).

В результате получим:

$$S^{-x}(x, P) = \left[ \frac{S_0}{P} + \sum_{n=1}^{\infty} \left( a_n \frac{P}{W^2 + P^2} + b_n \frac{W}{P^2 + W^2} \right) - \frac{S_u}{P+K} \right] \times \exp \left[ \frac{V}{2D} x - \sqrt{\frac{V^2}{4D^2} + \frac{P+K}{D}} \right] x + \frac{S_u}{P+K} \quad (32)$$

Оригиналом (32) будет:

$$S(x, t) = \left[ S_0 - \frac{S_u}{1+2Kt} + \sum_{n=1}^{\infty} \left( a_n \frac{1}{1+4W^2t^2} + b_n \frac{2tW}{1+4W^2t^2} \right) \right] \times \exp \left[ \frac{V}{2D} x - x \sqrt{\frac{V^2}{4D^2} + \frac{1+2Kt}{2tD}} \right] + \frac{S_u}{1+2tK} \quad (33)$$

Если в (33) положить  $S_u=0$ , то получим приближенное решение задачи, рассмотренное в [1].

## Выводы

1. Расчёт распределения концентрации вещества загрязнения в реках и каналах при различных эпюрах выпуска сточных вод является актуальной проблемой современности. Он пока не поддается точному гидромеханическому решению.

2. Применением определенных допущений нам удалось получить формулы, позволяющие рассчитать концентрации загрязнения по длине рек и каналов практически всех видов эпюор загрязнения.

3. Из полученных решений, как частный случай, получаются формулы ряда исследователей.

## ЛИТЕРАТУРА

1. Пааль Л. А., Тутт М. А. О расчете концентрации веществ загрязнения в реках при периодических эпюрах выпуска сточных вод. Всесоюз. научно-технич. конференция по охране поверхностных и подземных вод от загрязнения; Таллин, 1963. 2. Диткин В. А., Прудников А. П. Справочник по операционному исчислению. М., 1965. 3. Экспресс-информация. Нефте- и газодобывающая промышленность, № 30, 1967.

ВОДГЕО

*Поступило 23. XI 1972*

Д. Э. Ибадзадэ, С. Г. Гурбанов, А. Н. Рустамов

Чај вә канал суларына чиркаб суларынын төкүлмәсі  
вә язылмасы

ХҮЛАСЭ

Чиркаб сулары чај вә канал суларына төкүлдүкдә оны чиркләндирир. Бу чиркләнмә һәм чај бою, һәм дә дәринлијә доғру пәјланыр. Пәјланма ганунуң тапмаг үчүн сәрһәд вә башланғыч шәртләриндән (2—4 шәртләри) истифадә едәрәк (1) тәнлиji һәлл олунур. Бунун һәлли үчүн исә Лаплас чевирмәсендән истифадә едилir. Һәмин иятичәдән хүсуси һал кими башга алимләrin дүстурларыны да алмаг мүмкүндүр.

Yu. A. Ibad-zade, S. G. Gurbanov, A. N. Rustamov

## Determination of pollution matter concentration in rivers and canals with different curves of sewage discharge

## SUMMARY

Suggested that matter concentration is distributed across the section evenly, longitudinal diffusion coefficient is constant, and average velocity along the length of watercourse is unchangeable. Under these conditions the task comes to the solution of equation (1) with interval  $0 < x < \infty$ ,  $0 < t < \infty$  in initial (2) and boundary (3, 4) conditions. The solution for different curves of sewage discharge is obtained from Laplace transformation.

УДК 581.84

БИТКИЛӘРИНІ АНАТОМИЈАСЫ

Акад. В. Х. ТУТАЈУГ, М. К. МУСТАФАЈЕВА

## ГЫРМЫЗЫ (*JUNIPERUS RUFESCENS*) ВӘ АҒЫР ИЛІ (*JUNIPERUS FOETIDISSIMA*) АРДЫЧ ИҢӘЛӘРИНИН АНАТОМИЈАСЫ

Чылпагтохумлуларла өртүлүтохумлуларын филокенијасы мұхтәлиф мәсәләләрииң һәллиндә, онларын тақсономијасының мүәжжәнләшдирилмәсіндә, һәр haıсы морфология жөнүндө тәдгигатларын апарылmasында бөյүк әһәмијәт кәсб едир. Бу өткөнде һәмин биткиләрин үзвләринин дахили гүрулушунун тәдгиги иәтичәсіндә топланан мә'луматлар гијметлидир.

Мәгәләдә Азәрбайжаның әксәр ксерофил типли мешәләриндә язылыш гырмызы (*J. rufescens*) вә ағыр ижли ардыч (*J. foetidissima*) и Йиәләринин тәдгигинин натичәһе ари верилмишиләр.

Гырмыйзы ардыч. Бү ардычын ярпағы әсил иjnә шәклиндәдир. Иj нәдә олан өир дамар (өтүрүчү тоға) онун атт сәттинде тил әмәлә кәтирир. Иjнәнин өн кәсижи микроскоп алтында үчбүчаг формада көрүнүр.

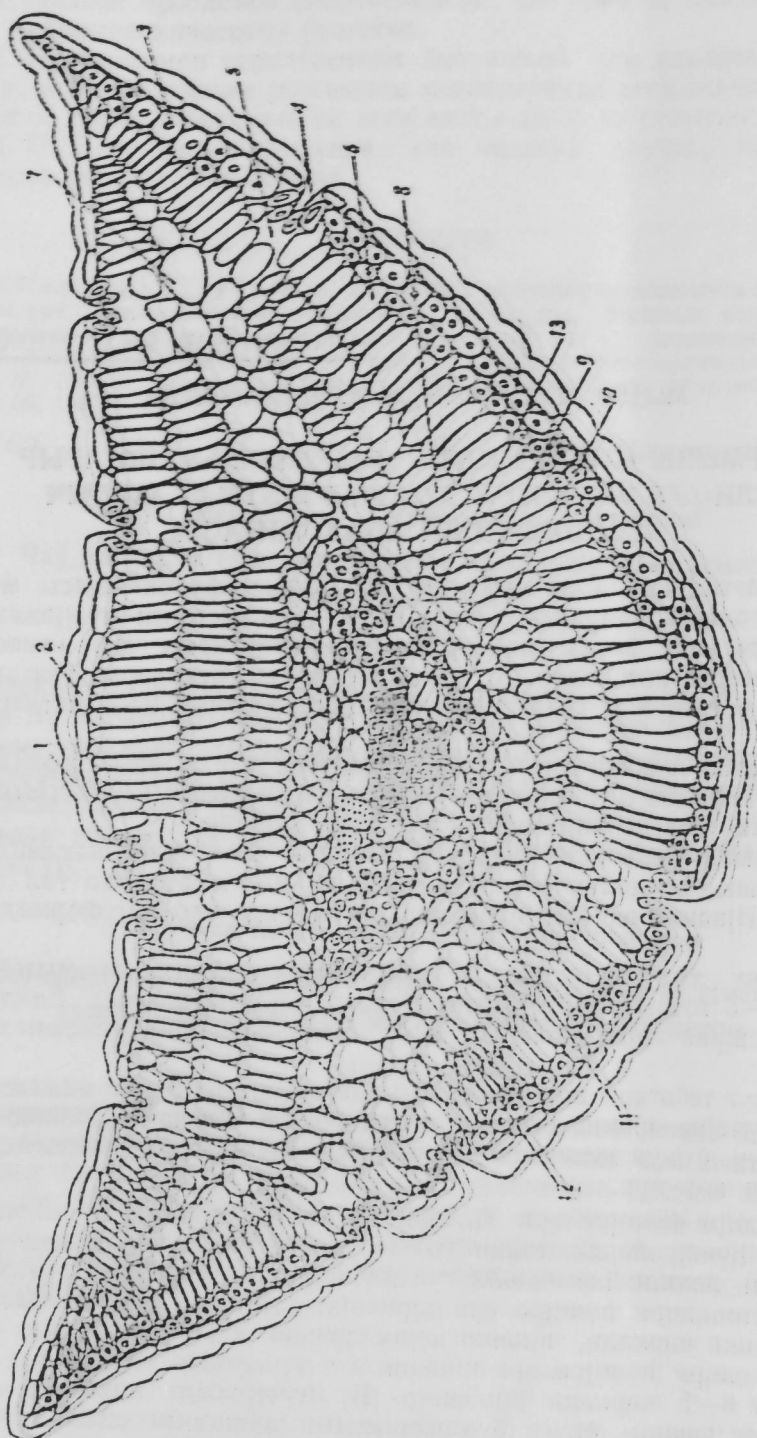
Өртүчү тоху ма: бу тоху ма комплекси епидермис, эксарен бир вә арабир 2-3 гатлы ниподермдән ибаратadir (1-чи шәкил). Епидермис өз гурулушу на көрө типик ксерофит биткиләрин епидермисини хатырлады.

Кутикул тәбәгәси шиддәтли галынлашмышдыр. Кутин маддәсі епи де римис һүчөjрәләринин арасына диггәти чәлб едәчәк дәрәчәдә һоп-мушдуры ки, бүнүн нәтижесинде епидермис һүчөjрәләри аралы Јерләшиш кими көрүнүр.

Нигодерм һүчејрәәри гылағы йүксәк дәрәчәдә галынлашмыш механики һүчејрәләрдән тәшкил олунышдур. Галынлашма нәтижәсіндә һүчејрәниң дахили һәчми олдуғча кичиләрәк балача нөгтә кими нәзәрә چарпыр. Ниподерм һүчејрәәри дәрічијин сәттің сою бир чәркәдә, бә'зи Јерләрдә икі чәркәдә, иjnәнин күничләриндә исә 4—5 чәркәдә Јерләшир. Нигодерм һүчејрәәри иjnәнин ат тәрағинде, гатран ѡолу әтрафында да 4—5 чәркәдә Јерләшир. Бу һүчејрәләр механики вәзиғе дашымагла жанашы, артыг бухарланманын гарышыны алмагда биткиә хидмәт едир. Ниподерм һүчејрәәри ғәрасәр ирилекдә дејилдир. Бұнларын бә'зиси дикарләриндән 4—5 дәфә хырда олуру

Ағызчыгапараты. Бу нөвдә ағызчылар анчаг ижнини үст сәт һиндә йерләшир. Бу да эди көзлә, мәркәз дамардан сағ вә сол

тәрефләрдә, икى 2-3 олар шәклиндә көсәре чарыр. Ағызыгылар иjnәннән мәркәз дамарында һәр икى тәрефдә симметрик олараг 5—7, сәзән де 8 әдәд мигдарында чархә иле јерләшир. Эдәбијат мә'луматына



І-чи шәкли. Гырмызы ардыч иjnәсинин он кесүү: 1—кутикула; 2—епидермис; 3—ниподерм; 4—сүтүн паренхим; 5—сүнжар паренхим; 6—гатран юлы; 7—спители һүчөрән; 8—агызыгылар; 9—гапајачы һүчөрән; 10—кислем; 11—флоем; 12—кечиричи паренхим; 13—өзек шасы.

көрә, шам иjnәсиндә вә сөрә пулчукунда анызниплар ишى әдәд гапајачы һүчөрәләрдән тәшкүн олунуушлур. Ардың иjnәсинде исә бундан фәргли олараг, ағызыгылар тәшкүн тәшкүн

олунмушду р. ки, бунлар да икى йарусда јерләшир. Өртүлүтохумлу биткиләр үчүн икимәртәбәли ағызыгылар илк дәфә наз колунда тәсвири едилмишdir (В. Х. Тутајүг, 1966).

Тәдгигат көстәрир ки, гырмызы ардыч иjnәсинде ағызыгылар һәмишә икимәртәбәли олур. Икимәртәбәдә јерләшиш гапајачы һүчөрәчүтләри формача бир-бириндән чох аз фәргләнир. Бунларын гылафы галынашмыш вә күтнелашмишdir.

Мезофил. Эдәбијатда тәсвири олунмуш ади шам иjnәсинин мезофили линдән фәргли олараг, гырмызы ардыч иjnәсинин мезофили чох мараглы гурлушадыр. Бурада шам иjnәсинә хас олан гатлы паренхим јохдур.

Гырмызы ардыч иjnәсинин мезофили икى тип паренхимдән тәшкүл олунмушду р. Иjnәнин алт сәттүндә икى чәркәдә чәпәр паренхимини хатырладан һүчөрәләр јерләшир. Бу чәнәтдән гырмызы ардычын иjnәси сәрвин пулчукунда даһа чох хатырлады (В. Х. Тутајүг, 1967). Сәрвин пулчукундан фәргли олараг, бурада сүнкәр паренхимини хатырладан 2—3 гатлы хлоренхим һүчөрәләри јерләшир. Бу һүчөрәләр иәзәре чарпачаг дәрәчәдә аралы јерләшир. Белә икә, гырмызы ардычын иjnәси өртүлүтохумлу биткиләрин дорсовенти ал гурулушу јарпагларыны хатырладыр. Буардан фәргли олараг, гырмызы ардычда чәпәр паренхими һүчөрәләри иjnәнин хариче доғру јенәмиш алт сәттүндә јерләшир. Бу исә иjnәнин алт тәрефинин даһа чох ишыглан масы илә изаһ олунур. Һәмин сәбәсә көрә ағызыгылар иjnәнин үст сәттүндә јерләшир.

Мезофилдә иjnәнин алт тәрефиндә анчаг сир әдәд гатран юлы јерләшир. Җанлы епители һүчөрәләри әнатә олунмуш гатран юлынун 3 тәрефиндә механики лифләр јерләшишdir.

Өтүрүчү топа. Јеканә өтүрүчү топа иjnәнин мәркәзинде јерләшир. Трахеидләрни сағ вә сол тәрефләрнеде кечиричи паренхимләр вардыр. Флоемдә әләкли борулар 5—6 мүнтәзәм чәркәләрдә јерләшир. Флоем вә кислеми бир чәркәдән ибәрәт олан вә өзәк шүаларыны хатырладан паренхим һүчөрәләри әлагәләндирир. Флоемин алтында 2—3 чәркәдә кип јерләшиш галындиварлы механики һүчөрәләр вардыр ки, бунлар да топаја механики мөһкәмлик верир. Шамларын иjnәсиндә топаны әнатә едән ендодерм гаты ардыч иjnәсиндә иникишафтәмәмишdir.

Ағыр исли ардыч. Бу иөвдә јарпаглар әсасын пулчуг шәклиндәдир. Лакин чох вахт чаван зөгларда узуи иjnәвары јарпаглар раст көлир ки, бунлар да сонракар пулчугла әвәз олунур.

Тәдгигатымызы иjnәвары јарпаглар үзәринде апардыг. Гырмызы ардыча иисбәтән бу иөвдә епидермис һүчөрәләри кип јерләшир.

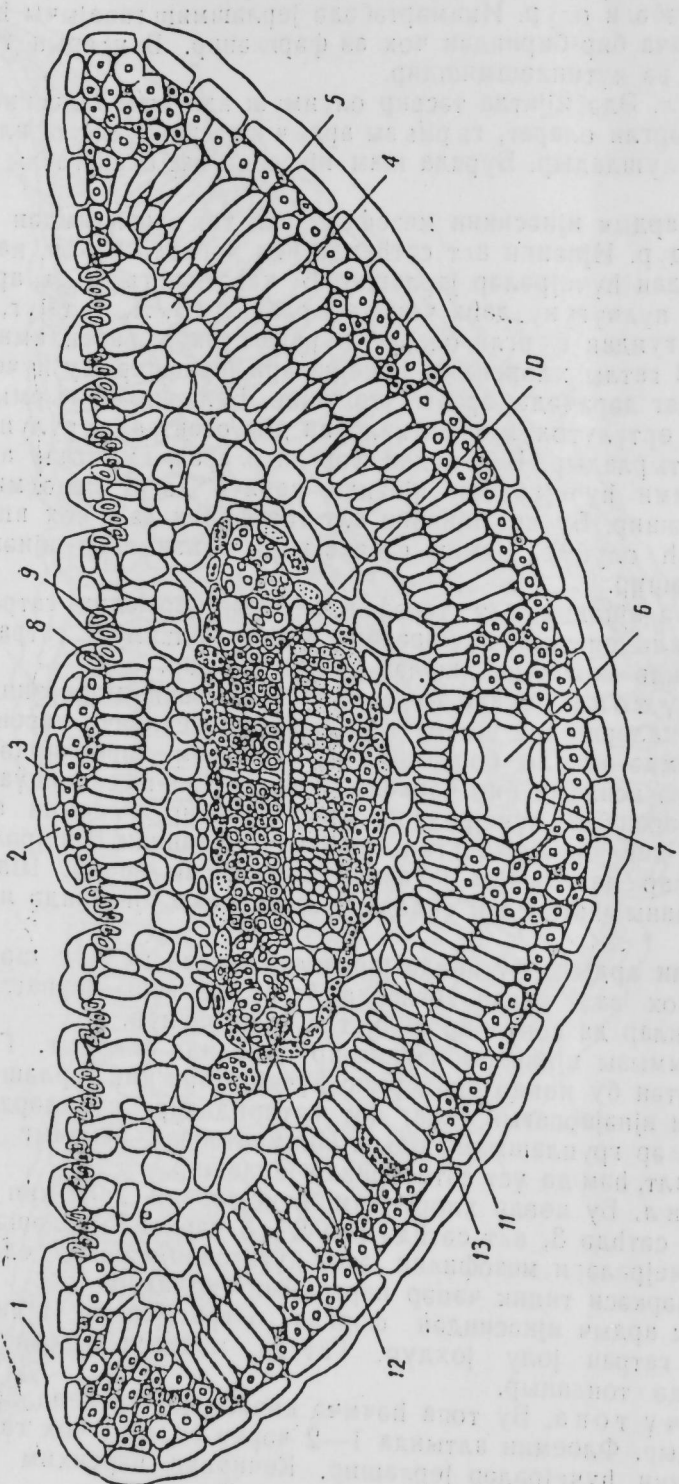
Ниподерм иjnәјарпагын өнчаг алт сәттүндәдир, күнчләрдә механики һүчөрәләр груплашмамышдыр. Икимәртәбәли апараты иjnәнин һәм алт, һәм дә үст сәттүндә јерләшир.

Мезофил. Бу иөвдә хлоренхим һүчөрәләри даһа кип јерләшишdir. Үст сәттүндә 3, алт сәттүндә исә 2—3 чәркәдә јерләшән чәпәр паренхим һүчөрәләри мезофилин әсас күтләсими тәшкүл едир. Бунанчаг бир чәркәси типик чәпәр паренхими типлидир.

Гырмызы ардыч иjnәсиндән фәргли олараг, ағыр исли ардыч иjnәсинде гатран юлы јохдур. Гатран маддәси әсасын мезофил һүчөрәләринде топланыр.

Өтүрүчү топа. Бу топа һәчмә кичикдир. Трахеидләрни сағы иисбәтән аздыр. Флоемин алтында 1—2 чәркә гылафы чох галынашмыш механики һүчөрәләр јерләшир. Кечиричи паренхим гырмызы ардычла олдуғу кимидир.

Апардыгымыз тәдгигат иетищесинде тәсвири олунан иөвләрин иjnәләрнинде ашағыдақы таксономик әламәтләр мүэйжән едилмишdir.



2-чын шекил 1—кутикула; 2—епидермис; 3—гиподермис; 4—мезофилл; 5—хава башшыгы; 6—сүнкәр паренхимасы; 7—8 сүнкәр паренхимасы; 8—стоматикалык аппарат; 9—клетки; 10—флоем; 11—хильдем; 12—13 кечиричи паренхимасы.

Әтүүрүчү тохума комплекси галын кутикул тәбәгәси илә өртүлүш биргатлы епидермис ве 1—2 (бәзин дә 3—4) гатлы һиподермдән ибарәттir. Мезофилл ийнин алт тәрәфинең јөнелмиш 1—3 гатлы чәпәр паренхиминдән вә 1—3 гатлы сүнкәр паренхиминдән тәшкىл олунмушадур. Гырмызы ардыч ийнин мәркәзинде јалныз бир әдәд топа вардырын, он и да һәр ики янында кечиричи паренхим йөрлөшир.

Тәдгигатымызын вердиши јени мараглы мәлumat икимәртәбәли ағызычынын ардычлар үчүн нормал гуруулуш элементиндән ибарәт олмасыдыр.

#### ӘДӘБИЙЛАТ

1. Азәрбајчанын флорасы. 1 том. Азәрбајчан ССР ЕА Нәшријаты, Бакы, 1950.
2. Тутајуг В. Х. Назколууда икимәртәбәли ағызычы. „Елм вә һәјат”, № 10, 1966.
3. Тутајуг В. Х. Битки анатомијасы вә морфологијасы. „Высшая школа”, нәшријаты, М., 1972.
4. Александров В. Г. Битки анатомијасы. „Высшая школа” нәшријаты, М., 1966.

Ботаника институту  
Алматы 1972-жылдын 12. XI

В. Х. Тутајук, М. Г. Мустафаев

#### Анатомия хвои красных (*Juniperus rufescens*) и тяжелопахучих (*Juniperus foetidissima*) можжевельников

#### РЕЗЮМЕ

В статье изучена анатомия хвои красного (*J. rufescens*) и тяжелопахучего (*J. foetidissima*) можжевельников.

Комплекс покровной ткани составлен из толстого слоя кутикулы однослоистого эпидермиса и 1—2 (изредка 3—4) слойной гиподермы.

Мезофилл дорзовентрального типа, палисадная паренхима в 1—2 слоя расположается с нижней стороны хвои. Под палисадной паренхимой находится 1—2 слойная губчатая паренхима. В центре хвои расположен один крупный проводящий пучок. С обеих сторон проводящего пучка находится трансфузионная паренхима в виде небольших пучков.

Наиболее интересным результатом исследования является установление двухъярусности устьичного аппарата у можжевельников, как нормальный для них структурный элемент.

V. H. Tutajuk, M. G. Mystafajeva

#### The anatomy of Red (*Juniperus rufescens*) and Heavy odoriferous (*Juniperus foetidissima*) Juniperus Needle

#### SUMMARY

The paper deals with the studies of anatomy of red (*J. rufescens*) and heavy odoriferous (*J. foetidissima*) Juniperus. The complex of covering tissue is formed of thick layer of cuticle, one-layer hypodermis. Mesophyll is of dorsoventral type. The palisade parenchyma is placed on the lower side of the needle. The 1—2 layer spongy parenchyma is under the palisade parenchyma. There is one big conducting bundle in the middle of the needle. The transfusing parenchyma is placed on both sides of the conducting bundle.

The research results in establishing the double tier arrangement of the stomate apparatus of the pinepers. It may be considered as their normal structural element.

УДК 631.412.2

ПОЧВОВЕДЕНИЕ

С. А. АЛИЕВ

**О ЭНЕРГЕТИЧЕСКИХ ПОКАЗАТЕЛЯХ АКТИВНОСТИ  
КАТАЛАЗЫ В ПОЧВАХ НАХИЧЕВАНСКОЙ АССР**

(Представлено академиком АН Азербайджанской ССР В. Р. Волобуевым)

Вопросы энергетики почвенной энзимологии до последнего времени оставались не изученным [4]. Особенно большой научный интерес представляет определение термодинамических показателей активного комплекса почвенных ферментов.

Целью наших исследований является изучение в основных типах почв Нахичеванской АССР энергии активации и термодинамических характеристик активного комплекса фермента каталазы.

Исследования показали, что активность каталазы в основных типах почв Нахичеванской АССР закономерно изменяется в связи с вертикальной зональностью географического распространения их. Активность каталазы ( $v$ ) последовательно возрастает в ряду почв: сероземные, каштановые и горные черноземы. Определения активности каталазы в почвах выполнены Д. А. Гаджиевым при температурах 10, 20 и 30°C газометрическим методом [2]. Отсчеты проводили через 5, 10, 15, 20, 30, 45 и 60 сек. Скорость реакции  $v$  определяли по количеству кислорода, выделенного за 1 мин.

Одним из способов активации ферментативных процессов является увеличение температуры. В изучаемых почвах активность каталазы изменяется в прямой зависимости от температуры. В горном черноземе константа реакции  $k$  возрастает с повышением температуры до 30°C и изменяется в пределах  $1,22 - 1,67 \cdot 10^{-4}$  сек, тогда как в каштановой почве  $k$  снижается до  $0,40 - 0,96 \cdot 10^{-4}$  сек, а в сероземной —  $0,46 - 0,59 \cdot 10^{-4}$  сек.

По показателям  $k$  установлены температурный коэффициент  $K_{10} \left( \frac{k_1}{k_2} \right)$  скорости катализуемых биохимических процессов при температурах 10 (283°K), 20 (293°K) и 30°C (303°K).  $K_{10}$  в изучаемых почвах преимущественно выше 1. Исключением являются сероземные почвы, в которых при повышенных температурах (30°C)  $K_{10}$  снижается до  $< 1$ , что свидетельствует о тепловой денатурации молекул каталазы. По показателям  $K_{10}$  нами в основных типах почв Нахичеванской АССР рассчитаны энергия активации катализы  $E$  по математической зависимости Аррениуса [6].

Таблица 1

Активность каталазы в основных типах почв Нахичеванской АССР при температурах 10, 20 и 30°C

Почва	Глубина, см	$t, ^\circ\text{C}$	$v, \text{ мл } \text{O}_2/\text{мин}$	$k, n \cdot 10^{-4} \text{ сек}$	$K_{10} = \frac{k_2}{k_1}$
Горный чернозем	0,5	10	5,3	1,25	
		20	8,5	1,42	1,14
		30	9,7	1,55	1,09
		5—20	10	5,0	1,22
		20	8,0	1,53	1,25
		30	9,0	1,67	1,10
Каштановая	0—5	10	2,4	0,40	
		20	3,3	0,73	1,80
		30	4,0	0,84	1,15
		5—20	10	1,9	0,43
		20	3,0	0,78	1,82
		30	3,3	0,96	1,22
Сероземная	0—5	10	1,8	0,46	
		20	2,8	0,85	1,84
		30	3,3	0,67	0,78
		5—20	10	1,6	0,46
		20	2,8	0,78	1,70
		30	2,8	0,59	0,75

Таблица 2

Термодинамические показатели активного комплекса каталазы в основных типах почв Нахичеванской АССР

Почва	Глубина, см	$t, ^\circ\text{C}$	$E, \text{ кал/моль}$	$\Delta F, \text{ кал/моль}$	$\Delta S, \text{ энтр. ед.}$
Горный чернозем	0—5	10	2 155	4 369	-7,82
		20	1 517	4 154	-9,00
		30			
		5—20	3 670	6 452	-9,93
		20	1 679	6 742	-17,28
		30			
Каштановая	0—5	10	9 670	7 944	6,10
		20	2 307	4 513	-7,53
		30			
		5—20	9 852	8 032	6,43
		20	3 504	5 063	-5,32
		30			
Сероземная	0—5	10	10 030	7 192	6,76
		20	-43 720	—	—
		30			
		5—20	8 727	6 257	4,35
		20	-50 650	—	—
		30			

Экспериментально определенная нами энергия активации  $E$  каталазы почв является важным показателем качества фермента (I). Поскольку она характеризует скорость ферментативных реакций и по своей величине равна количеству энергии, необходимой для перевода реагирующих

веществ в активное состояние. При этом скорость катализуемых процессов в почвах тем выше, чем ниже энергия активации и наоборот.

Энергия активации ( $E$ ) каталазы наиболее низкая в горном черноземе и составляет 0—5 и 5—20 см слоях почвы соответственно 1517—2 155 и 1 679—3 670 кал/моль, что свидетельствует о повышенной скорости биохимических реакций в почве. В каштановых и сероземных почвах энергия активации каталазы последовательно возрастает, что вызывает снижение скорости биохимических реакций. В исследуемых почвах одновременно с увеличением энергии активации возрастает величина свободной энергии ( $\Delta F$ ) которая используется на совершение ферментативных реакций.

Показатели энергии активации можно в первом приближении связать с другими термодинамическими константами и прежде всего с изменением энтропии ферментативного процесса. Для расчета энтропии ферментативной реакции ( $\Delta S$ ) использована математическая зависимость С. Глестона, К. Лейдлера и Г. Эйрина [3].

Изучение термодинамических характеристик кинетики каталазной активности почв показало, что биохимические процессы сопровождаются изменениями энтропии активации от —17,28 до +6,76, которые количественно характеризуют способность активного комплекса каталазы к некоторой структурной адаптации [5].

#### ЛИТЕРАТУРА

- Благовещенский А. В. Количественное выражение качества ферментов. «ДАН СССР», 70, 65, 1950.
- Галстян Ш. А. Некоторые вопросы изучения почвенных ферментов. Сообщ. лабор. агрохимии АН Арм. ССР, № 2, 1969.
- Глеестон С., Лейдлер К., Эйрин Г. Теория абсолютных скоростей реакций. ИЛ, 1948.
- Козлов К. А., Кислицин В. П., Маркова Ю. А., Михайлова Э. Н. О некоторых проблемах проявления энзиматической активности почв. Сб. докл. симпозиума по ферментам почвы. Минск, 1968.
- Пасынский А. Г. Биофизическая химия. Изд-во «Высшая школа». М., 1968.
- Аггеленус С. Über die Reaktionsgeschwindigkeit bei der Inversion von Rohrzucker. Z. physiol. Chem., 4, 226, 1889.

Институт почвоведения и агрохимии

Поступило 3. I 1971

С. Э. Элиев

Научный МССР торпагларында каталазанының фәаллығының енеркетик көстәричиләри һағында

#### ХУЛАСӘ

Сон заманлара гәдәр торпаг ензимолокијасының енеркетик мәсәләләри өјрәнилгәмиш галыштыры.

Тәдгигатларын мәгсәди Научный МССР-ин әсас торпаг типләринде каталаза ферментинин фәл комплексинин активләшмә енержиси вә термодинамик хүсусијәтләрини өјрәнмәкдән ибарәт олмуш дур.

Тәдгигатлар көстәрди ки, Научный МССР-ин әсас торпаг типләринде каталазаның фәаллығы торпагларын чоғрафи яйымасында шағулы зоналлыгыла әлагәдар олараг ганунауғун дәјишир. Каталазаның фәаллығы торпагларын ашағыдакы сырасы үзәрә ардычыл олараг артыры: инишәф етмәмиш боз, боз-шәбләлди вә дағ гараторпаглары.

Катализ олунған биокимјеви процессларин сүр'әт константының көстәричиләрине әсасен 10 вә 20°C температурларда Научный МССР-ин әсас торпагларында каталазаның фәл комплексинин активләшмә енержиси вә термодинамик көстәричиләри несабланыштыр.

АЗЭРБАЙЧАН ССР ЕЛМЛӘР АКАДЕМИЈАСЫНЫН МӘРҮЗӘЛӘРИ.

ДОКЛАДЫ АКАДЕМИИ НАУК АЗЕРБАЙДЖАНСКОЙ ССР  
ТОМ XXX ЧИЛД

№ 7

1974

УДК 576.895.132

#### ГЕЛЬМИНТОЛОГИЯ

Ю. Ф. МЕЛИКОВ, Д. Г. ДЖАББАРОВ

#### К ВЫЯВЛЕНИЮ ПРОМЕЖУТОЧНЫХ ХОЗЯЕВ ПРОТОСТРОНГИЛИД В ЖИВОТНОВОДЧЕСКИХ РАЙОНАХ НА МАЛОМ КАВКАЗЕ

(Представлено академиком АН Азербайджанской ССР С. М. Асадовым)

По данным [1, 2, 3, 8] и т. д. из возбудителей протостронгилидов у овец и коз на территории нашей республики пока отмечены следующие 8 видов: *Protostrongylus kochi*, *P. hobmaieri*, *P. raillienti*, *P. davtiani*, *P. skrjabini*, *Cystocaulus nigrescens*, *C. usevolodovi*, *Muellerius capillaris*. Эктенсионность инвазии протостронгилидозами в отдельных районах, по указанным авторам, варьирует в пределах 20—94,7%.

К сожалению, приходится отметить, что изучением биологии протостронгилид и в частности, выявлением промежуточных хозяев этих гельминтов, за исключением некоторой работы, проведенной в АзНИВИ и оставшейся неопубликованной, до сих пор никто не занимался.

Как известно, промежуточными хозяевами протостронгилид являются наземные моллюски, а для *M. capillaris* также и некоторые виды пресноводных моллюсков.

Учитывая слабую изученность фауны протостронгилид и их распространение в Азербайджане, а также неизученность их биологии, лаборатория экологической паразитологии Института зоологии (руководитель лаборатории акад. С. М. Асадов) поручила нам заняться изучением этих вопросов. Свои исследования на первое время мы сосредоточили в районах, расположенных на предгорьях и в горной зоне Малого Кавказа. В этих районах работу в основном проводит один из авторов настоящего сообщения (Д. Г. Джаббаров).

Овцеводство, имеющее большой удельный вес в животноводческих хозяйствах районов на Малом Кавказе терпит значительный экономический ущерб от ряда гельминтозов, в том числе и от протостронгилидозов.

В настоящем сообщении приводятся результаты исследований наземных моллюсков и их зараженность личинками протостронгилид.

Исследования наземных моллюсков проводились в Физулинском, Мирбаширском, Мардакертском, Зангеланском, Кедабекском и Кельбаджарском районах. Всего было подвергнуто исследованию 5835 экз. наземных моллюсков, относящихся к 10 видам (*Pomatiopsis rivulare*—

Результаты исследований наземных моллюсков на естественную зараженность их личинками протостронгилид

Дата исследования	Район и пункт исследований	Вид моллюска	Protostrongylus kochi						Cystocaulus nigrescens						Muellerius capillaris					
			Интенсивность инвазии	% зараж.	Кол-во зараж.	Интенсивность инвазии	% зараж.	Кол-во зараж.	Интенсивность инвазии	% зараж.	Кол-во зараж.	Интенсивность инвазии	% зараж.	Кол-во зараж.	Интенсивность инвазии	% зараж.	Кол-во зараж.	Интенсивность инвазии	% зараж.	
2. VIII 1971 г.	Кельбаджарский	a) с. Вазирхана (окрестности)	Z. hohenackeri	188	9	4,7	1—6	7	3,7	1—6	5	2,6	1—3	4	2,1	1—3	4,6	1—2		
5. VIII 1971		б) Окр. с. Зульфигарлы	•	152	33	21,7	1—8	16	10,5	1—8	18	11,8	1—3	7	4,6	1—2				
12. VIII 1971		в) Зульфигарлы, яйлаг Азакорт	•	618	45	7,2	1—6	41	6,6	1—5	22	3,5	1—2	10	1,6	1—2				
21. VIII 1971	Кедабекская	a) Окрестности	H. derbentina	944	466	49,3	1—30	311	32,9	1—15	183	19,3	1—9	105	11,1	1—6				
	c. Р. Алиева	б) Пастбища с. Планкенд	•	300	73	24,3	1—8	55	18,3	1—6	22	7,3	1—6	14	7,6	1—3				
26. VIII 1971		в) Пастбища с. Арысу	•	425	100	23,5	1—4	55	12,9	1—4	29	6,8	1—3	21	4,9	1—2				
27. VIII 1971		г) Окр. Планкенд	•	765	198	25,8	1—7	74	9,6	1—8	63	8,8	1—4	33	4,3	1—4				
28. VIII 1971	Мирбаширский																			
31. X 1971	a) Колх. «Баки фехеси» Окр. животноводческой фермы.	•	•	161	5	3,0	1—2	5	3,0	1—2	—	—	—	—	—	—	—	—	—	
	Мардакертский																			
31. X 1971	a) Пастбища .Красное село*	•	•	75	—	—	—	—	—	—	—	—	—	—	—	—	—	—	—	
	b) Окр. с. Маргушеван	•	•	30	—	—	—	—	—	—	—	—	—	—	—	—	—	—	—	
31. X 1971	в) Пастбища с. Довшаны	•	•	102	2	1,9	1—2	2	1,9	1—2	—	—	—	—	—	—	—	—	—	
4. XI 1971	Зангеланский																			
16. XI 1971	a) Пастбища колхоза «Москва» •Москва*	•	•	350	30	8,5	1—7	20	5,6	1—5	12	3,4	1—2	5	1,4	1				

\*Причечине. Здесь же приводятся данные по моллюскам, оказавшимся не зараженными личинками протостронгилид.

63 экз., *Chondrula tridens*—115 экз., *Jaminia pupoides*—325 экз., *Zebrina hohenackeri*—958, *Armenica unicristata*—46 экз., *Euxina somchaiana*—166 экз., *Helicopsis derbentina*—3156 экз., *Euomphalia arpatana*—541 экз., *Helix lucorum*—20 экз.). Моллюски были собраны с 21 пастбищного участка, хозяйств с наибольшей степенью зараженности в них животных протостронгилидами.

Определение видовой принадлежности наземных моллюсков проводили по имеющейся в лаборатории коллекции акад. С. М. Асадова с учетом положений более современной систематики.

Исследование моллюсков проводили компрессорным методом. Определение же выявленных личинок протостронгилид осуществлялось по Е. А. Давтяну [5, 6, 7] и [3].

Результаты исследований наземных моллюсков на естественную зараженность личинками протостронгилид проводятся в табл. 1.

Следует отметить, что из 10 видов наземных моллюсков, подвергнутых исследованиям на естественную зараженность, только 2 вида (*Helicopsis derbentina* и *Zebrina hohenackeri*) оказались зараженными личинками протостронгилид.

Как видно из табл. 1, наибольшая зараженность моллюсков *Z. hohenackeri* личинками протостронгилид наблюдается в окрестностях с. Зульфугарлы Кельбаджарского района (21,7%) с интенсивностью инвазии 1—8 экз., а моллюсков *H. derbentina*—в окрестностях с. Рустама Алиева Кедабекского района (49,3%), с интенсивностью инвазии 1—30 экз. Наименьшая же экстенсивность инвазии моллюсков *H. derbentina* личинками протостронгилид отмечается в Мардакертском (1,9%), мирбаширском (3,0%) и Зангеланском (8,5%) районах, с низкой интенсивностью инвазии 1—2 экз.

Таблица 2

Общая зараженность моллюсков *Z. hohenackeri* и *H. derbentina* личинками протостронгилид

Вид моллюсков	Кол-во исслед. моллюсков	Кол-во зараж.	% зараж.	Интенсивность инвазии	Кол-во зараж.	% зараж.	Интенсивность инвазии	Кол-во зараж.	% зараж.	Интенсивность инвазии	Кол-во зараж.	% зараж.
<i>Z. hohenackeri</i>	958	87	9,0	1—8	64	6,6	1,8	45	4,6	1—3	21	
<i>H. derbentina</i>	3156	874	27,6	1—30	522	16,5	1,15	314	9,9	1—9	178	2,1

наибольшей степенью инвазии 1—2 экз. Как видно, эти моллюски в наибольшей степени заражены личинками протостронгилид в районах, расположенных в горной зоне Малого Кавказа.

Результаты общей зараженности моллюсков по всем обследованным районам приводятся в табл. 2, из которой можно заключить, что в условиях Малого Кавказа ведущая роль в эпизоотологии протостронгилиодозов принадлежит моллюскам *H. derbentina*.

Как видно из табл. 2, моллюски *Z. hohenackeri* и *H. derbentina* в наибольшей степени заражены личинками протостронгилидов, а затем личинками цистокаулов и мюллериев (соответственно: 6,6 и 16,5%; 4,6 и 9,9%; 2,1 и 5,6%).

В результате проведенных исследований можно констатировать, что в районах Малого Кавказа промежуточными хозяевами протостронгилид являются 2 вида наземных моллюсков: *Z. hohenackeri* и *H. derbentina*, у которых обнаруживаются личинки трех видов протостронгилид: *Protostrongylus kochi*, *Cystocaulus nigrescens* и *Muellerius capillaris*. В распространении протостронгилидозов преобладающее значение имеет *H. derbentina*.

## ЛИТЕРАТУРА

- Асадов С. М., Гельминтофауна жвачных животных СССР и ее экологический анализ. Изд-во АН Азерб. ССР, Баку, 1960.
- Асадов С. М., Колесников М. Л. Фауна протостронгилид овец в Азербайджане. «Мат-лы научн. сессии, посвящен. итогам и перспективам развития зоологических исследований в Азербайджане». Изд-во АН Азерб. ССР, Баку, стр. 43—45, 1961.
- Боеv C. N., Вольф З. В. К циклу развития легочных гельминтов из подсемейства *synthetocaulinae* Skrjabin от овец юга Казахстана. Труды Казахск. науч. исслед. вет. ин-та, т. 3, стр. 250, 1940.
- Ганибов А. Д. Эпизоотология и динамика цистокаулеза в крупных овцеводческих хозяйствах Азербайджанской ССР. Труды Азерб. НИВОС, т. 3, стр. 133—138, 1949.
- Давтян Э. А. К изучению биологии легочного гельминта овец и коз *synthetocaulus kochi* Schulz, Oglolloff et Kuttas. «Сов. ветеринария», № 1, стр. 82—83, 1936.
- Давтян Э. А. Цикл развития легочного гельминта овец и коз *Muellerius capillaris*. Труды Арм. НИВИ, вып. 2, стр. 41—97, 1937.
- Давтян Э. А. Цикл развития *Cystocaulus nigrescens*. Труды научно-исслед. ветер. ин-та, вып. 3, стр. 5—32, 1940.
- Исмаилов Д. К. К вопросу изучения сезонной динамики протостронгилидозов овец в условиях высокогорья Малого Кавказа Азербайджанской ССР. Труды АзНИВИ, т. 13, стр. 131—134, 1962.

Институт зоологии

Поступило 13. I 1972

Ю. Ф. Меликов, Ч. Г. Чаббаров

## Кичик Гафгазын һөјвандарлыг районларында протостронгилилдерин аралыг саңыбларинин ашқар едилмәсінә даир

### ХУЛАСӘ

Кичик Гафгазын дағ вә деғәтәji районларында гуру илбизләrin protostronkilid суғфәләриләтебин јолухмасыны ашқар етмәк мәг-  
сәди илә 10 нөвә аид 5835 фәрд гуру илбиз тәдгиг едилмишdirki,  
булардан 2 нөв (*Zebrina hohenackeri* вә *Helicopsis derbentina*) *Protostrongylus kochi* (6,6 вә 16,5%), *Cystocaulus nigrescens* (4,6 вә 9,9%)  
вә *Muellerius capillaris* (2,1 вә 5,6%) суғфәләрилә јолухмушлар.  
Јолухманын үмуми екстенсивлігі 9,0 вә 27%-и тәшкил едір.

Yu. F. Melikov, D. G. Jabbarov

## On the ascertainment of intermediate host protostrongyliids in the cattle-breeding regions of Minor Caucasus

### SUMMARY

Natural contagion of surface molluscs by larva of protostrongyliids have been ascertained on mountainous areas and foothills of Minor Caucasus. 5835 specimens of surface molluscs related to ten species have

been studied. Larvas of protostrongyliids (*Protostrongylus kochi* 6,6 and 16,5%; *Cystocaulus nigrescens* 4,6 and 9,9%; *Muellerius capillaris* 2,1 and 5,6%) have been determined in the two species of surface molluscs (*Z. hohenackeri* and *H. derbentina*). The total contagion of *Z. hohenackeri* and *H. derbentina* molluscs makes up 9,0 and 27,6% accordingly. The highest contagion of molluscs have been observed in mountainous areas of Minor Caucasus. It has been established that *H. derbentina* predominates in spreading the protostrongyliosis of sheeps and goats.

МИКРОБИОЛОГИЯ

УДК 096

Т. А. МАРТИРОСОВА, О. Г. ИСМАЙЛОВА, В. В. ЕГИАЗАРОВ

**ДЕЙСТВИЕ ЛАЗЕРНОГО ИЗЛУЧЕНИЯ ДЛИНОЙ ВОЛНЫ  
 $\lambda=6328\text{ \AA}$  НА КЛУБЕНЬКОВЫЕ БАКТЕРИИ**

(Представлено академиком АН Азербайджанской ССР М. К. Ганиевым)

Промышленная селекция микроорганизмов на современном уровне развития микробиологии немыслима без широкого использования различных мутагенных факторов.

Убедительные успехи, достигнутые в селекции продуцентов важнейших биоактивных соединений—антибиотиков, витаминов, аминокислот—заставляют изыскивать новые приемы и источники мутирования (Ф. Жакоб, Э. Вольман, 1962; В. Браун, 1968 и др.).

Генетика бактерий, в частности мутационная генетика, обладает большим арсеналом средств изменчивости, которые в сотни, а иногда в тысячу раз превосходят уровень спонтанного процесса. К их числу относятся широко зарекомендовавшие в практике исследований: гамма- и рентгеновское излучение, поток нейтронов, большой набор химических супермутагенов. Очень часто эти агенты применяются в паре для повышения эффекта воздействия (С. И. Алихаян, 1963).

Несмотря на то, что класс источников мутирования весьма широк, поиск новых агентов не прекращается и в настоящее время. Любой источник энергии, способный воздействовать на генетический аппарат клетки бактерий, должен быть испытан, как средство экспериментального мутагенеза.

Исходя из этого, нами была поставлена задача провести работу на клубеньковых бактериях с применением оптического квантового генератора, целью которой являлось исследование летального и общего мутагенного действия прибора.

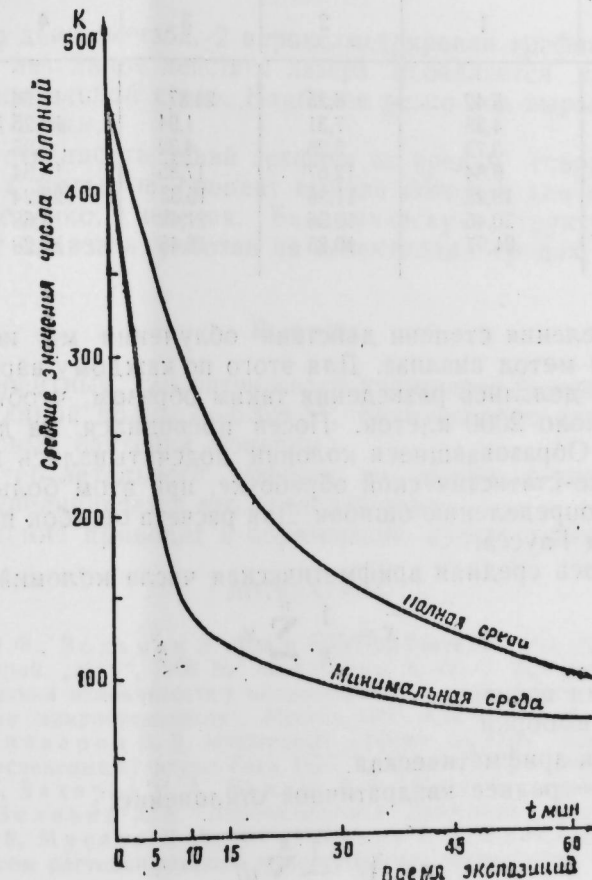
Оптический квантовый генератор—лазер дает локальный, строго когеррентный поток электромагнитных волн видимого спектра. Большой потенциал энергии, возможность действовать на определенные участки экспериментального поля, простота регулирования доз воздействия,—все это явилось предпосылкой для начала работ по выявлению индуктороспособности лазера на клубеньковые бактерии. Аналогичные работы были проведены с высшими растениями (М. А. Мусаев, Т. Ю. Абдуллаева, В. В. Егиазаров, 1969).

Квант энергии лазера видимого спектра не обладает большим запасом энергии, чтобы непосредственно произвести большие патоло-

гические изменения. ЛПЭ лазера невелика, поэтому ожидаемый эффект, вероятнее всего, обязан блокированию цепей метаболизма посредством фотодинамического действия (R. W. Kaplan, 1948).

В качестве объекта исследований был использован штамм клубеньковых бактерий люцерны, выделенный из темно-каштановых почв Нагорного Карабаха. Перед облучением образец морфологически был проверен на гомогенность. Посев производился на дифференциальных полных и минимальных средах. Исходный штамм № 28 одинаково хорошо рос на них. Источником излучения служит газовый лазер (неон—гелий) непрерывного действия ЛОМО ЛГ-55, мощностью 1 мвт на рабочей частоте  $\lambda=6328\text{ \AA}$ . В побочном спектре излучения встречается большой набор гармоник волн инфракрасного участка  $\lambda=11400\text{ \AA} - \lambda=13300\text{ \AA}$ , который отсекался светофильтром КС-18.

Экспозиций воздействия: контроль, 5, 10, 15, 30, 45, 60 мин на расстоянии от выходного зеркала 150 мм, с плотностью энергии 365 эрг/м<sup>2</sup>.



Действие лазерного излучения длиной волны  $\lambda=3828\text{ \AA}$  на клубеньковые бактерии.

Обрабатывались колонии диаметром 2–6 мм на полной среде. Повторность опыта по экспозициям пятикратная. В общей сложности было проведено 35 облучений с суммарным временем более 16 ч. Обработка производилась в креостатном шкафу вместе с контролем при температуре  $t=4^\circ\text{C}$ . Облученные колонии переносились в смесь для определения титра на 1 мл супэгзии (И. А. Захаров, К. В. Квитко, 1967). Объем сбалансированного раствора 5,0 мл, температура  $t=4^\circ\text{C}$ . В качестве гомогенизатора служили фланкончики

емкостью 10,0 мл, куда вносились стеклянные бусинки. Время обработки 10—20 мин.

Бактерии для подсчета красились при помощи раствора акридинового оранжевого 1:5000 из разведения 0,1% маточного раствора, при pH=3,5 на буферной смеси Мак-Ильвейна. Пониженное значение pH объясняется необходимостью дифференциального определения клубеньковых бактерий по зеленому свечению нуклеотидов (А. Б. Зеленин, 1967; М. А. Мусаев, Т. Ю. Абдуллаева, В. В. Егизаров, 1969). Подсчет клеток проводился на сетке Горяева, люминесцентным микроскопом МЛ-2, увеличение в 100 раз. Данная методики положительно зарекомендовала себя на практике (табл. 1).

Таблица 1

Титр супензии на 1 мл ( $\times 10^6$ )

Время обработки, мин	Повторность				
	1	2	3	4	5
0	5,42	8,25	24,87	12,64	2,13
5	4,38	7,31	1,94	10,25	13,58
10	3,73	5,26	4,32	7,85	10,22
15	9,84	12,67	17,85	15,64	13,27
30	18,25	11,36	15,33	22,24	14,12
45	20,45	19,56	21,42	14,68	12,98
60	21,97	10,25	15,45	17,28	19,37

Для определения степени действия облучения мы использовали популяционный метод анализа. Для этого по каждому варианту опыта согласно титру делались разведения таким образом, чтобы в 0,05 мл содержалось около 2000 клеток. Посев проводился на дифференциальные среды. Образовавшиеся колонии подсчитывались и подвергались математико-статистической обработке, при этом большое внимание уделялось определению ошибок. Для расчета ошибок пользовались распределением Гаусса.

Определялась средняя арифметическая числа колоний:

$$\bar{x} = \frac{1}{n} \sum_{i=1}^n x_i,$$

где  $x_i$ —значения варианта,

$n$ —объем выборки,

$\bar{x}$ —средняя арифметическая.

Дисперсия—среднее квадратичное отклонение:

$$\sigma = \sqrt{\frac{1}{n} \sum_{i=1}^n d_i^2},$$

где  $\sigma$ —дисперсия,

$d_i$ —разность между средним арифметическим и вариантом.

Средняя квадратическая ошибка средней арифметической:

$$m_{\bar{x}} = \frac{\sigma}{\sqrt{n}}$$

Для определения доверительного интервала пользовались выражением:

$$x \pm 3m_{\bar{x}}$$

Вычислительные операции были произведены на ЭЦМ «Промінь» по биометрическим программам. Результаты сведены в табл. 2.

Таблица 2

Усредненные значения числа колоний по вариантам

Время облучения	Полная среда (бобовский агар)	Минимальная среда (Эшби)
0	456±118	504±81
5	328±67	215±61
10	236±56	139±33
15	181±43	116±37
30	157±42	89±27
45	120±29	74±19
60	102±32	70±21

Согласно данным табл. 2 аппроксимирован график, из которого следует, что летальное действие лазера проявляется как на полной, так и на минимальной среде. Наиболее резко это выражено для экспозиции 5—15 мин.

Нетождественность линий графика по средам говорит о наличии ауксотрофных мутантов, процент выхода которых для выбранных доз экспозиций, однако, невелик. Биохимическую структуру мутантов можно будет показать, работая на селективных средах.

Выводы

1. Когеррентный луч оптического квантового генератора—лазера, выбранной длиной волны  $\lambda=6328 \text{ \AA}$ , оказывает летальное действие на клубеньковые бактерии люцерны.

2. Характер летального эффекта не линеен, с увеличением доз экспозиции увеличивается его последействие.

3. Излучение приводит к образованию ауксотрофных мутантов.

ЛИТЕРАТУРА

1. Жакоб Ф., Вольман Э. Пол и генетика бактерий. ИЛ, 1962.
2. Браун Б. Генетика бактерий. «Мир», 1968.
3. Алиханян С. И. О некоторых закономерностях индуцирования изменчивости у микроорганизмов по количественным признакам. В сб.: «Генетика микроорганизмов». Медгиз, 1963.
4. Мусаев М. А., Абдуллаева Т. Ю., Егизаров В. В. Мутагенный эффект действия лазерного облучения на некоторые пасленовые культуры. Баку 1973.
5. Карлан R. W. Naturwissenschaften, 35, 127, 1948.
6. Захаров И. А., Квитко К. Р. Генетика микроорганизмов. Изд. ЛГУ, 1967.
7. Зеленин А. В. Люминесцентная цитохимия нуклеиновых кислот. «Наука», 1967.
8. Мусаев М. А., Абдуллаева Т. Ю., Егизаров В. В. Исследование хромосом растений методом люминесцентной микроскопии. Вестник с/х наук. 5, 1969.

Сектор микробиологии

Поступило 26. IV 1970

Т. А. Мартirosова, О. Г. Исмаилова, В. В. Егизаров

Далға узунлуғы=6328  $\text{\AA}$  олан Лазер шұасының көкјумрұчуглары бактеријаларына тә'сіри

ХУЛАСӘ

Тәддигат Дағлығ Геребег түнд шабалыды торпаг зонесындан көтүрмүш жончаның көкјумрұчугларында олан бактеријаларла апа-

рылмыш вә тә'инн. едилмишдир ки, квант кенераторундан верилән, үзүнлүгү = 6328 Å° олан Лазер шұасы бактеријалара өлдүрүчү тә'сир көстәрир.

Шұанын тә'сирини өјрәнмәк үчүн популация методундан истифадә едилмиш вә несабат соңра ријази статистика методу илә „Промін“ електрон несаблајычы машинында апарылмышдыр. Несабатда јол верилмиш сәһвләр Гаусс пајлашмасы илә нәзәрә алынмышдыр.

2-чи чәдвәлдә верилмиш кәтичәләрдән көрүнүр ки, Лазер шұасынын бактеријалара өлдүрүчү тә'сири мүнитдән асылы дејилди. Шұанын күчү ғлә онун тә'сири арасында әлагә жохдур.

T. A. Martirosova, O. T. Ismailova, B. B. Yegiazarov

### An effect of lazer Radiation with wave length L=6 328 Å° on the Nodule

#### SUMMARY

An effect of lazer radiation on Nodule of lucern (strain 28) was studied.

The source of radiation was gas lazer (neonjetium) of continuous action of LOAO LG-5b with powerly on wave L=6 328 Å°.

It is arranged that the cogerrent ray of optical guant generator—lazer render lethal effect on Nodule. The radiation brings to formation of aucsotrophic mutants.

АЗЭРБАЙЧАН ССР ЕЛМЛӘР АКАДЕМИЈАСЫНЫН МӘРУЗӘЛӘРИ

ДОКЛАДЫ АКАДЕМИИ НАУК АЗЕРБАЙДЖАНСКОЙ ССР

ТОМ XXX ЧИЛД

№ 7

1974

УДК 557.1578.067.9

#### ФИЗИОЛОГИЯ

В. Т. КУЛИЕВА

### ВЛИЯНИЕ НАФТЕНОВЫХ УГЛЕВОДОРОДОВ НА АЗОТИСТО-АМИНОКИСЛОТНЫЙ МЕТАБОЛИЗМ У ЖИВОТНЫХ В ЭКСПЕРИМЕНТАЛЬНЫХ УСЛОВИЯХ

(Представлено академиком АН Азербайджанской ССР М. К. Ганиевым)

Хроматографическое разделение нафталанской нефти—акад. А. М. Кулиевым и его сотрудниками А. М. Левшиной, А. А. Атальян, А. Н. Мурдовым на отдельные ее компоненты и их узкие фракции создает широкие возможности для установления действующего начала и расшифрования механизма действия на организм этого мощного уникального лечебного средства.

Проведенными в этом направлении исследованиями (М. А. Мехтиев, Ф. Т. Шахвердиева, С. С. Баладжаева, Ф. Б. Аскеров, Р. А. Бабаев, А. Мамедов, Е. Г. Гаузер, А. И. Исмаил-заде, Т. Кулиев, М. С. Гафулов, С. Садыхов, Ш. Гаджиев, Т. Амиров и др.) показано, что из всех компонентов нафталанской нефти нафтеновые углеводороды оказывают наиболее благоприятное действие на различные обменные процессы у животных. В связи с этим за последнее время развернулись исследования, направленные на изучение узких фракций нафтеновых углеводородов нафталанской нефти и их действия на животный организм.

Исследования химиков показали высокую цикличность нафтеновых углеводородов нафталанской нефти и наличие в них конденсированных структур и коротких боковых цепей.

Возникает еще другой вопрос. Оказывают ли аналогичное биологическое действие на организм и нафтеновые углеводороды промышленных нефтей?

В связи с этим в настоящей работе мы преследовали цель изучить характер азотисто-аминокислотного обмена при воздействии на организм как нефтеновоуглеводородного компонента нафталанской нефти и их узких фракций также и нафтеновых углеводородов бакинских промышленных нефтей.

Наши опыты проводились на 300 белых крысах-самцах линии Вистар, разделенных на аналогичные опытные и контрольные группы по 20 животных в каждой.

Животные опытных групп получали ежедневно в течение 10 дней внутрь в зависимости от вариантов исследований нафтеновые углеводо-

роды нафталанской нефти, их седьмую и восьмую фракции и нафтеновые углеводороды промышленной бакинской (Карачухурской) нефти на подсолнечном масле в дозе 500 мг/кг. Животные контрольных групп в этом же периоде получали соответствующее количество подсолнечного масла.

По 5—10 животных каждой группы подвергались исследованиям на 5-й и 10-дни применения и через 10 и 20 дней после прекращения применения испытуемых веществ.

Таким образом преследовалась цель выявить характер азотисто-аминокислотного метаболизма не только в период дачи, но и в период последствия указанных соединений.

Кровь для анализа бралась путем декапитации, утром патощак. В плазме крови определялись общий, аминный, остаточный азот и свободные аминокислоты.

Результаты исследований показали, что при применении внутрь в течение 10 дней нафтеновых углеводородов нафталанской нефти и их 7-й и 8-й фракций наблюдается повышение содержания общего и аминного азота при уменьшении остаточного азота как в период дачи, так и через 20 дней после прекращения.

Содержание общего азота при воздействии нафтеновых углеводородов составляло 2,1 г% ( $\pm 0,03$ ) против 2,1 г% ( $\pm 0,87$ ) в контрольной группе содержание аминного азота составляло 1,79 г% ( $\pm 0,025$ ) при контроле 1,27 г% ( $\pm 0,11$ ), содержание остаточного азота снизилось с 137 ( $\pm 9,43$ ) до 119 мг% ( $\pm 3,83$ ).

Такая общая закономерность сохраняется и при применении 7 и 8 фракций нафтеновых углеводородов нафталанской нефти.

Но при применении 8-й фракции, особенно насыщенной циклопентанпергидрофенантреном наблюдается максимальное содержание общего азота, доходящее до 2,45 г% ( $\pm 0,64$ ) при более резком снижении количества остаточного азота 115 мг% ( $\pm 0,92$ ).

Результаты исследования динамики азотистых фракций при применении нафтеновых углеводородов промышленных нефтей показали, что уже на 5-й день дачи их наблюдается снижение общего азота, затем к 20-му дню постепенное нарастание его.

Аминный азот находится на сниженном уровне и нормализуется лишь к 20-му дню после прекращения их дачи.

Количественное содержание остаточного азота постепенно растет, причем оно остается повышенным не только в период дачи, но и в течение 20 дней после прекращения применения и составляет 165 мг% ( $\pm 0,13$ ).

Из приведенных данных видно, что по своему биологическому действию на азотистый обмен нафтеновые углеводороды нафталанской нефти резко отличаются от нафтеновых углеводородов промышленных нефтей.

Если нафтеновые углеводороды нафталанской нефти и их фракции способствуют повышению синтетических процессов в организме (повышение уровня общего и аминного азота и снижение остаточного азота, повышение привеса подопытных животных), то при воздействии нафтеновых углеводородов промышленных нефтей превалируют, наоборот, катаболические процессы. Об этом говорит повышение уровня остаточного азота, свидетельствующее о процессе распада белковых веществ в организме, что подтверждается также уменьшением веса животных.

Наши показатели об азотистом метаболизме хорошо согласуются с данными Т. А. Кулиева (1972), установившим повышение количества общего белка и белковых фракций (особенно гамма-глобулинов), а также увеличение привеса животных при воздействии на организм нафтеновых углеводородов нафталанской нефти.

Стимулирующее действие нафтеновых углеводородов нафталанской нефти и их узких фракций также подтверждается данными наших исследований о динамике содержания свободных аминокислот плазмы крови при воздействии этих нафтеновоуглеводородных соединений.

Аминокислоты в крови определяли электронным аминокислотным анализатором. Аminoанализатором идентифицировано 24 нингидрипположительных веществ.

При применении нафтеновых углеводородов нафталанской нефти резко возросло содержание аспарагиновой кислоты, на 5-й день дачи аспарагина, глутамина, глутаминовой кислоты, пролина, глицина. Наблюдается снижение (уже с 5-го дня дачи) количества аммиака и мочевины. Умеренно растет количественное содержание таких незаменимых аминокислот как треонин, метионин. В общем количество аминокислот при применении нафтеновых углеводородов возросло почти в два раза. Нами приводятся результаты исследований при применении узких фракций нафтеновых углеводородов нафталанской нефти. При даче этих фракций мы наблюдали такой же характер сдвигов в содержании аминокислот, но эти сдвиги выражены более резко, особенно при применении восьмой фракции.

Общее количество свободных аминокислот при применении этой фракции нафтеновых углеводородов нафталанской нефти возросло более, чем в 2,5 раза.

Данные о повышении содержания аминокислот крови, сопровождающие одновременным повышением количества общего и аминного азота, белков крови (особенно гамма-глобулина) и снижением остаточного азота, свидетельствуют о высоком анаболическом состоянии белкового обмена, что обеспечивается лучшим перевариванием, всасыванием и усвоением аминокислот и повышением синтетических процессов в печени.

Следует отметить, что под влиянием нафтеновых углеводородов нафталанской нефти и их узких фракций не в одинаковой степени создается высокий фонд таких аминокислот, как аспарагиновая кислота, аспарагин, глутамин, глутаминовая кислота, глицин, аланин, пролин, таурин и др.

Это, видимо, объясняется тем, что несмотря на одинаковую направленность сдвигов в обмене белка и белковых фракций, азота и аминокислот в крови, все же синтетические процессы при этом протекают не в одинаковой степени.

Что же касается некоторых сдвигов в содержании свободных аминокислот в различные периоды применения нафтеновых углеводородов нафталанской нефти и их фракций, то их можно объяснить различной степенью синтеза и взаимопревращений белков крови и других физиологически активных соединений, содержащих различный набор аминокислот.

Суммируя весь материал наших исследований, можно прийти к заключению, что нафтеновые углеводороды нафталанской нефти и их узкие фракции, наиболее богатые циклопентанпергидрофенантреном, оказывают благоприятное влияние на азотисто-белковый обмен, в частности на аминокислотный.

Известно, что азотистый обмен у млекопитающих находится под прямым или косвенным контролем нейро-гормональных систем. При воздействии на организм нафтеновых углеводородов нафталанской нефти вопрос о сдвигах в эндокринной системе приобретает особый интерес, исходя из того, что содержащийся в нафтеновоуглеводородных составных частях нафталанской нефти циклопентанпергидрофенантрен составляет структурную основу всех стероидных гормонов, витамина «Д», желчных кислот и т. д.

Таким образом, наши данные об азотисто-аминокислотном обмене являются еще одним основанием, дающим возможность считать, что благоприятное воздействие на организм нафталанской нефти связано с нафтеновыми углеводородами, в особенности с их узкими фракциями.

В результате проведенных исследований показано, что как в период применения, так и в течение 20 дней после прекращения применения, нафтеновые углеводороды нафталанской нефти, особенно их узкие фракции, положительно отразились на азотисто-аминокислотный обмен, усиливая анаболические процессы в организме.

Нафтеновые углеводороды промышленных нефтей по своему действию на организм резко отличаются от нафтеновых углеводородов нафталанской нефти, усиливая катаболические процессы, оказывают отрицательное влияние на азотисто-аминокислотный обмен.

Институт физиологии

Поступило 28. XII 1973

В. Т. Гулиева

### Тәчрүбә шәрәнтинде нафтен карбоңидрокенләринин нејванларда азот-амин туршулары мүбадиләснә тә'сирі

#### ХУЛАСӘ

Апарылан тәдгигатлар шәтижесинде аждыналашдырылмышдыр ки, тәдгигат дөврүндә Нафталан нефтинин карбоңидрокенләри вә әсасен онларын фраксијалары азот-амин туршулары мүбадиләснә мүсбәт тә'сир едәрәк организмдә анаболик процессләри күчләндирir.

Сәнаје нефтинин нафтен карбоңидрокенләри организмә өз биологи тә'сиринә көрә Нафталан нефтинин карбоңидрокенләриндән кәсекин фәргләнәгәк азот-амин туршулары мүбадиләснә мәнфи тә'сир едир.

V. T. Kuliyeva

### The influence of nafthen carbohydrogen on the nitrogen-aminoacids metabolism of animals in experiment

#### SUMMARY

Results of experiments showed that naphthalene of carbohydrogens of naphthalan oil and their 7 and 8 fractions favourable effected on nitrogen and aminoacids metabolism and increased of anabolic processes of the organism.

Naphthalene carbohydrogens of the industrials oil increased of catabolic processes.

АЗЭРБАЙЧАН ССР ЕЛМЛӘР АКАДЕМИЯСЫНЫН МӘРҮЗӘЛӘРИ

ДОКЛАДЫ АКАДЕМИИ НАУК АЗЕРБАЙДЖАНСКОЙ ССР

ТОМ XXX ЧИЛД

№ 7

1974

УДК 725.345

#### АРХИТЕКТУРА

К. М. МАМЕД-ЗАДЕ

### О КОНСТРУКТИВНЫХ ОСОБЕННОСТЯХ ХРАМА НА ГОРЕ КИЛИСАДАГ

(Представлено академиком АН Азербайджанской ССР М. А. Усейновым)

Исследование памятников христианской архитектуры Азербайджана тесно связано с проблемой изучения истории материальной культуры Кавказской Албании. Каждый новооткрытый памятник вносит определенный вклад в историю архитектуры Азербайджана.

В связи с этим, большой интерес представляют остатки архитектурного памятника—храма, выявленного на горе Килисадаг в Беюк-Эмили Куткашенского района.<sup>1</sup> Сохранились стены здания, местами достигающие высоты 2 м. В плане храм круглый и был двухъярусный центрально-купольной композиции.

Истории архитектуры до сего времени известны шесть христианских храмов круглого плана: в сирийском городе Басра (511—512 гг.).<sup>2</sup> В с. Ляkit в Азербайджане (VI в.)<sup>3</sup>, Ишхани и Звартноц в Армении (643—652 гг.)<sup>4</sup>, Бана в Грузии (IX—X вв.)<sup>5</sup>, Гагикашени в г. Ани в Турции (1001—1020 гг.).<sup>6</sup>

Основой Килисадагского храма является круг внутренним диаметром 10,40 м<sup>7</sup>, толщина кладки—95 см. После кругового обхода, имеющего ширину 1 м, идет кладка внутреннего круга шириной 1 м при высоте 40 см. На этот круг опиралось восемь колонн, которые поддерживали купольную часть.

Главный вход в храм расположен на западной стороне, на его основной оси. Два боковых входных проема устроены с северной и южной сто-

<sup>1</sup> Памятник выявлен вторым отрядом Шеки-Закатальской археологической экспедиции под руководством и при участии Р. М. Вандова в 1971 г. Археологические работы были завершены в 1972 г.

<sup>2</sup> Всеобщая история архитектуры, т. 3, М., 1966, стр. 73.

<sup>3</sup> П. Д. Барановский. Памятники в с. Кум и Ляkit. Сб. «Архитектура Азербайджана эпохи Низами». М.—Баку, 1974, стр. 32.

<sup>4</sup> Р. Я. Агаджанян. Композиция купольных сооружений Грузии и Армении. Ереван, 1965, стр. 96.

<sup>5</sup> Г. Н. Чубинашвили, Н. П. Северов. Пути грузинской архитектуры. Тбилиси, 1936, стр. 65.

<sup>6</sup> В. М. Арутюнян. Город Ани. Ереван, 1964, стр. 59.

<sup>7</sup> Р. М. Вандов, К. М. Мамед-Заде, Н. М. Гулиева. Новый памятник архитектуры Кавказской Албании. «Археологические открытия». М., 1972, стр. 487.

рон. Судя по строительным остаткам, входные проемы имели циркульные арки.

К основному объему храма с северо-востока и юго-востока примыкают два придела также круглые в плане (диаметр—2,3 м). Наружная поверхность каждого придела украшена четырьмя парными декоративными цилиндрическими колоннами.

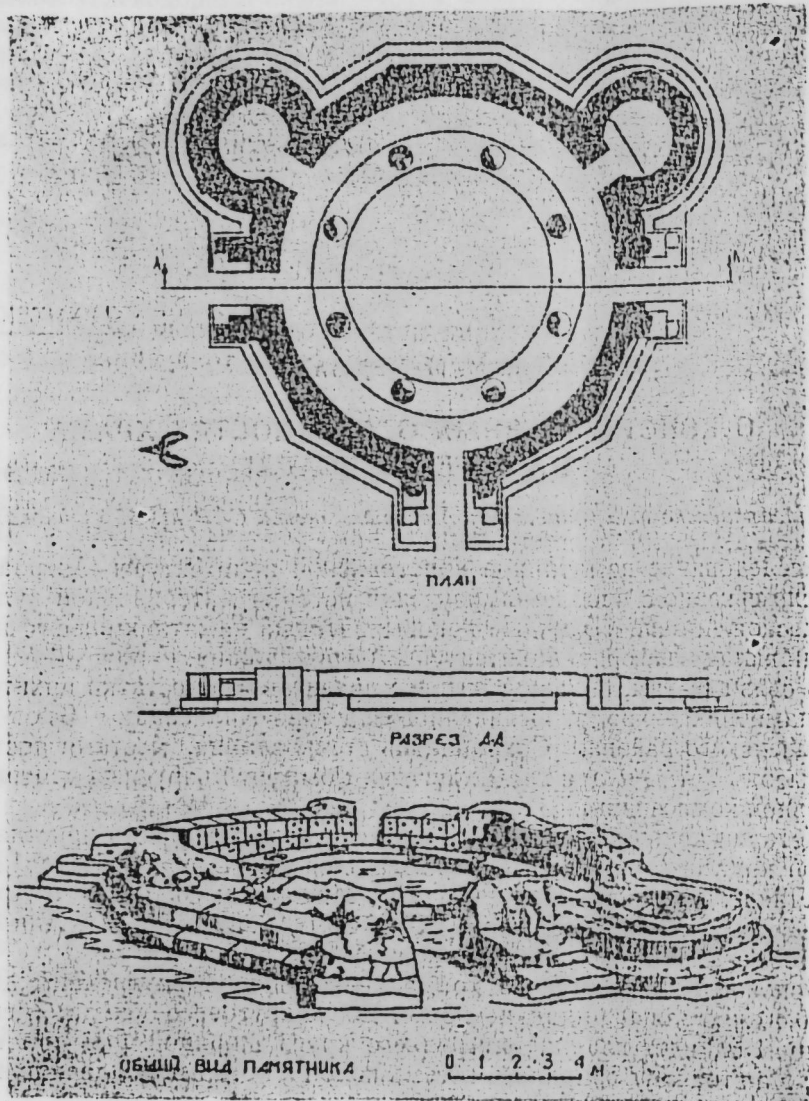


Рис. 1

Стены храма и его приделов устроены на двухступенчатом каменном стилобате двенадцатигранном в плане. Они сложены из чистотесаных каменных блоков ( $60 \times 80 \times 40$  см) пористого известия, называемого местным населением «Пуч даш». Забутовка стен—булыжник на известковом растворе. В строительстве храма использован обожженный кирпич ( $26 \times 26 \times 6$  см).

Храм на горе Килисадаг, вероятно, представляет собой одну из исходных форм круглоплановых христианских памятников. Композиция трехъярусных храмов была известна с VI в., памятники этого рода с двухъярусной композицией известны еще ранее. Двухъярусная композиция была основой развития трехъярусной.

Все эти элементы, сравнительный анализ, а также изучение камен-

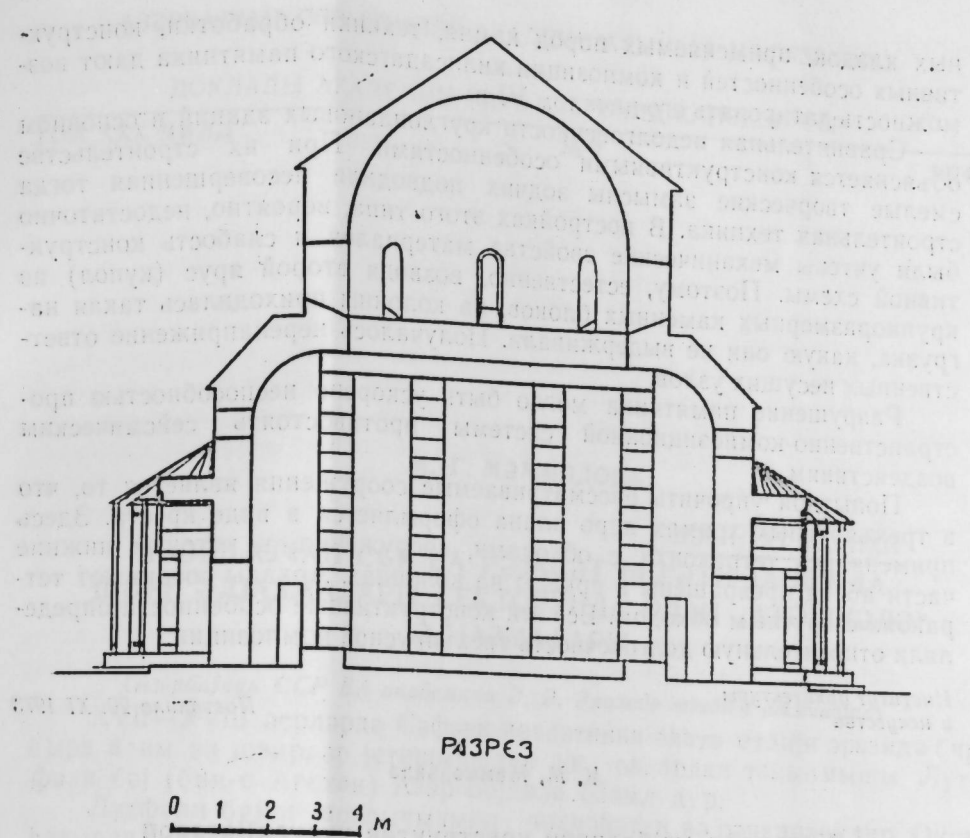
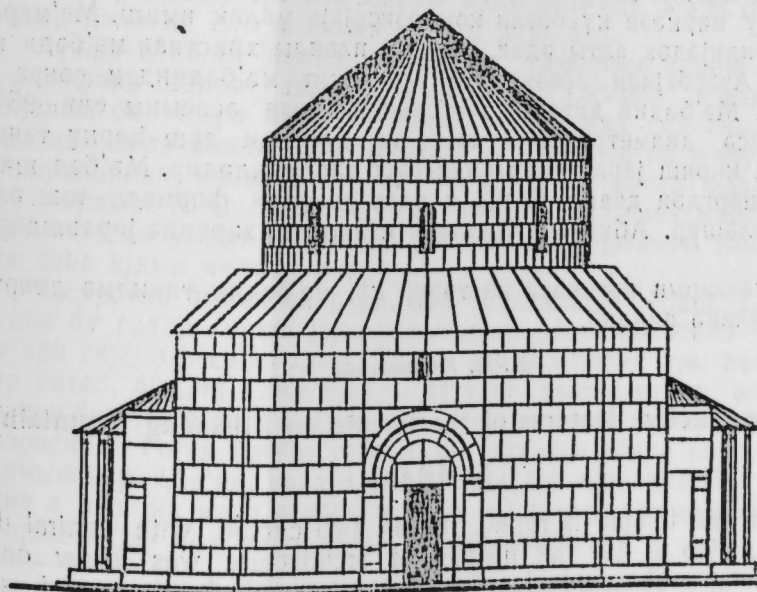


Рис. 2



ГЛАВНЫЙ ФАСАД

Рис. 2

ных кладок, применяемых пород камня, техники обработки, конструктивных особенностей и композиции килисадагского памятника дают возможность датировать его началом VI в.

Сравнительная недолговечность круглоплановых зданий в основном объясняется конструктивными особенностями. При их строительстве смелые творческие замыслы зодчих подводила несовершенная тогда строительная техника. В постройках этого типа, вероятно, недостаточно были учтены механические свойства материалов и слабость конструктивной схемы. Поэтому, естественно, возводя второй ярус (купол) из крупноразмерных каменных блоков, на колонны приходилась такая нагрузка, какую они не выдерживали. Получалось перенапряжение ответственных несущих узлов.

Разрушение памятника могло быть ускорено неспособностью пространственно-композиционной системы противостоять сейсмическим воздействиям.

Попыткой упрочить рассматриваемые сооружения является то, что в трехъярусных храмах ядро плана оформляется в виде креста. Здесь применялись тетраконхи с обходами, сооружения, в которых нижние части абсид превращены в аркады на колоннах. Аркады соединяют тетраконхи с круглым обходом. Все эти конструктивные особенности определяли относительную долговечность трехъярусной композиции.

Институт архитектуры  
и искусства

Поступило 20. XI 1973

К. М. Меммэзадэ

### Килсәдағ мә'бәдинин конструктив хұсусијәтләре

#### ХУЛАСӘ

Мә'бәд планда даирәви формада олуб, харичи көрүнүшүнә көреки жаруслу мәркәзи құибәзли композицияда малик имиш. Мә'марлығ тарихинә индијәдәк алты әдәд даирәви планлы христиан мә'бәди мәлум иди. Азәрбајҹан әразисинде исә ләкит мә'бәдиндән соира бу, иккінчилир. Мә'бәдин дивар конструкциясының әсасыны ени 95 см, дахилдән исә диаметри 10,4 м олар даирәви даш һөркү тәшкіл едір. Әсас кириш јери тикингинин гәрб тәрәфиндәдір. Мә'бәд шимал вә ҹәнуб-шәргдән диаметри 2,3 м олар даирәви формада ики әлавә отагла бирләшир. Абидә иккипилләли стилобат үзәриндә јерләшдирилмишdir.

Тәдгигаттарын нәтижеси көстәрир ки, мә'бәдин тикилмә дөврү VI әсрин әvvәlinе аниддир.

K. M. Mamedzade

### On constructive features of the temple on Kilişdag mountain

#### SUMMARY

In plan the temple is round. It was two circled with central dome composition. Up to day the history of architecture was know only 6 Christian tempis of round plan. In the territory of Azerbaijan it is the second temple. The base of the temple is a circle with 10,4 m inner diameter. The thickness of masonry is 95 cm. The main entrance is on the western side. Two round chapels (2,3 m) side with the main entrance form north-east and South-east. The temple is situated on the two stepped stile stilobat. The results of our investigation fermits us to date the temple from the beginning of VIc.

М. Г. Мәммәдова

### ЭДӘБИЙЛАТ ТАРИХИ ШӘРГ ӘЛЛАЗМАЛАРЫ СЕКТОРУНДА ОЛАН „АТӘШКӘДӘ“ ӘЛЛАЗМАЛАРЫ

(Азәрбајҹан ССР ЕА академики Ә. Әлизадә тәгдис и етүүшдүр)  
XVII—XVIII әсрләрдә Сәфәви дөвләтинин әнатә етдији әразидә Сир-

сыра алым вә шаирләр йетишишdir ки, онлардан танынышы Лут-

фәли ҆әј (бин-е Ағахан) Азәр Бәјдилі Шамлайдур.

Лутфәли бәјин јарадычылығы чохчәһәтли вә рәнкарәнкдир. Онун назырда шәргшүнаслары, нәзәрини чәлб едән „Атәшкәдә“ тәэкираси, „Jusif вә Зүлејхә“, „Мәснәвије—Азәр“, „Фәрагиамә“ гоемалары вә „Диван“ы мөвчүддүр. Илк мәнбә олар „Әнчүмәне-хаган“<sup>1</sup> вә „Төһфәтүл-аләм“<sup>2</sup> тәэкирәләринин вердији мә'lумата көрә әдибин „Кәнчинәтил-һәгг“ вә „Дәфтәре-нәһ асман“ адлы даһа ики әсәри отмушдүр ки, булар һәләлик елм алминә мә'lум дејилдир.

Лутфәли бәјин јалныз „Атәшкәдә“ тәэкираси кениш јајылмыш вә мүәллифинә шөһрәт газандырышдыр. Бу әсәрин ә"јазма нүсхәләри дүнjanын бир сыра музей вә китабханаларында сахланылыр. „Атәшкәдә“нин белә кениш јајылмасының әсас сәбәби онун өзүндән әввәлки тәэкирәләрдән мәзмүи вә үсүлбча әсаслы сүрәтдә фәргүәмәси илә әлагәдардыр. Халгын „Атәшкәдә“ тәэкирасинә олар мараг вә тә'ебатыны Һәсән Садат Насиринин „Атәшкәдә“је јаздығы тәнгиди мәтнин дән даһа аյдын көрмәк отар<sup>3</sup>.

Чәсарәтлә демәк олар ки, һеч бир тәэкирә Шәрг халглары арасында бу гәдәр кениш јајылмамышдыр. „Атәшкәдә“нин ә"јазма нүсхәләри сајсыз-несабсыздыр. Тәкчә һәмин ә"јазма ары нағында бөյүк бир китаб, айрыча елми-изайлы каталог тәртиб етмәк олар. Тәэкира иәники бир гр. үзияты арасында, ejni заманда, кениш ха/г күтәләрни чәрисиндә бөйүк рәғбәт газанмыш, гијметли абидә кими горунуб сахланышдыр. Ше'ри, сәнәти „Атәшкәдә“дән өјрәнимәк бир ән'әнә шәклини а"дьына көрә әсәрин ә"јазма нүсхәләри күн-күндән артмыш вә дүнjanын бир чох өлкәләринә јајылмышдыр.

<sup>1</sup> ССРИ Шәргшүнаслыг Институтунын Ленинград ше'бәси.

<sup>2</sup> محمد فاضل خان راوی، انجمن خاقان، ص. ۱۸.

<sup>3</sup> سید عبد الطیف خان نتری، نutsche العالم، حیدر آباد، ۱۲۱۶، ص. ۱۴.

آتشگاه، تالیف لطفعلی بگ بن آغاخان بیگدلی شاملو تخلص به آذر، باتصحیح

و تحقیق حسن سادث ناصری، تهران، جلد ۱ ص. ۲

Бурада „Атәшкәдә“ тәзкирәсинин әлјазма нұсхә: ери һаггында тәғислаты илә данишмаг мүмкүн дејилдир. Азәрбајҹан ССР ЕА ШӘС-дә олан нұсхәләр барәдә мә’лumat верәчәјик.

ШӘС-дә „Атәшкәдә“ тәзкирәсинин дөрд әлјазма нұсхәси мұнағизә олунур. Доғр д р, бу ә’јазма: ар Иранъын Сүпәһсалар мәсчиди-нин китабханасында саҳланылан нұсхәләр гәдәр гәдим дејилдир. Сүпәһсалардакы „Атәшкәдә“ләр истәр тарихилик вә истәрсә дә нәфис никән чәһәтдән сох гијметлидир. Лакин ШӘС-дә олан ә’јазма нұсхәләринин дә өзүнәмәхсүс үстүнлүкләри вардыр. Бүнлар Д-20, М-240, С-103 вә М-238 шифреләр алтында саҳланылыры.

Д-20 нөмрәли „Атәшкәдә“ ә’јазмасы истәр мәтниин мүкәммәлиji вә истәрсә дә г. рулушу чәһәтдән јердә га: аи үч нұсхәдән фәрглидир. Белә ки, әсәрин әввәлинә једди вәрәгдән избәрет көстәричи әлавә едилмишdir. Бу форма шаир: әр һаггында олан мә’лumatлары асан тапмагда фајдалыдыр. Һәмин чәдвәл биринчи „Мәчмәра“нин биринчи „Шә’лә“сіндә олан шаһлар, шаһзадәләр, әмир вә ә’jan: ар һиссәси һаггында мә’лumat алмаг үчүн әлвериш иди. Лутфә и бәйин неч бир принципә әсасламадан тәртиб етдиши һәмин „Шә’лә“ Д-20 нұсхәсіндә әлифба сырасы илә җазылмышдыры.

Чәдвәл ижи формада чәкилмишdir. Биринчи „Шә’лә“ үчүн айры көстәричи, галан һиссәләре исә башга форма тәртиб едилмишdir. Биғинчи „Шә’лә“нин чәдвәли сәһиғә, сәтири вә әлифба сырасы, галан һиссәләре исә сәһиғә, сәтири, шаирләрин вә ви аյәтләрин ад ары формасында-дыры. Мәтнідәки хырда һәстә’lig хәтдән фәргли слараг, чәдвәл ири һәстә’liglә җазылмышдыры. Китабын әввә: индәки әлавә чәдвәл „Атәшкәдә“дән истифадә едән шәхс тәрәфиндән тәртиб ол: имуш: р. Әсәрин үзү Ңәзәр тәхәллүслү Әманулла иби Тәғи бәј Зәңкәнә тәрәфиндән көчүрүлмүшdir.

Әлјазманын мәтниин тамлығы вә сәһвләринин аз олмасы бизи белә гәнаәтә кәтирир ки, бу „Атәшкәдә“ Азәрин өз сағлығында вә յаҳуд вәфатындан аз соңра илк нұсхә әсасында җазылмышдыры. Ә’јазмасынын көчүрүлмә тарихи гејд олунмамышдыры. Катибин өзүнә көтүрдүјү „Нәзәр“ тәхәллүсүндән айынлашмышдыры ки, о, шаир имиш. Әлјазмасынын чилди тирмәдән, һәчми 252 вәрәг, һәр сәһиғәдә сәтири сајы 25, өлчүсү 29,5 × 18,5 см-дир. ҟазылдығы јер гејд едилмәмишdir.

М-240 нөмрәли „Атәшкәдә“ нәфис җазылышы вә қөзәт тәртибинә көрә Азәрбајҹан ССР ЕА Рәјасәт һеј’әти җанында Шәрг Ә’јазмалары Секторунун експозиция салонунда нұмајиши етдирилир. Әсәрин башығынын чох инчә ишләниш орнамент бәзәјир. Китаб боју әр и бојадан истифадә едилмиш, 1 а вә 2 б вәрәгләри зәриф буталарла мүзәјжәнәшдирилмишdir. Нұсхә, мәтниндәки дәғиглик чәһ тән Д-20 шифрелі әлјазмасы гәдәр гијметли олса да б. радакы ше’рләр ихтиарла җазылмышдыры. Әлјазмасынын чилди гәләмдәни, вәрәгләри к старды. 1251-чи (1835-чи милади) илдә һәстә’lig-шикәстә хәтти илә Исфаһанда көчүрүлмүшdir. Көтиб өз адыны гејд етмәнишdir.

ШӘС-дәки „Атәшкәдә“нин үзү 1245-чи һичри (1829-чу милади) илдә Мәһәммәд Бағыр иби Мәһәммәд Исмајыл тәрәфиндән қөзәл, инчә һәстә’lig хәтти илә җазылмышдыры. Көчүрүлдүјү јер гејд олунмамышдыры. С-103 шифрә алтында олан һәмин китабын һашијәсіндә катибин ешиди-билдиши ше’рләрдән әлавәләр вардыр. Һәмин әлавәләр әсәрин мәтниен хәләл кәтирмиш.

Чилди медалјонлу гара мешиндәнлир. Мәтни җазыларкән гара вә гырмызы мүрәккәбләрдән истифадә еди-мишdir. Һәчми 228 вәрәг, өлчүсү 18 × 27 см, һәр вәрәгдә сәтири сајы 22-дир. Китабын башлығында јер гојулса да орнамент чәкилмәмишdir. Әсәр ири һәстә’lig-шикәстә хәтти илә кустар вәрәгләрдә җазылмышдыры.

Дөрдүнчү „Атәшкәдә“ қөзәт һәстә’lig хәтти илә 1251-чи илдә (1835-чи милади) Исфаһанда көчүрүлмүшdir. М-238 нөмрәли бу әлјазмасында катиб өз адыны гејд етмәнишdir. Һәчми 228 вәрәг, өлчүсү 18 × 27 см, һәр вәрәгдә сәтири сајы 22-дир. Китабын башлығында јер гојулса да орнамент чәкилмәмишdir. Әсәр ири һәстә’lig-шикәстә хәтле кустар вәрәгләрдә җазылмышдыры.

Әлимиздә олан бу дөрд әлјазмасынын һамысы „Атәшкәдә“нин гијәвә յанлыш көчүрүлмүш сәзләре тәсадүф етмәк мүмкүндүр. Бу сәһвләрдин эксәриjjәти кичик һәрфләрдән, өн шәкилчилеридән вә соңлугран сәзләрдән ибарәтdir. Бу յанлышлыглар әсасән әсәрин ше’рләр һиссәсіндә өзүнү көстәрир. Шаирләрин һәјатында бәһс едән мә’лumatларда да фәргли фикирләре тәсадүф етмәк мүмкүндүр. Әлимиздә олан дөрд „Атәшкәдә“ нұсхәсіндәки фәргли чәһәти јохлајыб үзә чы-хармаг вә беләликлә дә тәзкирәнин тәнгиди мәтниин тәртиб етмәк мәсәләси гарыша гојулмадығындан әсәрин бир вәрәгиндәки уғуныз-луг вә я сәһв чәһәтләр һаггында данышмағы фејдалы несаб етдик. Биз бу мүгајисәни Азәрбајҹан шаирләринде Гәтран Тәбризинин һәјат вә йарадычылығындан данышылан һиссәдә едәчәјик. Дөрд нұсхәдә олан мә’лumatлар ашағыдақы шәкилдәдир.

M-238-чи нұсхәнин 39-чу сәһиғәсіндә Гәтранын ады Гәтран иби Мәнсур, M-204 вә C-103-дә һәким Гәтран, D-20-дә исә һәким Гәтран Мәнсур кими җазылмышдыры. Онун һәјатына анд дүзкүн мә’лumatы M-238 нөмрәли әлјазмасы верири. Орада бу һагда белә җазылмышдыры:

اوسلاطین تبریز بوده‌اند قول ثانی راجح است ...  
... غوفى و ساير ارباب تذکره اورا تبریزی !وشه ونظر باينکه ممدوح

(Мәһәммәд Оефи вә башга тәзкирә саһибләри ону тәбризли җазылышлар вә онун мәдһи етдиши Тәбрiz һәкмәнләрди отдуғындан икинчи фикир дүздүр).

АЗәр Лутфәли бәј өзүндән әввәл յараныш Мәһәммәд Овфинин тәзкирәсінә үстүнлүк вәрәрәк онун мә’лumatыны тәсдиг етмишdir. „Атәшкәдә“нин үзүнү көчүрән катибләр исә бурада гејд олунмуш Мәһәммәд Овфи адыны ашағыдақы кими җазылышлар:

مئر قونى عرفى (Mehr Urphi), M-20, сәh. 33 дә үстүнلүк (دو سلطان-е تبریز) сәзү исә һәмин нұсхәләрдә (دو سلطان-تبریز) ики Тәбрiz султаны кими көчүрүлмүшdir. Бу յанлыш көчүрмәләрдин бә’зиси фикри аилашылмаз етмишdirсә дә эксәриjjәти мәзмұна хәләл кәтирмәмишdir. Гәтранын бурада җазылыш ше’рләрindәки дәјишикликләре һәзәр јетирәк: خیال شام فراق تبان بروز اندوغى، آنچه اندوغى داش ماتلەنلە باشланان گәсидәсінні охучулара тәгдим етмишdir. Һәмин ше’рин биринчи бејтиндә олан (شام فراق-فېراغ) — фәраг кечәси сәзү бүтүн нұсхәләрдә „рузе-فېراغ“ — (فېراغ کүнү) илә әзәз едилмишdir. Көрүндүјү кими, ше’рин бу һиссәсінен орижиналда олдуғу шәкилдә җазылмамасы онун мәзмұнуны бир гәдәр дәјиширмишdir. Белә ки, бурда фәраг кечәси фәраг күнүнә чөвриләрек ше’рдәки дәрии мә’наны бәситләштирмишdir. „Атәшкәдә“ је көчүрүлмүш бу парча бүтүн нұсхәләрдә мұхтәлиф формада олан дәјишикликләре һәзәر чарпдығындан, Гәтран Тәбризинин ШӘС-дә мұнағиэ олунан дивь-

\* „Атәшкәдә“, әлјазмасы, M-238, ШӘС, сәh. 23.

нына мурғчыят стыэли олдуг. „Диван“ла „Атәшкәдә“ нұсқалары мұ-  
гаисе өдиләркән ашағыдағы фәргләр иессәре үзілімшілдір:

جلال گردم بىر خويشن فراق حرام - حرام گردم بىر خويشن وصال حلال  
کەدر وصال تواندوه از نبیب فراق - کە در فراق بود شادی از هید وصال

(О фәраг ки, писдир, нарамдыр, мән ону өзүмә һалал етдим. Һалал вұсалы да өзүнә! нарам етдим. Она көрә ки, сәнни вұсалында оларкән, көлүмдә айрылығын горхусундан бир гәм кизләніп; сәнни фәргында оларда исә үстал үмиди илә көнлүмдә бир шадлығ олур).

Дивандың биринчи мисрәде дејилмиш, „о фәраг ки, ашиг ону истәмәз, мән ону өзүмә һалал етдим, һалал олан вұсалы исә истәмәдим“ фикри М-238 әлжазмасында әксисе дејилмишdir. Бұрга вұсал нарама чеврилмиш, фәрагына ашигә һалал олмасы фикри ирәли сүрүлмушшдүр. „Диван“дакы әндөв аз نبیب فراق (Фәрагын горхусундан гәмим олур) мисрасы Д-нұсхәсіндә

در وصال تواندوه بود نبیب فراق - کەدر فراق شادی بود هید وصول

Сәнни вұсалында оларкән айрылығын горхусундан гәмим олур кими յазылмышдыр. Бурада әндөв (бөвәд әндүү) гәм олур сөзүнә ў (сән) кәлмәси әлавә өдилмишdir. Д-20-дә бириначи бәйт дивандакы ишәнін олса да иккінчи бәйтдә сәһвләр М-238-дәкі кимидir. Шे'рин башга бир бәйткә нәзәр жетирәк:

جو چشم عاشق در گریدون - چوناز خوبان در پیجد آب در گرداب

(Ашигин көзү кими кәрдүңда (фәләкдә) булуд ағлајыр, су бурулғанда көзәлләрни көбәжи кими бурулур).

Бурадакы گرید—ағлајыр сөзү С, Д вә М-204-дә گرید—керje (ағламаг), Абр—абр-булуд сөзү بـ—аб-су, (фәләкдә) сөзү М-204-дә گـ—از ھـ—фәләкдә, چـ—پـ—пичәд (бурулур) сөзү исә бүтүн нұсхәләрдә нәгтәләрнин յазылмамасы илә бәрабәр, Д-нұсхәдә мә'на ифәдә етмәјән بـ—(јиһ) шәклиндә көчүрүлмушшдүр. Гәтран Тәбризинин ше'рләри һәр дөрд әлжазмасында мүәжжән сәһвләрлә յазылмышдыр. Лакин Д-20 нұсхәсіндә бәйтләриң сағы чох, сәһвләр исә башга нұсхәләрә иисбәтән аздыр.

Көрүндују кими, „Атәшкәдә“нин әлимиздә олан бу дөрд әлжазма нұсхәсінин мәтниндәки катиб сәһвләри, һәрфи хәталар, іөгтәләрни јеринде ғоюлмамасы, әксәр һалда ше'рин мәзмұнуна хәләл кәтирмәјән, лакин дејилиш вә охуинушуну ағырлашдыран дәјишикликләр, бәйтләрни гысалдылмасы, бә'зән тамамилә көчүрүлмәмәси, тарихләрни көчүрүлмәмәси (Д-20 нұсхәдә бу һала аз тәседүф өдилір), йанлыш յазылмасы вә с. шәклиндәдір. „Атәшкәдә“нин (лами-тәнгиди мәтни յазыларкән бу нәгсанларын арадан галдырылымсы үмидиг дәйнік.

Шәрг әлжазмалары белгеси

Алматышдыр II. III 1973

М. Г. Мамедова

Рукописи „Атешкеде“, хранение Сектора восточных  
рукописей при Президиуме АН Азербайджанской ССР

#### РЕЗЮМЕ

В XVII—XVIII вв. на территории Сефевидского государства жили и творили многие учёные и поэты народов Востока, имена которых хотя и известны в истории азербайджанской и персидской литературы, но жизнь и творчество многих из них почти не изучены.

Среди таких учёных и поэтов особое место принадлежит Лютфали беку Азару Бегдили.

В этой статье автор ставит перед собой задачу изучить и сопоставить четыре рукописи известной антологии Лютфали бек Азара под названием «Атешкеде», хранящиеся в Секторе восточных рукописей при Президиуме АН Азербайджанской ССР.

В результате изучения автором установлено, что рукопись хранящаяся под шифром Д-20, является наиболее полной и безошибочной, имеет первостепенное значение в изучении творчества классиков, которые жили и творили на Ближнем Востоке и может лечь в основу будущего критического текста по данной рукописи.

Mehri Mamedova

„The Atashkada“ manuscript in the section of oriental  
manuscripts at the presidium of the academy  
of sciences of the Azerbaijan SSP

#### SUMMARY

In the XVII—XVIII centuries many scholars and poets of the eastern peoples lived and created in the territory of the Safavid State. A prominent place among those scholars and poets belongs to Lutfali bey Azer Begdili.

The task of the author in this article is to study and compare the four well-known anthologies by Lutfali bey Azer Begdili, called „The Atashkada“ which are kept in the section of Oriental manuscripts at the Presidium of the Academy of Sciences of the Azerbaijan SSR.

## МУНДЭРИЧАТ

### Ријазијјат

Р. И. Элиханов. Кэсилән эмсаллардың түкәк тәртибли гејри-хәтти сло-  
липтик тәнлилүүчүү үчүн бир сәрхәд мәсөләсүнүүн зәйф һөлләринин һамарлыгы һагтында . . . . . 3

### Механика

Ф. Д. Төмурев. Мүгавимәтли мүһитдәки телә енишә зәрбәнни тәдгиги . . . . . 7

### Физика

И. Б. Абдуллаев, Н. И. Ибраһимов, И. И. Искандаров.  
Аморф вә маје селенин гурулушуна даир . . . . . 13

### Диелектрикләр вә јарымкечиричиләр физикасы

М. Э. Бағыров, З. Џ. Сүлејманова, Ж. Ж. Волченков,  
В. П. Малин, Ж. Л. Пешанская, Ж. Н. Газарян. Сынаг ста-  
билизаторларынын полистилен структурунун электрик бошалмаларынын тә'сири  
алтында дәйшишмәсүнә тә'сири . . . . . 20

### Автоматика

З. Џ. Гулиев, П. В. Воропаев. Коррекция гургусунун өтүрмә  
функциясынын реализация методу . . . . . 25

### Нефт кимјасы

Н. А. Абасова, И. А. Мәмәдов, Л. И. Мустафаева.  
Тиосулфат туршусунун алкилоксивензил ефиринын алымна реаңсаңынын кине-  
тикасынын өјрәнилмәсү . . . . . 29

### Үзви кимја

Ә. Н. Исаев. Карбон туршулары хлоранидридләринин аллил  
типли хлоридләрле реаңсаңы . . . . . 33

М. М. Мөвсүмзадә, Ә. Л. Шабайов, А. С. Қазымов,  
З. А. Сәфәрова.  $\Delta^4$ -тетраидрофтал вә 4-метил- $\Delta^4$ -сис-тетраидрофтал  
анидридләринин оксираила элагәли бромлашмасы . . . . . 38

### Филиз јатаглары

М. Э. Гашгай, Ч. Э. Азадәлиев, М. М. Самадов, И. И.  
Элиев. Ордубад синклиниориндә чивә филизләшмәсү вә онун јерләшмәсү-  
нин бәзин хүсусијәтләри һагтында (Кичик Гафгазын чөнубу) . . . . . 42

### Индрокеолокија

Ч. М. Сүлејманов, В. А. Листенгарте. Күр вадиси Дөр-  
дүчү дөвр чөкүнтуләринин јералты дузлу сularы һагтында . . . . . 46

### Нефт вә газ јатагларынын ишләнилмәсү

М. Т. Абасов, Д. А. Бабаев, Е. М. Гараева, Ф. Н. Оручи-  
ев, Е. И. Петрушевски. Чохлајлы газ јатагларында истиесмар  
гуулары фондунун динамикасынын оптималь ишарә өдилмәсү . . . . . 52

### Индродинамика

Ж. Э. Ибадзадә, С. Г. Гурбапов, А. Н. Рустемов. Чај  
вә канал сularына чиркаб сularынын төкүлмәсү вә јајылмасы . . . . . 56

### Биткиләрин анатомијасы

Акад. В. Х. Тутајуг, М. К. Мустафаева. Гырмызы (*Juniperus rufescens*) вә ағыр ижли (*Juniperus foetidissima*) ардыч иjnәләринин анатомијасы . . . . . 61

### Торпагшұнаслыг

С. Э. Элиев. Нахчыван МССР торпагларында каталазанын фәллалыгы-  
ның енеркетик көстәричиләри һагтында . . . . . 66

### Нелминтолокија

Ж. Ф. Мәликов, Ч. Г. Чабаров. Кичик Гафгазын һөјвандарлыг  
районларында протостронкилләрни аралыг саһибләринин ашкар өдилмәсүнә даир . . . . . 69

### Микробиологија

Т. А. Мартirosova, О. Г. Исмаилова, В. В. Екизаров.  
Далға узуилугу=6328 Å олан Лазер шұасының көкјумрұчуглары бактеријалары-  
на тә'сири . . . . . 74

### Физиологија

В. Т. Гулиев. Тәчрүбә шәрәнтindә нафтен карбоидрокенләринин  
һөјвандарда азот-амин туршулары мүбадиләсүнә тә'сири . . . . . 79

### Ме'марлыг

К. М. Мәмәзов. Қылсадағ мә'бәдинин конструктив хүсусијәтләри . . . . . 83

### Әдәбијат тарихи

М. Г. Мәмәзов. Азәрбајҹан ССР ЕА Рәјасәт һөј'ети јанында Шәрг  
Әлжазмалары Секторунда олан «Атәшкәдә» әлжазмалары . . . . . 87

## СОДЕРЖАНИЕ

<b>Математика</b>	
Р. И. Алиханова. О гладкости слабых решений одной краевой задачи для нелинейного эллиптического уравнения высшего порядка с разрывными коэффициентами . . . . .	3
<b>Механика</b>	
Ф. Д. Теймур ов. Исследование поперечного удара телом конечной массы по гибкой связи конечной длины, находящейся в сопротивляющейся среде . . . . .	7
Чл.корр. АН СССР Г. Б. Абдуллаев, Н. И. Ибрагимов, Г. И. Искендеров. К вопросу о структуре аморфного и жидкого селена . . . . .	13
<b>Физика диэлектриков и полупроводников</b>	
М. А. Багиров, З. Г. Сулейманова, Е. Я. Волченков, В. П. Малин, Ж. Л. Пещанская, Ю. Н. Газарян. Влияние опытных стабилизаторов на изменение структуры полизтилена под действием электрических разрядов . . . . .	20
<b>Автоматика</b>	
З. Я. Кулиев, П. В. Воропаев. Метод реализации передаточной функции корректирующего устройства . . . . .	25
<b>Химия нефти</b>	
Н. А. Абасова, И. А. Мамедов, Л. И. Мустафова. Кинетическое исследование реакции образования алкилсебациловых эфиров тиосериновой кислоты . . . . .	29
<b>Органическая химия</b>	
А. Г. Исмаилов. О реакции хлорангидридов карбоновых кислот с хлоридами аллильного типа . . . . .	33
<b>Органическая химия</b>	
Член-корр. М. М. Мовсумзаде, А. Л. Шабанов, А. С. Кязимов, З. А. Сафарова. Сопряженное бромирование $\Delta^1$ -Ц/С-тетрагидрофталевого и 4 метил- $\Delta^4$ -Ц/С-тетрагидрофталевого ангидридов с оксиранами . . . . .	38
<b>Рудные месторождения</b>	
Академик М. А. Кацкай, Дж. А. Азадалиев, М. М. Самедов, Г. И. Алиев. О ртутном оруденении в Ордубадском синклиниории и некоторых особенностях его размещения (юг Малого Кавказа) . . . . .	42
<b>Гидрогеология</b>	
Д. М. Сулейманов, В. Л. Листенгарден. О минерализованных подземных водах четвертичных отложений Куринской депрессии . . . . .	46
<b>Разработка нефтяных и газовых месторождений</b>	
М. Т. Абасов, Д. А. Бабаев, Э. М. Караваева, Ф. Г. Оруджалиев, Е. И. Петрушевский. Оптимальное управление динамикой действующих скважин в пластах при разработке многослойного газового месторождения . . . . .	52

## Гидродинамика

Ю. А. Ибадзаде, С. Г. Гурбанов, А. Н. Рустамов. Определение концентрации вещества загрязнения в реках и каналах при различных эпюрах выпуска сточных вод . . . . .	56
--	----

## Анатомия растений

Акад. В. Х. Тутаюк, М. Г. Мустафаева. Анатомия хвои красных ( <i>Juniperus rupestris</i> ) и тяжелопахучих ( <i>Juniperus foetidissima</i> ) можжевельников . . . . .	61
---	----

## Почвоведение

С. А. Алиев. О энергетических показателях активности каталазы в почвах Нахичеванской АССР . . . . .	66
---	----

## Гельминтология

Ю. Ф. Меликов, Д. Г. Джаббаров. К выявлению промежуточных хозяев протостронгилид в животноводческих районах на Малом Кавказе . . . . .	69
--	----

## Микробиология

Т. А. Мартиросова, О. Г. Исмайлова, В. В. Егизаров. Действие лазерного излучения длиной волны $\lambda = 6328 \text{ \AA}$ на клубеньковые бактерии . . . . .	74
---	----

## Физиология

В. Т. Кулиева. Влияние нафтеновых углеводородов на азотисто-аминокислотный метаболизм у животных в экспериментальных условиях . . . . .	79
---	----

## Архитектура

К. М. Мамедзаде. О конструктивных особенностях храма на горе Килисадаг . . . . .	83
--	----

## История литературы

М. Г. Мамедова. Рукописи «Атешкеде», хранение сектора восточных рукописей при Президиуме АН Азербайджанской ССР . . . . .	87
---	----

## ПРАВИЛА ДЛЯ АВТОРОВ

1. В «Докладах Академии наук Азербайджанской ССР» помещаются краткие сообщения, содержащие законченные, еще не опубликованные результаты научных исследований, имеющих теоретическое или практическое значение.

2. В «Докладах» не публикуются крупные статьи, механически разделенные на ряд отдельных сообщений, статьи полемического характера без новых фактических данных, статьи с описанием промежуточных опытов без определенных выводов и обобщений, работы неприципиальные, описательного или обзорного характера, чисто методические статьи, если предлагаемый метод не является принципиально новым, а также статьи по систематике растений и животных (за исключением описания особо интересных для науки находок).

Статьи, помещаемые в «Докладах», не лишают автора права последующей публикации того же сообщения в развернутом виде в других изданиях.

3. Поступающие в «Доклады» статьи рассматриваются Редакционной коллегией только после представления их академиком по специальности. Каждый академик может представить не более 5-ти статей в год.

Статьи членов-корреспондентов Академии наук Азербайджанской ССР принимаются без представления.

Редакция просит академиков при представлении статьи указывать дату получения ее от автора, а также наименование раздела, в котором статья должна быть помещена.

4. В «Докладах» публикуется не более трех статей одного автора в год.

5. В «Докладах» помещаются статьи, занимающие не более четверти авторского листа — около 6—7 страниц машинописи (10 000 печатных знаков), включая рисунки.

6. Все статьи должны иметь резюме на английском языке; кроме того, статьи, написанные на азербайджанском языке, должны иметь: резюме на русском языке и на оборот.

7. В конце статьи должны быть указаны название научного учреждения, в котором выполнена работа, и номер телефона автора.

8. Статьи (включая и резюме), должны быть напечатаны на машинке через два интервала, на одной стороне листа и представляются в двух экземплярах. Формулы должны быть вписаны четко и ясно, при этом прописные буквы должны быть подчеркнуты (черным карандашом) двумя черточками снизу, а строчные — сверху, буквы греческого алфавита надо обводить красным карандашом.

9. Цитируемая в статье литература должна приводиться не в виде подстрочных сносок, а общим списком (вподбор), в алфавитном порядке (по фамилии автора), в конце статьи с обозначением ссылки в тексте порядковой цифрой. Список литературы должен быть оформлен следующим образом:

а) для книг: фамилия и инициалы автора, полное название книги, номер тома, город, издательство и год издания;

б) для статей в сборниках (трудах): фамилия и инициалы автора, название статьи, название сборника (трудов), том, выпуск, место издания, издательство, год, страница;

в) для журнальных статей: фамилия и инициалы автора, название статьи, название журнала, год, том, номер, (выпуск), страница.

Ссылки на неопубликованные работы не допускаются (за исключением отчетов и диссертаций, хранящихся в научных учреждениях).

10. На обороте рисунков должны быть указаны фамилия автора, название статьи и номер рисунка. Отпечатанные на машинке подписи к рисункам представляются на отдельном листе.

11. Авторы статей должны указывать индекс статьи по Унифицированной десятичной классификации (УДК) и прилагать реферат для «Реферативного журнала».

12. Авторы должны избегать повторения одинаковых данных в таблицах, графиках и в тексте статьи.

Ввиду небольшого объема статей выводы помещаются лишь в необходимых случаях.

13. В случае представления двух или более статей одновременно необходимо указывать желательный порядок их помещения.

14. Корректура статей авторам как правило не посыпается. В случае посылки корректуры допускается лишь исправление ошибок типографии.

15. Редакция выдает автору бесплатно 15 отдельных оттисков статьи.

Сдано в набор 28/VI-1974 г. Подписано к печати 10/IX-1974 г. Формат бумаги 70×108<sup>1/16</sup>. Бум. лист. 3,0. Печ. лист. 8,44. Уч-изд. лист. 6,8. ФГ 07561.  
Заказ 270. Тираж 760. Цена 40 коп.

Типография „Красный Восток“ Государственного Комитета Совета  
Министров Азербайджанской ССР по делам издательств,  
полиграфии и книжной торговли. Баку, Ази Асланова, 80.

